



UNIVERSIDAD TÉCNICA PARTICULAR DE LOJA

La Universidad Católica de Loja

ÁREA BIOLÓGICA

TITULO DE INGENIERO QUÍMICO

**Extracción supercrítica de antioxidantes lipofílicos en subproductos de
guayaba “*Psidium guajava L*”**

TRABAJO DE TITULACIÓN

AUTOR: Jiménez Quevedo, Geovanny Eliceo.

DIRECTOR: Meneses Chamba, Miguel Ángel PhD.

LOJA-ECUADOR

2015



Esta versión digital, ha sido acreditada bajo la licencia Creative Commons 4.0, CC BY-NY-SA: Reconocimiento-No comercial-Compartir igual; la cual permite copiar, distribuir y comunicar públicamente la obra, mientras se reconozca la autoría original, no se utilice con fines comerciales y se permiten obras derivadas, siempre que mantenga la misma licencia al ser divulgada. <http://creativecommons.org/licenses/by-nc-sa/4.0/deed.es>

Septiembre, 2015

APROBACIÓN DEL DIRECTOR DEL TRABAJO DE TITULACIÓN

Doctor.

Meneses Chamba Miguel Ángel

DIRECTOR DEL TRABAJO DE TITULACIÓN

De mi consideración:

El presente trabajo de titulación: **Extracción supercrítica de antioxidantes lipofílicos en subproductos de guayaba “*psidium guajava L.*”** realizado por **Jiménez Quevedo Geovanny Eliceo**, ha sido orientado y revisado durante su ejecución, por cuanto se aprueba la presentación del mismo.

Loja, octubre de 2015.

f).....

PhD. Meneses Chamba Miguel Ángel

DECLARACIÓN DE AUTORÍA Y CESIÓN DE DERECHOS

"Yo Jiménez Quevedo Geovanny Eliceo declaro ser autor del presente trabajo de fin de titulación: Extracción supercrítica de antioxidantes lipofílicos en subproductos de guayaba "*Psidium Guajava L.*", de la Titulación de Ingeniería Química, siendo Dr. Meneses Chamba Miguel Ángel director del presente trabajo; y eximo expresamente a la Universidad Técnica Particular de Loja y a sus representantes legales de posibles reclamos o acciones legales. Además certifico que las ideas, conceptos, procedimientos y resultados vertidos en el presente trabajo investigativo, son de mi exclusiva responsabilidad.

Adicionalmente declaro conocer y aceptar la disposición del Art. 88 del Estatuto Orgánico de la Universidad Técnica Particular de Loja que en su parte pertinente textualmente dice: "Forman parte del patrimonio Universidad la propiedad intelectual de investigaciones, trabajos científicos o técnicos y tesis de grado que se realicen a través, o con el apoyo financiero, académico o institucional (operativo) de la Universidad".

F:

Autor: Jiménez Quevedo Geovanny Eliceo

Cédula: 1104786965

DEDICATORIA

*A mi dios por confortarme cada día y empezar un nuevo amanecer
esperanzador.*

*Dedico a mis padres en recompensa a su esfuerzo diaria para permitirme
terminar con mis estudios universitarios.*

*A mis hermanos que de manera económica y emocional me brindaron su
apoyo*

AGRADECIMIENTO

En este papel plasmo mi sentimiento de gratitud a mis padres Carlos Jiménez y Albertina Quevedo, gracias a su sacrificio incondicional me permitieron dar un paso más en la vida. Agradezco a mis hermanos por ser soporte de apoyo para culminar mi carrera.

Agradezco al PhD Miguel Meneses por brindarme su conocimiento académico en la realización de esta tesis

Agradezco a la Ing. María del Tisne Guamán por compartirme su conocimiento para el desarrollo de esta investigación.

Agradezco al Ing. Geovanny Figueroa por la colaboración académica en la culminación de la tesis

ÍNDICE DE CONTENIDOS

| | |
|--|-----------|
| APROBACIÓN DEL DIRECTOR DEL TRABAJO DE TITULACIÓN..... | ii |
| DECLARACIÓN DE AUTORÍA Y CESIÓN DE DERECHOS..... | iii |
| DEDICATORIA | iv |
| AGRADECIMIENTO | v |
| ÍNDICE DE CONTENIDOS..... | vi |
| ÍNDICE DE TABLAS..... | vii |
| ÍNDICE DE FIGURAS..... | viii |
| ÍNDICE DE ANEXOS..... | ix |
| NOMENCLATURA..... | x |
| RESUMEN..... | 1 |
| ABSTRACT | 2 |
| INTRODUCCIÓN..... | 3 |
| CAPÍTULO I..... | 6 |
| FUNDAMENTO TEÓRICO | 6 |
| 1.1 Origen de guayaba (<i>Psidium guajava L.</i>)..... | 7 |
| 1.2 Producción de guayaba..... | 7 |
| 1.3 Composición del fruto de guayaba..... | 8 |
| 1.4 Compuestos extraídos empleado diferentes métodos de extracción..... | 8 |
| 1.5 Compuestos bioactivos..... | 10 |
| 1.6 Tecnologías y métodos de obtención de extractos naturales..... | 10 |
| 1.6.1 Método de extracción con disolventes..... | 10 |
| 1.6.2 Método de extracción por Soxhlet..... | 10 |
| 1.6.3 Método de extracción por destilación..... | 11 |
| 1.6.4 Tecnología de extracción por ultrasonido..... | 11 |
| 1.6.5 Tecnología de extracción por microondas asistida..... | 11 |
| 1.6.6 Tecnología de extracción por fluidos supercríticos (FSC)..... | 12 |
| 1.7 El dióxido de carbono (CO₂) como solvente supercrítico..... | 12 |
| 1.8 Proceso de extracción con fluidos supercríticos..... | 13 |
| 1.9 Determinación de fenoles totales y capacidad antioxidante (ABTS, DPPH)... | 13 |
| 2.1 Materiales..... | 16 |

| | |
|---|-----------|
| 2.1.1 Muestras | 16 |
| 2.1.2 Reactivos | 16 |
| 2.1.3 Descripción del proceso de extracción supercrítica..... | 18 |
| 2.2 Métodos | 19 |
| 2.2.1. Tratamiento de la muestra | 19 |
| 2.2.2 Obtención de extractos..... | 20 |
| 2.2.3 Cinética de extracción supercrítica..... | 20 |
| 2.3. Determinación de capacidad antioxidante..... | 20 |
| 2.3.1 Fenoles totales..... | 20 |
| 2.3.2 Capacidad antioxidante: ABTS y DPPH. | 21 |
| 3.1 Rendimiento de extractos..... | 24 |
| 3.2 Cuantificación de fenoles totales..... | 25 |
| 3.3 Determinación de capacidad antioxidante..... | 28 |
| 3.3.1 Método ABTS..... | 28 |
| 3.3.2 Método DPPH. | 32 |
| CONCLUSIONES | 36 |
| RECOMENDACIONES | 37 |
| BIBLIOGRAFÍA | 38 |
| ANEXOS..... | 44 |

ÍNDICE DE TABLAS

| | |
|---|----|
| Tabla 1. Composición química del fruto de guayaba..... | 8 |
| Tabla 2. Compuestos presentes en el fruto de guayaba. | 9 |
| Tabla 3. Rendimientos de extracción de fluidos supercríticos <i>en un tiempo de seis horas.</i> | 49 |
| Tabla 4. Ensayo 1. Cuantificación de fenoles totales. | 51 |
| Tabla 5. Ensayo 2. Cuantificación de fenoles totales. | 53 |
| Tabla 6. Ensayo 1. Determinación de capacidad antioxidante por método ABTS. | 56 |
| Tabla 7. Ensayo 2. Determinación de capacidad antioxidante por método ABTS | 59 |
| Tabla 8. Ensayo 1. Determinación de capacidad antioxidante por método DPPH..... | 62 |
| Tabla 9. Ensayo 2. Determinación de capacidad antioxidante por método DPPH..... | 64 |

ÍNDICE DE FIGURAS

| | |
|--|----|
| Figura 1. Ubicación geográfica de la provincia de Guayaquil..... | 16 |
| Figura 2. Diagrama de flujo del equipo de fluidos supercríticos..... | 17 |
| Figura 3. Fotografía del Equipo de FSC ubicado en el laboratorio de alimentos de la Universidad técnica Particular de Loja..... | 19 |
| Figura 4. (a) Rendimiento (peso/peso) durante seis horas. (b) curva de rendimiento (P 100 bar T 45 °C) | 24 |
| Figura 5. (a) Cinética a presión constante 100 bar (b) Rendimiento final de fenoles totales a presión constante 100 bar (6 horas). | 25 |
| Figura 6. (a) Cinética a temperatura constante 35 °C (b) Rendimiento final fenoles totales, temperatura constante 35 °C (6 horas). | 26 |
| Figura 7. (a) Cinética a presión constante de 150 bar (b) Rendimiento final de fenoles totales a presión constante 150 bar (6 horas). | 26 |
| Figura 8. (a) Cinética temperatura constante 40 °C (b) Rendimiento final de fenoles totales a temperatura constante 40 °C (6 horas)..... | 26 |
| Figura 9. (a) Cinética presión constante 200 bar (b) Rendimiento final de fenoles totales presión constante 200 bar (6 horas). | 27 |
| Figura 10. (a) Cinética temperatura constante de 45 °C (b) Rendimiento final de fenoles totales prisión constante 45 °C (6 horas). | 27 |
| Figura 11. (a) Cinética temperatura constante de 60 °C (b) Rendimiento final de fenoles totales temperatura constante 60 °C (6 horas)..... | 27 |
| Figura 12. (a) Cinética presión costante 100 bar (b) Capacidad antioxidante por ABTS presión contante 100 bar (6 horas). | 29 |
| Figura 13. (a) Cinética temperatura constante 35 °C (b) Capacidad antioxidante por ABTS temperatura constante 35 °C (6 horas)..... | 29 |
| Figura 14. (a) Cinética presión constante 150 bar (b) Capacidad antioxidante por ABTS presión constante 150 bar (6 horas). | 30 |
| Figura 15. (a) Cinética temperatura constante 40 °C (b) Capacidad antioxidante por ABTS temperatura constante 40 °C (6 horas) | 30 |
| Figura 16. (a) Cinética presión constante 200 bar (b) Capacidad antioxidante por ABTS a presión constante 200 bar (6 horas). | 31 |
| Figura 17. (a) Cinética temperatura constante 45 °C (b) Capacidad antioxidante por ABTS temperatura constante 45 °C (6 horas) | 31 |
| Figura 18. (a) Cinética temperatura constante 60 °C (b) Capacidad antioxidante por ABTS a temperatura constante 60 °C (6 horas) | 31 |
| Figura 19. (a) Cinética presión constante 100 bar (b) Capacidad antioxidante por DPPH presión constante 100 (6 horas). | 33 |
| Figura 20. (a) Cinética temperatura constante 35 °C (b) Capacidad antioxidante por DPPH a temperatura constante 35 °C (6 horas). | 33 |
| Figura 21. (a) Cinética presión constante 150 bar (b) Capacidad antioxidante por DPPH a presión constante 150 bar (6 horas). | 33 |
| Figura 22. (a) Cinética temperatura constante de 40 °C (b) Capacidad antioxidante por DPPH temperatura constante 40 °C (6 horas). | 34 |

| | |
|---|----|
| Figura 23. (a) Cinética presión constante de 200 Bar (b) Capacidad antioxidante por DPPH a presión constante 200 Bar (6 horas). | 34 |
| Figura 24. Cinética temperatura constante 45 °C (b) Capacidad antioxidante por DPPH temperatura constante 45 °C (6 horas). | 34 |
| Figura 25. (a) Cinética temperatura constante 60 °C (b) Capacidad antioxidante por DPPH a temperatura constante 60 °C (6 horas). | 35 |

ÍNDICE DE ANEXOS

| | |
|--|----|
| Anexo A. Esquema de metodología..... | 45 |
| Anexo B. Esquema de procedimiento de fenoles totales. | 46 |
| Anexo C. Esquema de procedimiento del método ABTS. | 47 |
| Anexo D. Esquema de procedimiento del método DPPH..... | 48 |
| Anexo E. Cuantificación de fenoles totales. | 50 |
| Anexo F. Determinación de capacidad antioxidante por el método ABTS..... | 55 |
| Anexo G. Determinación de capacidad antioxidante por el método DPPH..... | 61 |
| Anexo H. Análisis estadístico..... | 66 |

NOMENCLATURA

FSC: fluidos supercríticos

SC: Supercrítico

EtOH: Etanol absoluto

MeOH: Metanol

SFE: Extracción con fluidos supercríticos

DPPH: 2,2-difenil-1-picrilhidrazilo

ABTS: 2,2-azinobis (3-etilbenzotiazolín-6-sulfónico)

TPTZ: 2, 4, 6 - tripiridil-s-triazina

TROLOX: ácido 6- hidroxi-2, 5, 7, 8- tetrametilcromo- 2- ácido carboxílico

µmol ET/ g: micromoles equivalentes de trolox/ gramo de muestra seca

mg GAE/ 100 g: miligramos equivalentes de ácido gálico/ 100 gramos de muestra

ml: mililitro

µL: microlitro

mM: milimolar

g: gramo

ρ: densidad

mg: miligramo

N: Normal

RESUMEN

En la presente investigación se buscó determinar la capacidad antioxidante y rendimiento de extracción en subproductos de guayaba (*Psidium guajava* L). La extracción se efectuó con CO₂ supercrítico. El tamaño de partícula de la muestra estuvo entre 250 - 500 micras, la muestra fue tratada con un flujo de CO₂ 10000 mL/min durante 6 horas. Como parámetro de estudio se varió temperatura (35, 40, 45, y 60 °C) y presión (100, 150 y 200 bares). Se determinó un rendimiento de 3.45% (P: 150 bar, T: 45 °C). Se determinó que el contenido de fenoles totales fue de 56,6 mg GAE/100 g (P: 100 bar, T: 60°C) usando el método Folin-Ciocalteu. La cuantificación de capacidad antioxidante se determinó mediante los métodos ABTS y DPPH los mayores valores fueron: 82.11 µmol ET/g (P: 200 bar, T: 35°C) 68.7 µmol ET/g (P: 200 bar, T: 60°C) respectivamente.

Palabras clave: capacidad antioxidante, guayaba, rendimiento, subproductos, tamaño de partícula, fluidos supercríticos.

ABSTRACT

In the present investigation the aim was to determine the extraction yield and the antioxidant capacity related to supercritical extracts of guava (*Psidium guajava L*) by-products consisted of skin with added pulp. Extraction was performed with supercritical carbon dioxide at different conditions. The particle size of the sample was between 250 to 500 microns, the samples were treated with a continuous flow of carbon dioxide (10000 mL/min at standard conditions) for 6 hours. The parameters tested were temperature 35, 40, 45, and 60 °C, pressure 100, 150 and 200 bar. The major extraction yield 3.45% was obtained at 150 bar and 45 °C. In all cases, the extraction time was observed to be conditioning, for this all extraction were performed during the same time.

The highest content of total phenols, using the Folin-Ciocalteu method, was 56.6 mg GAE/100 g ext at 100 bar and 60°C. The quantification of antioxidant capacity, determined by ABTS and DPPH methods, shown values of 82.11 mol TE/g for 200 bar and 35°C; and 68.7 mol TE/g for 200 bar and 60°C, respectively.

Keywords: antioxidant capacity, guava by-products, supercritical extraction

INTRODUCCIÓN

La búsqueda de alimentos funcionales y nutracéuticos, es un reto para la ciencia y tecnología de los alimentos, y la farmacéutica. Las frutas son especies que cumplen con estas características. Las frutas como alimentos son fuente potencial de antioxidantes la guayaba (*Psidium guajava L.*) es un ejemplo (Zapata et al, 2013). Los antioxidantes son sustancias químicas que inactivan los radicales libres o inhiben su producción, impidiendo así el deterioro en las células, estos ceden un electrón al radical libre, oxidándose y transformándose en un radical libre débil que es menos reactivo (Gómez et al, 2011). El interés en las propiedades antioxidantes de las frutas es reciente, algunos autores han evaluado la capacidad atrapadora de radicales libres y el contenido de fenoles de frutas tropicales como mora, mango, guayaba, granadilla, fresa, maracuyá, uchuva, lulo, piña, mortiño entre otros (Zapata et, al 2013). La guayaba (*Psidium guajava L.*) es una fruta tropical perteneciente a la familia Myrtaceae consumida tanto fresca como procesada en forma de pulpas, jugos, mermeladas y conservas (Marquina et al, 2008).

El estudio de antioxidantes naturales ha cobrado un papel importante como resultado de su relación directa con la disminución del riesgo a sufrir y/o desarrollar enfermedades coronarias, cáncer, entre otras. Diversas investigaciones muestran que los frutos de guayaba tienen aportes importantes en vitamina C, en compuestos fenólicos y que su ingesta puede contribuir a una adecuada actividad antioxidante. De otro lado, es claro que tanto el contenido de este tipo de sustancias, como la actividad antioxidante pueden ser diferente dependiendo de la variedad de guayaba en estudio (Rojas-Barquera, 2009). En la producción de puré de guayaba se genera gran cantidad de subproductos; alrededor del 25 % del peso total de la fruta se desecha, estos provienen de las diferentes etapas de producción: trituración 5 %, refinación 12 % y tamizado 8 %. Estos subproductos se convierten en un grave problema para la industria alimentaria, debido a que se debe incurrir en gastos adicionales para su eliminación y/o manejo (Narváez-Cuenca 2009).

En la actualidad se utilizan diversas tecnologías para extracción de antioxidantes con la finalidad de usarlos en la industria alimentaria. La extracción con fluidos supercríticos (FSC) es una técnica recientemente aplicada en alimentos, presenta algunas ventajas ante los métodos tradicionales, como el uso de bajas temperaturas, mejoramiento de

calidad, periodo reducidos de extracción y reducción del consumo de energía (Castro-Vargas et al 201).

Este trabajo tiene por objeto extraer con CO₂ SC los compuestos lipofílicos y evaluar la capacidad antioxidante en sub productos de guayaba (*Psidium guajava*. L).

OBJETIVOS

Propósito u objetivo de la investigación.

- Evaluar el aprovechamiento de los recursos vegetales a través de la extracción supercrítica de antioxidantes lipofílicos en subproductos de guayaba "*Psidium guajava L.*"

Componentes u objetivos específicos de la investigación.

- Extracción de antioxidantes en subproductos de guayaba (*Psidium guajava L.*) empleando CO₂ SC como solvente y determinación del rendimiento de extracción.
- Determinación de antioxidante en los extractos de los subproductos de guayaba mediante métodos in vitro DPPH y ABTS.
- Determinación del contenido de fenoles totales de los extractos mediante método de Folin-Ciocalteu.

CAPÍTULO I

FUNDAMENTO TEÓRICO

1.1 Origen de guayaba (*Psidium guajava* L.).

Proviene del idioma griego "psidion", significa granada por la apariencia entre sus frutos. El origen es incierto pero se sabe por referencias que se ubica en Mesoamérica Fue diseminada por los españoles y portugueses a todas las zonas tropicales del mundo donde se ha naturalizado con ayuda de los pájaros (Concha, 2012). La Guayaba corresponde a la familia de las Mirtáceas del griego que significa myrtos, perfume, y es emparentada con algunas especies como: Arrayán, Feijoa, Jaboticaba, y Pomarrosa. Crece en forma silvestre desde México hasta Brasil y Perú (Flores Iturralde, 2012).

La planta de guayaba se produce en varias áreas tropicales del continente americano. Existen investigaciones arqueológicas que datan de 5,700 y 3,000 a.c. de restos orgánicos, que se cultivaba en La Paloma, en el Valle de Chilca (Perú); también existen referencia de su cultivo en Centroamérica hasta la Amazonía y los Andes. El nombre Guayaba viene de la lengua de los taínos, esta cultura cultivaba el árbol junto de sus casas porque sabían sus propiedades alimenticias. Ellos ingerían la fruta fresca, elaboraban vinos exquisitos y perfumados, las hojas utilizaban para elaborar un jarabe que servía para aliviar el dolor de estómago, la madera se utilizaba para hacer arcos, flechas, cucharas y otros utensilios. (Flores Iturralde, 2012)

Las requerimientos climatológicos comprende una precipitación de 1000 - 2000 cm³ /h por año, entre 800 y 2000 m.s.n.m. de altura con temperatura promedio de 18 °C, humedad relativa de 78% y el pH del suelo debe de estar entre 5,0 y 6,0 (Castillo Ulloa, 2011). La fruta de guayaba concibe forma de baya ovoide de 5 cm de diámetro, en el mesocarpio (pulpa) se encuentran pequeñas semillas y varía de color dependiendo de la variedad. Las flores surgen en la base de las hojas con gran conjunto de estambres y un único pistilo. La forma del fruto depende de la variedad, al igual que el color de la pulpa y la corteza (Kowalczewski et al, 2010).

1.2 Producción de guayaba.

La guayaba está catalogada entre el grupo de frutos más producidos en el mundo. La producción mundial de guayaba está distribuida en zonas tropicales de todo el mundo. México produce el 50%, y un 25% producen Colombia, Egipto y Brasil (Yam Tzec et al., 2010).

Producción mundial de guayaba en el 2011 fue de 39 millones de toneladas métricas según FAO y en Ecuador en 2012 fue de 1.353 toneladas métricas (INEC, 2012).

1.3 Composición del fruto de guayaba.

La guayaba es una de las frutas con mayor contenido vitamínico se estima que tiene 16 vitaminas diferentes. Contiene minerales como el calcio, fósforo, hierro; sustancias albuminoides, ácido tánico, vitamina A, B1, B2, B3 y C(Agila Bustos, 2013). El contenido de vitamina C, en ocasiones sobrepasa los 400 mg / 100 g pulpa. Esto puede estar asociado a la forma de cultivo, el estado de madurez del fruto y a la época del año (Concepción et al., 2005).

Tabla 1. Composición química del fruto de guayaba

| Componente | Contenido en porción de 100 g |
|-------------------|--------------------------------------|
| Humedad | 81.2 % |
| Proteína | 1.1 g |
| Grasa | 0.2 g |
| Carbohidratos | 10 g |
| Fibra | 6.8 g |
| Volátiles | 0.7 mg |
| Calcio | 33 mg |
| Fósforo | 15 mg |
| Hierro | 1.2 mg |
| Sodio | 23 mg |
| Potasio | 12 mg |
| Beta caroteno | 60 ug |
| Vitamina B1 | 10 ug |
| Vitamina B2 | 0.05 ug |
| Niacina | 1.1 mg |
| Vitamina C | 152 mg |
| Energía total | 46 calorías |

Fuente:(Cabezas G, 2010).

1.4 Compuestos extraídos empleado diferentes métodos de extracción.

En la presente tabla se presenta diferentes técnicas de extracción aplicadas a algunas variedades de guayaba los compuestos difieren según el origen geográfico y el método de extracción aplicado (León Sinuco, 2009).

Tabla 2. Compuestos presentes en el fruto de guayaba.

| Método | Variedad de guayaba, origen geográfico | Compuestos | Bibliografía |
|---|---|--|----------------------------|
| HS-Dinámico (muestreo por espacio de cabeza) | Cortibel (Brasil): | Aldehídos C6, ésteres, monoterpenos, sesquiterpenos (cariofileno). | (Soares et al, 2007) |
| Extracción con solvente simultanea (DES) | Lucknow-49 (India) | Ácidos C2, C4 y C6, aldehídos C6, ésteres, benzoato de metilo y benzoato de etilo. | (Toth-Markus et al, 2005) |
| Ultrasonido | Indefinida (Jakarta-Indonesia) Pulpa amarilla | Cinámico, acetato de (Z)-3-hexenilo y alcohol cinamilico. y aldehídos C6 como (E)-2-hexenal y hexanal. | (Fernandez et al, 2001) |
| Microextracción fase sólida (HS-MEFS) | Indefinida (Francia) | Compuestos C6, aldehídos, ésteres y lactonas | (Paniandy et al, 2000) |
| Extracción Líquido-Líquido | Palmira ICA-1 y Glum Sali (Colombia) | Acetato de cinamilo, acetato de (Z)-3-hexenilo y alcohol cinamilico. hidrocarburos y aldehídos C6 como (E)-2-hexenal y hexanal | (Quijano et al, 1999) |
| Destilación al vacío-extracción con solventes | Indefinida (Taiwán) Pulpa blanca maduras e Inmaduras | 1,8-cineol,(E)-2-hexenal y (E)-3-hexenal hexanoato de etilo y acetato de (Z)-3-hexenilo. Cariofileno presente en la cáscara | (Chyau et al, 1992) |
| Hidrodestilación | Indefinida (Nigeria-África) | Sesquiterpenos y ácidos grasos de cadena larga C8-C16. | (Ekundayo et al, 1991) |
| Extracción con solventes | Indefinida (El Cairo-Egipto) | Aldehídos C6, ésteres C3-C18 | (Vernin et al 1991) |
| Extracción Líquido-Líquido | Indefinida (Isla Amammí-Japón) | Compuestos C6 (aldehídos, alcoholes y ácidos), Alcohol cinamílico acetato de 3-fenilpropilo | (Nishimura et al 1989) |
| Destilación Extracción al vacío Líquido-Líquido | Indefinida (Brasil) | Norisoprenoides: 4-oxo-dihidro-beta-ionol | (Idstein et al, 1985) |

1.5 Compuestos bioactivos.

La capacidad antioxidante presente en un fruto depende de sus diferentes compuestos bioactivos: fenólicos, carotenos, antocianinas y ácido ascórbico. Es decir aportan su potencial antioxidante. La madurez del fruto influye en el contenido de compuestos bioactivos, por que durante la madurez se sintetizan en mayor grado aumentando la capacidad antioxidante. Los compuestos bioactivos presentes en mayor cantidad en pulpa de guayaba son: Polifenoles totales, carotenoides y vitamina C (Carrasco, 2008 ; Ramirez and Pacheco, 2011) .

1.6 Tecnologías y métodos de obtención de extractos naturales.

Para extraer un extracto se debe identificar el tipo de matriz vegetal. El proceso de extracción se constituye fenómenos químicos: interacción molecular del disolvente con los compuestos de la matriz vegetal y físicos: difusión de compuestos de la pared celular (Vinotoru, 2001)

1.6.1 Método de extracción con disolventes.

Este método consiste en la selección de disolventes adecuados, temperatura y agitación, con el propósito de incrementar la solubilidad de la matriz vegetal y aumentar la tasa de trasferencia de masa (Gao and Liu, 2005). En este método se utiliza disolventes con base soluble, por lo general agua y disolventes orgánicos. En procesos industriales la extracción de compuestos se realiza en procesos continuos mezclando disolventes orgánicos y acuosos permitiendo el intercambio iónico (Azuola et al., 2007).

1.6.2 Método de extracción por Soxhlet.

Consiste en un proceso físico químico mediante la recirculación del vapor condensado que pasa por un sifón a través de la fuente del disolvente que se encuentra en

evaporación continua arrastrando los compuestos presentes en la matriz vegetal. Para la recuperación del compuesto deseado se evaporar el solvente(Caldas, 2012).

1.6.3 Método de extracción por destilación.

En este método el material vegetal es mezclado con agua, sometido posteriormente a calentamiento o a una corriente de vapor (Vinatoru, 2001). Los compuestos son arrastrados por el vapor. Para este método se requiere: un generador de vapor, un reactor o cámara de extracción, un condensador y un vaso florentino. Es un método sencillo, económico. Requiere largos periodos de tiempo y en algunos casos se obtiene bajos rendimientos (Peredo et al., 2009)

1.6.4 Tecnología de extracción por ultrasonido.

El ultrasonido (US) se fundamenta en el fenómeno de cavitación, consiste en formación, crecimiento y colapso de burbujas de vapor o gas debido al efecto del campo ultrasonoro dentro del líquido. Se emplea ondas de una frecuencia determinada que facilitan la extracción de los compuestos bioactivos del material vegetal (Rodríguez-riera et al., 2014)

El mecanismo de extracción de los compuestos se produce por rompimiento de la pared celular en consecuencia se liberan los compuestos de la célula. Esta tecnología asistente se ha reportado como más ventajosa en comparación con la técnica de extracción con solventes (A, Robles-Ozuna L E, 2013).

1.6.5 Tecnología de extracción por microondas asistida.

El principio de esta técnica se basa en la absorción de energía de la muestra producida por un microondas, esto incrementa la temperatura y la presión, permitiendo la difusión de los componentes desde la matriz hasta el disolvente que rodea la muestra (Lopez et al., 2000).

Las microondas son una radiación no-ionizante (frecuencia de 300 a 300000 MHz) causando el movimientos molecular por migración de iones y rotación de dipolo. La

rotación dipolar hace referencia al alineamiento, debido al campo eléctrico, de las moléculas de disolvente y de la muestra, por los momentos dipolares. (Pino Estévez, 2004). Permite una extracción selectiva de principios activos en matrices vegetales se fundamenta en el calentamiento selectivo produciendo fricción molecular debida a la alineación de iones y dipolos al campo eléctrico. Se necesita una frecuencia de 2,45 GHz (Mosquera et al., 2012).

1.6.6 Tecnología de extracción por fluidos supercríticos (FSC).

Es una técnica amigable con el medio ambiente, rápida y segura, con mínimo empleo de disolventes líquidos. Las ventajas, fraccionamiento de los compuestos extraídos mediante la despresurización en etapas, lo que se designa precipitación selectiva, la reutilización del FSC en diferentes procesos constituyendo un alto ahorro de costes, y la eliminación del fluido del extracto por simple descompresión, (Illera, 2012). Esta tecnología utiliza fluidos supercríticos, los mismos que se encuentra a temperatura y presión superiores a los valores correspondientes al punto crítico. Las densidades de los FSC son cercanas a los líquidos, lo que influye en la solubilidad. La viscosidad es próxima a los gases, facilitando la movilidad de los compuestos(Ovejero, 2008).Los fluidos empleados como solventes de extracción supercrítico son: dióxido de carbono, propano, agua, amoníaco, hexano, etileno, tolueno y el óxido nitroso. De los cuales el dióxido de carbono es más empleado (Esquivel and Bernardo-Gil, 1993).

La aplicación industrial con Extracción Supercrítica (FSC) principalmente en los alimentos se ha desarrollado en los últimos 20 años, es muy usado en el descafeinado de café, té y obtención de aromas en frutas(Calero Consuegra, 2011;Muñoz et al., 1999). El CO₂ en estado supercrítico puede ser empleado en extracción de productos nutracéuticos, funcionales y alimenticios, lo que en la actualidad es de importancia relevante por el aporte beneficioso a la salud (Rodríguez et al., 2004).

1.7 El dióxido de carbono (CO₂) como solvente supercrítico.

El empleo de CO₂ para realizar extracciones está registrado como una tecnología limpia permite conservar las propiedades nutricionales y funcionales intactas (Mendiola et al.,

2009). El CO₂ se sometido a condiciones de temperatura y presión por encima de su punto crítico (presión 72 bar y temperatura 31.1°C), a estas condiciones se logra obtener un fluido con elevado coeficiente de difusividad y una viscosidad más baja que los líquidos, consiguiendo una mejor penetración en las matrices sólidas y aumentando la disolución de componentes químicos durante los procesos de extracción (Morillo and Castillo, 2010; Mendiola, 2008).

El CO₂ como fluido supercrítico es el más estudiado por el cumplimiento de propiedades fisicoquímicas; densidad y punto crítico, excepción de su polaridad que, en principio, limita su poder como solvente para extraer sustancias polares (Mendiola, 2008).

1.8 Proceso de extracción con fluidos supercríticos.

El proceso de extracción, al igual que las extracciones con disolventes líquidos, puede producirse en forma estática o de forma continua. En la extracción estática, la celda de extracción es presurizada con el fluido en estado supercrítico conservando cerrada la válvula de salida del extractor. Una vez concluida la extracción, la misma válvula es abierta, permitiendo el paso de los fluidos con los analitos extraídos al sistema de colección. En la extracción dinámica, el fluido en estado supercrítico se deja fluir de manera continua a través de la celda de extracción, conservando las válvulas de entrada y salida abiertas del extractor durante todo el tiempo de extracción.

El sistema de extracción de Fluidos Supercrítica consiste: bomba de alta presión, celda de extracción, zona de descompresión y sistema de colección de los analítos (Valverde, 2002).

1.9 Determinación de fenoles totales y capacidad antioxidante (ABTS, DPPH).

Para la determinación de fenoles totales se emplea el método espectrofotométrico desarrollado por Folin y Ciocalteau, se fundamenta en su carácter reductor de radicales libre. Se emplea una mezcla de ácidos fosfowlfrámico y fosfomolibdico en medio básico, el mismo se reducen al oxidarse con los compuestos fenólicos, originando óxidos azules de wolframio (W₈O₂₃) y molibdeno (Mo₈O₂₃). (Kuskoski et al., 2005).

La capacidad antioxidante se emplea el método de DPPH, desarrollado por (Brand-Williams et al 1995) con modificaciones Rojano et al, (2008a). Consiste en reducir el radical 2,2-difenil-1-picrilhidracilo (DPPH) en la 2,2 difenil 1 picril hidracina, por la acción antioxidante de compuestos que contienen grupos -OH que decoloran dicho reactivo (Echavarría et al., 2009).

El método de ABTS descrito por (Arnao et al., 2001) es un catión radical estable debido a su capacidad de deslegitimar el electrón desaparecido entre los átomos de nitrógeno de su estructura. El ABTS^{•+} reacciona con los compuesto polifenólico (trolox se usa de referencia), entre mayor es la actividad antioxidante presente en el extracto mayor es la decoloración debido a la reducción(Gaviria Montoya et al., 2009).

El método ABTS mide la actividad antioxidante de compuestos de característica hidrofílica y lipofílica, y el DPPH solo puede disolverse en medio orgánico. El método ABTS y DPPH permite medir la transferencia de protones y electrones del compuesto polifenólico. (Kuskoski et al., 2005).

CAPITULO II
MATERIALES Y MÉTODOS

Las pruebas de la presente investigación fueron desarrolladas en el Lab. Alimentos de la UTPL con la finalidad de determinar; rendimiento, fenoles totales y actividad antioxidante en sub producto de guayaba (*Psidium guajava* L.).

2.1 Materiales.

2.1.1 Muestras.

Para la investigación se utilizó el subproducto de elaboración de jugos de guayaba (*Psidium guajava* L.) correspondiente a piel, pulpa y semillas adheridas, los mismos que fueron proporcionados por la empresa Agroficial de la ciudad de Guayaquil (figura.1) en el año 2013 la cual se mantuvo en congelación -20°C hasta la realización el presente trabajo.



Figura 1. Ubicación geográfica de la provincia de Guayaquil.

Fuente: (Google Maps, 2015).

2.1.2 Reactivos.

Extracción con fluidos supercríticos: CO₂ grado alimento (pureza 99,9 %) (INDURA), etilenglicol (LAQUIN S. A).

Fenoles Totales: Folín-Ciocalteu 2N (Sigma-Aldrich) código: 452323 (PubChem, 2015), carbonato de sodio (Merck) código: 10340 (PubChem, 2015), ácido gálico (Sigma) código: 370 (PubChem, 2015), metanol código: 887 (Methanol, 2015) (Panreac Química S. A).

ABTS: 2,2-azinobis (3 - etilbenzotiazolín - 6 – sulfónico) (Sigma), persulfato de potasio (Sigma- Aldrich), (ácido 6 – hidroxi – 2, 5, 7, 8- tetrametilcromo- 2- ácido carboxílico) código: 9570474(PubChem, 2015) Trolox (Aldrich Chemistry).

DPPH: 2,2-difenil-1-picrilhidrazilo (Sigma), (ácido 6- hidroxi-2, 5, 7, 8- tetrametilcromo- 2- ácido carboxílico) código: 2735032 (DPPH, 2015)Trolox (Aldrich Chemistry) código: 40634 (PubChem, 2015).

2.1.2 Extracción con fluidos supercríticos.

Para la extracción de los compuestos lipofílicos presentes en subproductos de guayaba (*Psidium guajava L.*) se trabajó variando las temperaturas de 35, 40, 45 y 60 °C, presiones de 100, 150 y 200 bares, con un flujo de 10000 mL CO₂/min (medido en condiciones ambientales) durante seis horas, Estas condiciones se definieron con anterioridad mediante ensayos previos. Cada cierto tiempo se tomaron muestras para determinar la cinética de extracción. En la figura. 2 se indican las diferentes partes del equipo de fluidos supercríticos mediante un diagrama de flujo.

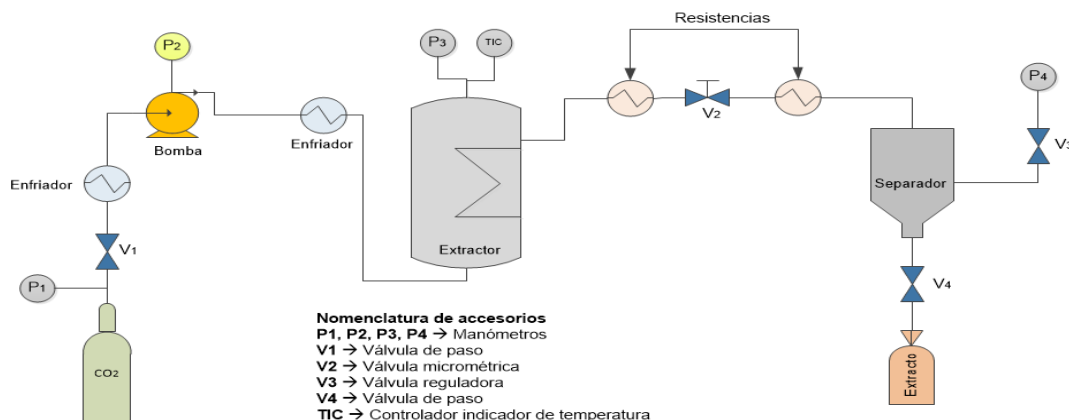


Figura 2. Diagrama de flujo del equipo de fluidos supercríticos.

Fuente: Equipo de fluidos supercríticos del laboratorio de Alimentos de la Universidad Técnica Particular de Loja.

2.1.3 Descripción del proceso de extracción supercrítica.

Para la utilización del equipo de fluidos supercríticos (FSC) primero se conecta correctamente las tuberías y controladores eléctricos. Se establece la temperatura a trabajar en la estufa y se verifica que la temperatura establecida coincida con controlador (TIC), se abre la válvula de la parte superior del cilindro de CO₂ para la circulación del gas por la tubería hasta el extractor, la presión empieza a incrementarse, y se verifica con el manómetro (P1) registre mínimo 56 bares para abastecer al sistema la presión deseada. Se enciende la bomba y dependiendo del requerimiento de presión a alcanzar se manipula manualmente la bomba (P2) regulando con la válvula micrométrica a la salida del extractor, midiendo el valor de presión con el manómetro (P3) hasta que llegue al valor deseado, luego se abre dicha válvula micrométrica (V2) el flujo de CO₂ se regula con la válvula back pressure ubicada luego del separador hasta que sea de 10 000 ml CO₂/min.

Se debe revisar la temperatura de las resistencias ya que al abrir la válvula micrométrica el gas se expande adiabáticamente, y se produce una variación en el separador por el efecto Joule-Thomson (Gañaán, 2014).

Establecidas las condiciones de presión y temperatura, se procede a abrir la válvula de control manual (V3) para permitir el paso del gas comprimido del separador, esto nos ayuda a fijar la presión del separador (P4) en 30 - 35 bares, a esta presión se logra separar los extractos lipofílicos del CO₂ en el que están disueltos. Estabilizado el equipo en las condiciones fijadas de temperatura y presión, se inicia con la extracción en un proceso continuo de un periodo de tiempo de 6 horas. Al mismo periodo se lo divide en los siguientes tiempos: en la primera hora se subdivide en 15 y 30 minutos en los cuales se recoge muestras, posterior a esto se recogen muestras cada hora obteniendo al final de la extracción un total de 8 muestras.

A continuación en la figura 3 se presenta una fotografía del equipo de fluidos supercríticos, que se encuentra en el laboratorio de Alimentos de la Universidad Técnica Particular de Loja.



Figura 3. Fotografía del Equipo de FSC ubicado en el laboratorio de alimentos de la Universidad técnica Particular de Loja.

Culminado el proceso de extracción, se apaga la bomba, y se procede a cerrar la válvula del cilindro de CO₂ para despresurizar el equipo a las mismas condiciones que se trabajó de la extracción, realizado esto se procede a desmontar el extractor y separador del equipo.

2.2 Métodos.

2.2.1. Tratamiento de la muestra.

Los subproductos fueron sometidos a un proceso de deshidratación para lograr un porcentaje de humedad 4%, utilizando aire caliente a temperatura de 45 – 50 °C por un tiempo de 36 horas, para este fin se usó un secador de bandejas Ecuapack. Se trituró utilizando un molino vibratorio de discos Retsch. Posteriormente se tamizó en tamices Analysensieb (modelo DIN 4188) hasta obtener un tamaño de partícula entre 200 – 250 micrómetros (Pérez- Jiménez, J y Saura-Calixto 2007 ; Figueroa et al., 2012). Por último se almacenó la muestra a – 20 °C por presentar compuestos termolábiles (Kong et al., 2010). En anexo A se detalla el proceso de tratamiento de la muestra de guayaba

2.2.2 Obtención de extractos.

Para la obtención de los extractos, se pesaron 20 g de muestra que se alimentaron en el extractor, ocupando un volumen correspondiente a la mitad del recipiente; la muestra se mezcló con perlas de cristal para evitar la formación de grumos y distribuir uniformemente la presión y el flujo de CO₂, con esto se logra buen contacto entre el CO₂ y las partículas de la muestra de guayaba durante el proceso de extracción.

Se trabajó variando dos parámetros de extracción; temperatura (35, 40, 45 y 60 °C), y presión (100, 150 y 200 bares), manteniendo constante el flujo volumétrico en 10000 mL CO₂/min durante 6 horas.

El rendimiento de extracción se determinó con el peso acumulado de cada extracción dividido para el peso de la muestra alimentada en el extractor por cien (Ec. 1).

$$R (\%) = \frac{Peso \ del \ extracto \ obtenido}{Peso \ de \ muestra \ inicial \ alimentada} \times 100 \text{ Ec. (1)}$$

2.2.3 Cinética de extracción supercrítica.

Los datos obtenidos del rendimiento, contenido de fenoles totales y capacidad antioxidante se los representó en graficas vs tiempo con la finalidad de observar el comportamiento de la curva cinética y determinar el tiempo en que se obtuvo el mayor rendimiento.

2.3. Determinación de capacidad antioxidante.

Los extractos se diluyeron en metanol en concentración de 1000 ppm (peso/volumen) se sonicaron en un ultrasonido (Fisher Scientific Mod. FS 20D) hasta disolver por completo la muestra en metanol.

2.3.1 Fenoles totales.

El contenido de fenoles totales de los extractos de cada extracción fue determinado usando el método de Folin-Ciocalteu descrito por Thaipong et al., (2006). Se tomó 150 µL

de muestra diluida, colocando en viales, adicionando 2400 μ L de agua destilada y 150 μ L de reactivo Folín Ciocalteu (0,25N). Agitó durante 5 minutos, luego se agregaron 300 μ L de carbonato de sodio y se dejó reposar durante 2 horas en oscuridad.

Para determinar el contenido de fenoles totales se utilizó ácido gálico como estándar, para ello se prepararon diferentes concentraciones realizando una curva de calibración. Los estándares y las muestras se leyeron a una longitud de onda de 725 nm en el espectrofotómetro visible (serie 1330). Los resultados se expresaron en mg equivalente de ácido gálico por 100 gramos de muestra (mg GAE/100g muestra). En anexo B se adjunta el diagrama del procedimiento.

2.3.2 Capacidad antioxidante: ABTS y DPPH.

a. ABTS.

Para determinar la capacidad antioxidante se empleó método ABTS descrito por Arnao et al (2001) con modificaciones de Thaipog et al (2006). Pesaron 40.6 mg de ABTS y 7 mg de persulfato de potasio los cuales, aforados en 10 mL con agua destilada respectivamente cada balón. Ambas soluciones se mezcló y dejaron reposar por 12 h para su reacción, esta es la solución patrón (SP) de ABTS⁺. La solución de trabajo (ST) se preparó a partir de 1 mL de SP disuelta en 60 mL de metanol a la cual se ajustó la absorbancia hasta 1.1 ± 0.02 nm a una longitud de onda de 734 nm.

La preparación de los extractos para su posterior análisis se describe a continuación . Tomaron 150 μ L de muestra diluida mezclando con 2850 μ L de solución ST, se dejaron reaccionar por 12 horas en la oscuridad, se leyó en espectrofotómetro visible (serie 1330). A longitud de onda de 734 nm. Para la expresión y comparación de los resultados se utilizó trolox como estándar a diferentes concentraciones para elaborar la curva de calibración. Los resultados se expresaron en μ mol equivalentes de Trolox/g de muestra. En el anexo C se adjunta el diagrama de procedimiento.

b. DPPH.

Este método DPPH fue descrito por Brand-Williams et al., (1995) con las modificaciones descritas por Thaipog et al (2006). Preparación de solución patrón (SP) se pesaron 24 mg de DPPH aforándolos en 100 mL de metanol, manteniendo en refrigeración a -20 °C hasta el momento que se utilizó. La solución de trabajo (ST) se obtuvo mediante la mezcla de 10mL de la (SP) antes preparada más 45 mL de metanol, la ST se ajustó a absorbancia de 1.1 ± 0.02 leída a longitud de onda 515 nm en espectrofotómetro visible (serie 1330).

Para evaluar la capacidad antioxidante de cada extracto de guayaba; se tomaron 150 μL de muestra diluida, más 2850 μL de ST. Dejaron reaccionar por 24 horas en la oscuridad, cada muestra fue leída a una longitud de onda de 515 nm en un espectrofotómetro visible (serie 1330). Para la elaboración de la curva de calibración se empleó estándares de trolox a diferente concentración se muestra en anexo (2.1). Los resultado se expresa en μmol equivalentes de Trolox/g muestra. En anexo D se adjunta el diagrame de procedimiento

CAPITULO III
RESULTADOS Y DISCUSIONES

3.1 Rendimiento de extractos.

En la figura (a) están representados los valores de rendimiento obtenidos de los procesos de extracción y en la figura (b) se representa la curva cinética de extracción para las condiciones con mayor rendimiento de extracción de P 150 bar T 45 °C. Los resultados fueron obtenidos durante el proceso de extracción continua de seis horas variando presión y temperatura. El tiempo representa un efecto positivo en la extracción, por producir mayor tiempo de exposición con la matriz, es de suponer que a mayor tiempo se incrementa los rendimientos (Arias , 2012).

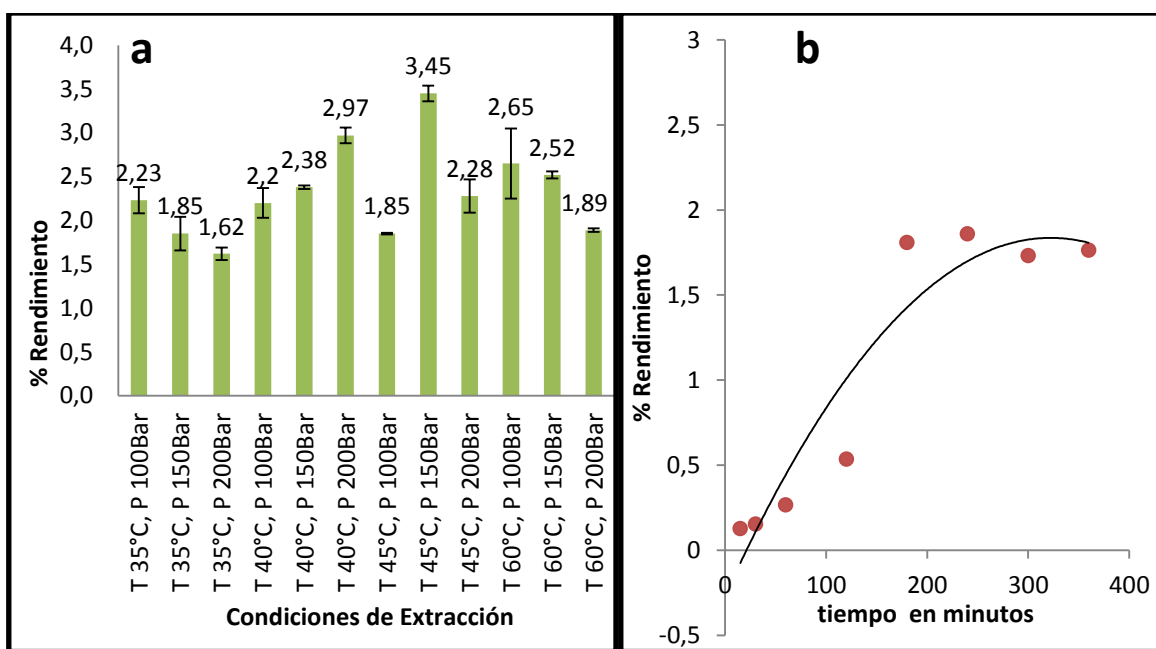


Figura 4. (a) Rendimiento (peso/peso) durante seis horas. (b) Curva de rendimiento (P 100 bar T 45 °C)

El rendimiento más alto fue de 3.45% (P: 150 bar T: 45°C) y el menor de 1.62% (P: 200 bar T: 35°C). El mayor rendimiento se obtuvo en 180 minutos y las mejores condiciones de extracción fueron a 150 bar y 45 °C. En literatura se reporta un rendimiento de 19 %, peso/peso en semillas de guayaba a condiciones de extracción de (30 MPa T 40 °C) (Castro-Vargas et al., 2010), al incrementar la temperatura se aumenta la solubilidad de

los compuestos de la matriz vegetal y se extraen fácilmente (Li, S., & Hartland, 1996 ; Mendiola, 2008 ; Nivia et al., 2007)

3.2 Cuantificación de fenoles totales

Los resultados de fenoles totales se expresaron en mg GAE/100 g muestra seca de subproductos de guayaba (Anexo E), las siguientes figuras de 5 a 11, se representan a diferente presión y temperatura las curvas cinéticas y gráficos de barras que muestra el rendimiento de fenoles totales. El proceso de extracción FSC fue continuo manteniendo la presión o temperatura constante. Se aprecia la cinética de extracción del rendimiento de fenoles totales que decrece conforme se acerca al tiempo máximo de 6 horas. Se puede apreciar que la curva toma tendencia lineal a temperatura de 60 °C o cercana a la misma.

Los gráficos de barras muestran los porcentajes de cada condición de extracción supercritical, en similitud a las curvas cinéticas las gráficas muestran valores mayores a temperatura cercanas a 60 °C.

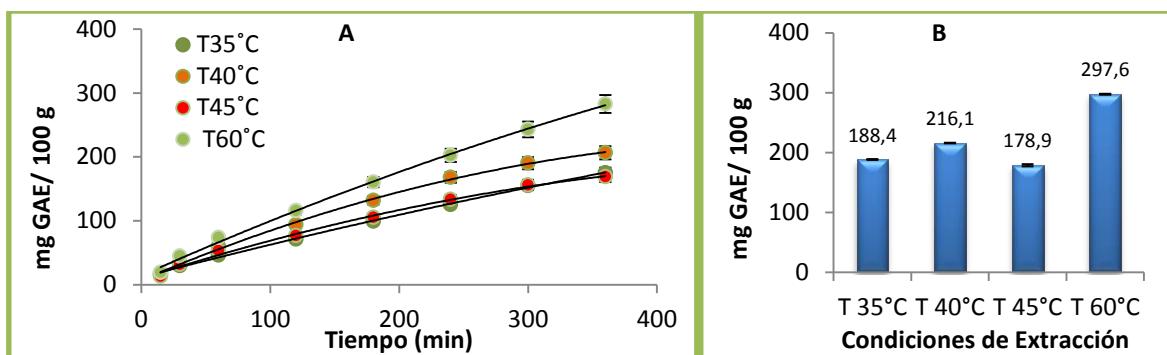


Figura 5. (a) Cinética a presión constante 100 bar (b) Rendimiento final de fenoles totales a presión constante 100 bar (6 horas).

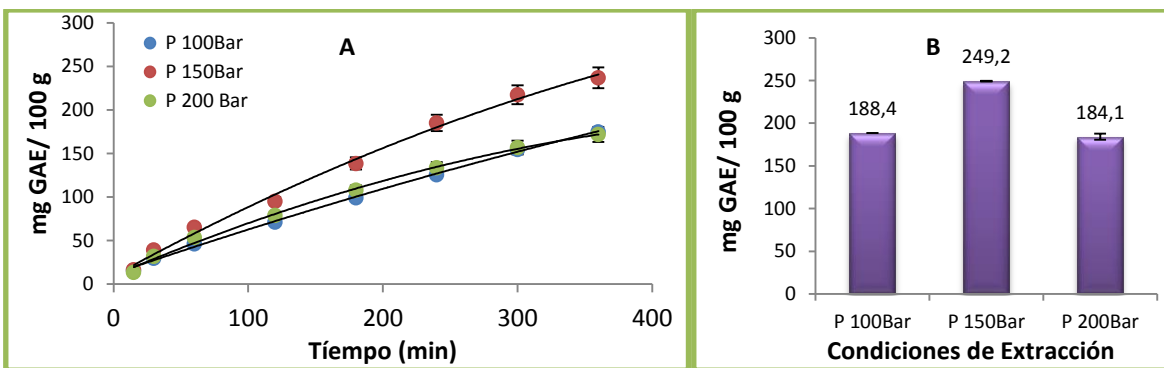


Figura 6. (a) Cinética a temperatura constante 35 °C (b) Rendimiento final fenoles totales, temperatura constante 35 °C (6 horas).

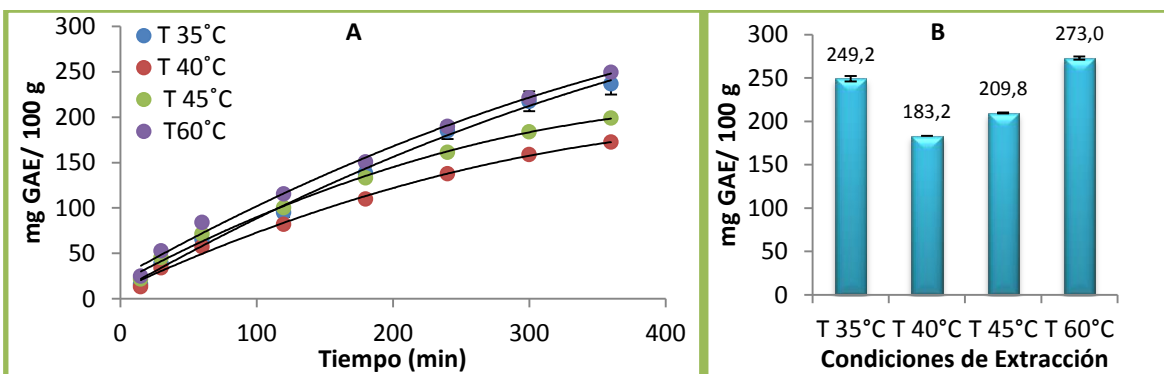


Figura 7. (a) Cinética a presión constante de 150 bar (b) Rendimiento final de fenoles totales a presión constante 150 bar (6 horas).

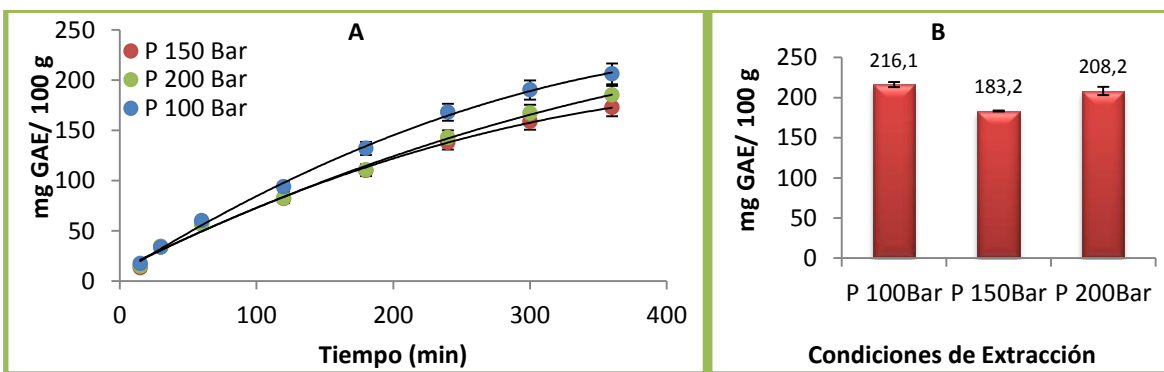


Figura 8. (a) Cinética a temperatura constante 40 °C (b) Rendimiento final de fenoles totales a temperatura constante 40 °C (6 horas).

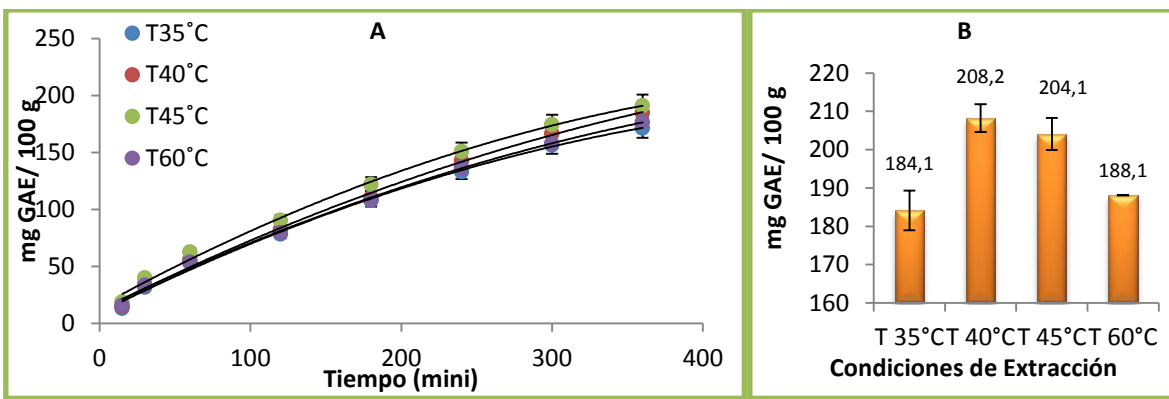


Figura 9. (a) Cinética a presión constante 200 bar (b) Rendimiento final de fenoles totales presión constante 200 bar (6 horas).

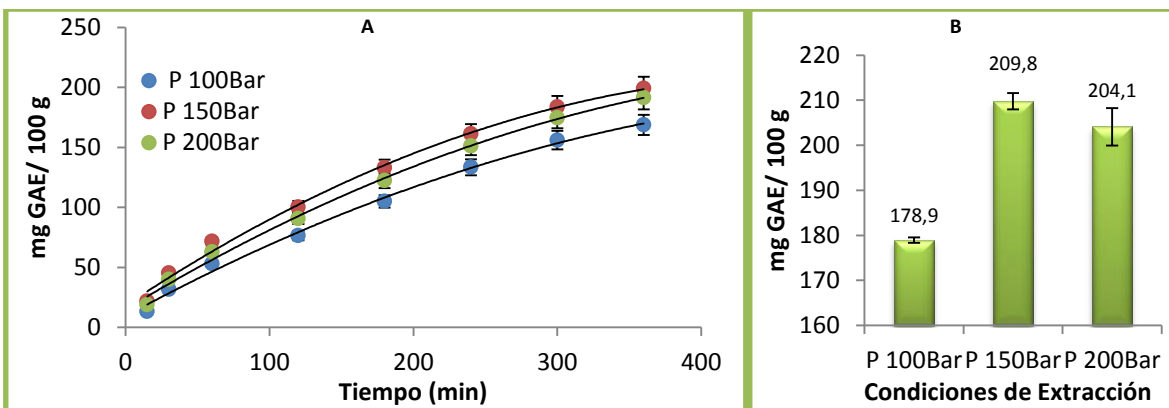


Figura 10. (a) Cinética a temperatura constante de 45 °C (b) Rendimiento final de fenoles totales presión constante 45 °C (6 horas).

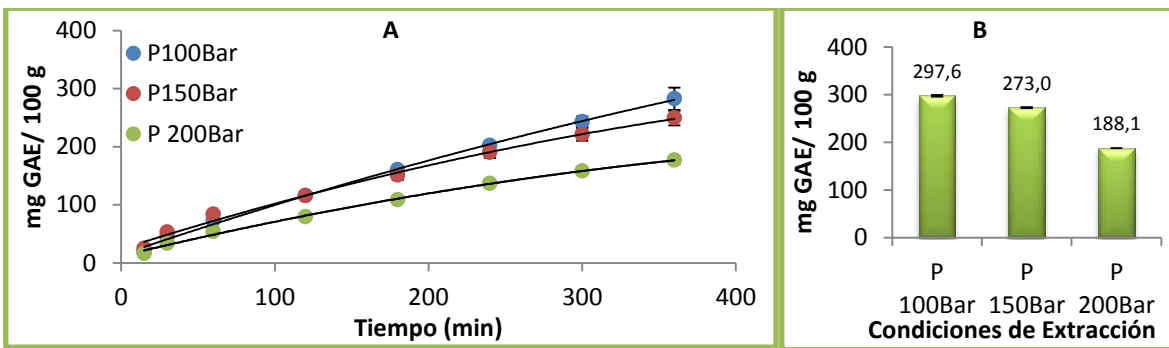


Figura 11. (a) Cinética a temperatura constante de 60 °C (b) Rendimiento final de fenoles totales temperatura constante 60 °C (6 horas).

Como se puede apreciar en las gráficas si aumentamos la temperatura y la presión el rendimiento de fenoles totales fue mayor en comparación de presiones y temperaturas más bajas que presentaron rendimientos menores. Si extraemos a mayor presión y temperatura se aumenta la densidad del CO₂ supercrítico con ello mayor rendimientos fenólico, las presiones altas favorecen el desprendimiento de los compuestos presentes en la matriz vegetal de los subproductos de guayaba (Castro-Vargas et al., 2010 ; Rosa et al., 2005). En las extracciones realizadas de 45 y 60 °C las mismas que se mantuvieron constantes mientas se varia la presión se obtuvieron los mejores rendimientos fenólicos ($p<0.05$), y en las presiones constantes de 150 y 200 bar registraron un significativo incremento de fenoles. Castro-Vargas et al., (2010) ; Michielin, et al (2005).

A temperatura constante y variando la presión, las condiciones de extracción de 60 °C y 100 bar se obtuvo el más alto rendimiento de 56,6 mg GAE/100 g subproductos de guayaba. Este resultado es comparado con Castro-Vargas et al., (2010). Que obtuvo un valor de 79±4 mg GAE/100 g muestra de semilla (60 °C, 30 MPa) y 153±1 mg GAE/100 g muestra de semilla (60 °C, 10 MPa) también se compara con resultados obtenidos empleando como medio de extracción solventes polares prócticos condiciones normales, Rojas Jiménez, (2014) reporta 4434 mg EAG/100 g BS y Rufino et al., (2011) 4330 mg EAG/100 g BS. La diferencia de los resultados radica que el CO₂ es apolar disminuyendo la extracción de compuestos lipofílicos.

El rendimiento obtenido difiere en comparación con resultados mayores reportados por autores que en su investigación emplearon presiones más elevadas. En relación de la temperatura de 45 y 60 °C diversos autores coinciden que son idóneas (Castro-Vargas et al., 2010; Nivia et al., 2007a).

3.3 Determinación de capacidad antioxidante.

3.3.1 Método ABTS.

A continuación se presenta en las figuras 11 a 18. En donde se puede apreciar la tendencia que muestran las curvas a 300 minutos del proceso de extracción se registran valores elevados de capacidad antioxidante, sin embargo a medida que nos acercamos a las seis horas la curva empieza a tener un curso lineal se puede ver en las gráficas de

valores altos del rendimiento de capacidad antioxidante en presiones de 200 bar o cercanas a la misma.

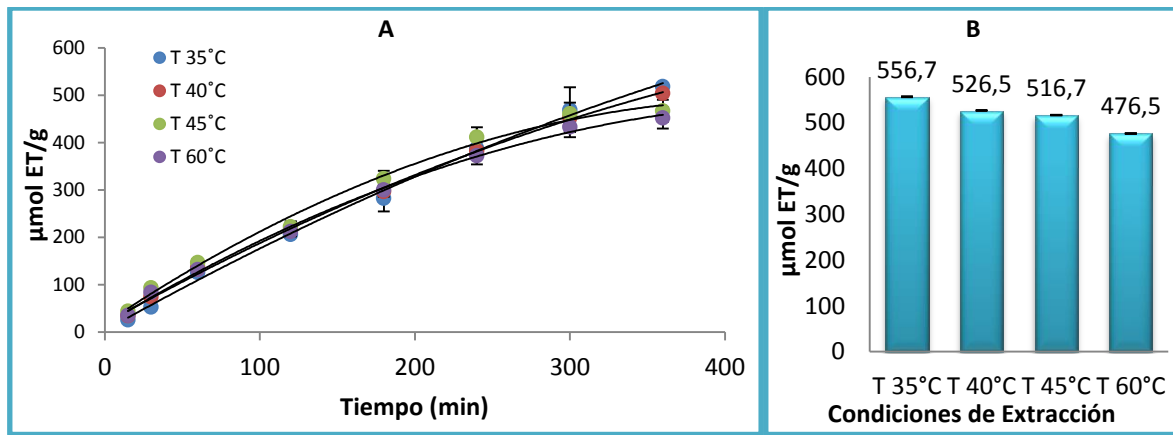


Figura 12. (a) Cinética presión constante 100 bar (b) Capacidad antioxidante por ABTS presión constante 100 bar (6 horas).

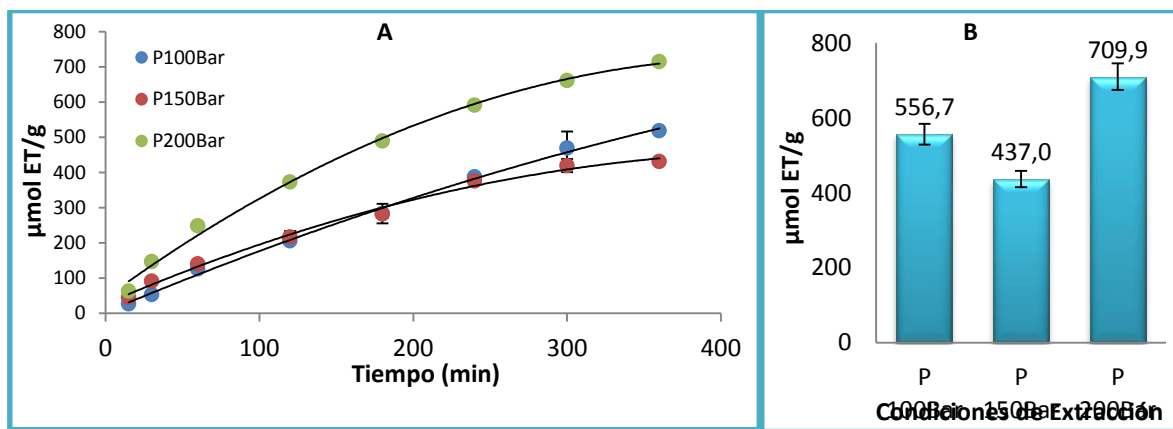


Figura 13. (a) Cinética temperatura constante 35 °C (b) Capacidad antioxidante por ABTS temperatura constante 35 °C (6 horas).

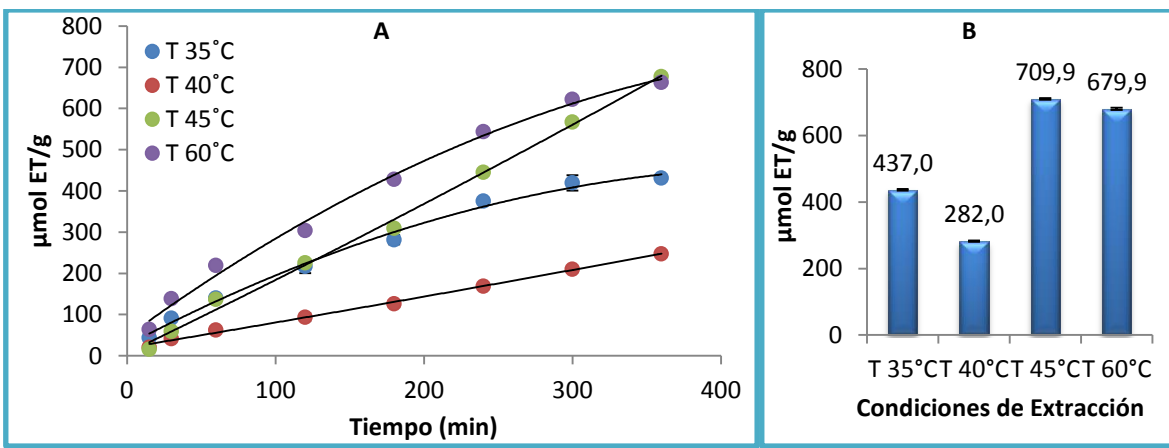


Figura 14. (a) Cinética presión constante 150 bar (b) Capacidad antioxidante por ABTS presión constante 150 bar (6 horas).

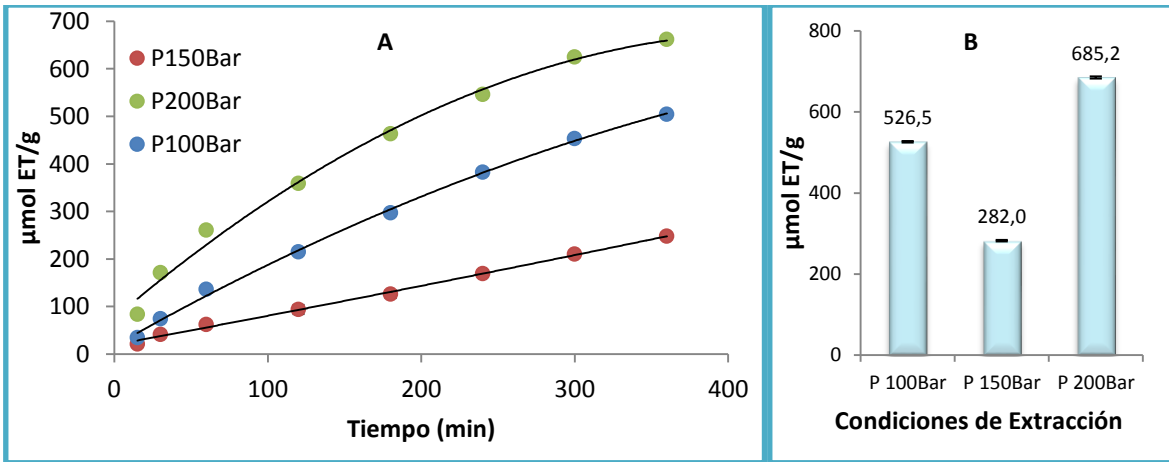


Figura 15. (a) Cinética temperatura constante 40 °C (b) Capacidad antioxidante por ABTS temperatura constante 40 °C (6 horas).

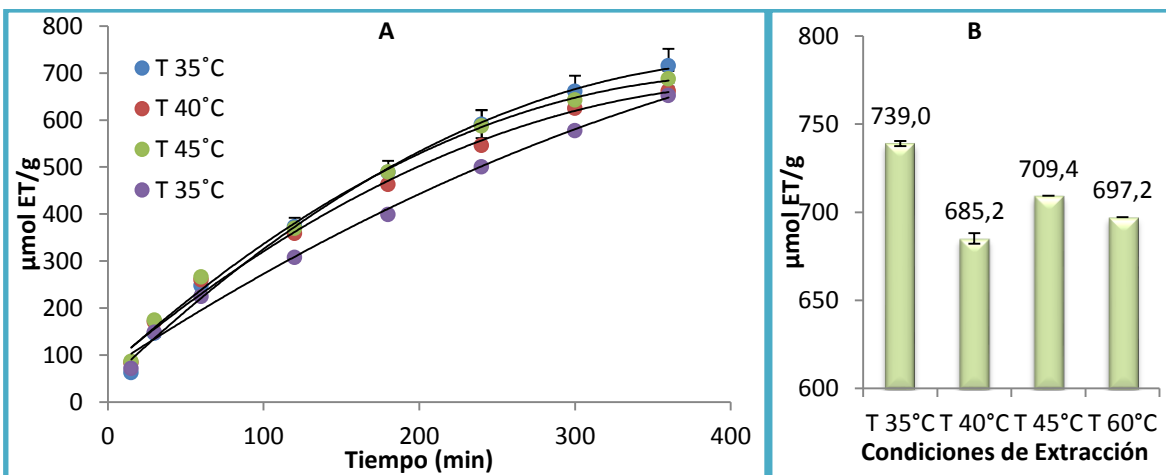


Figura 16. (a) Cinética presión constante 200 bar (b) Capacidad antioxidante por ABTS a presión constante 200 bar (6 horas).

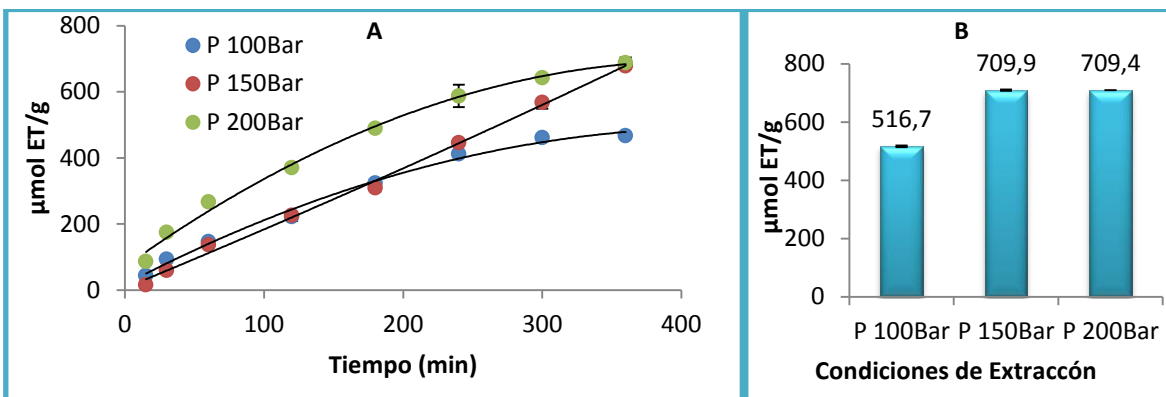


Figura 17. (a) Cinética temperatura constante 45 °C (b) Capacidad antioxidante por ABTS temperatura constante 45 °C (6 horas).

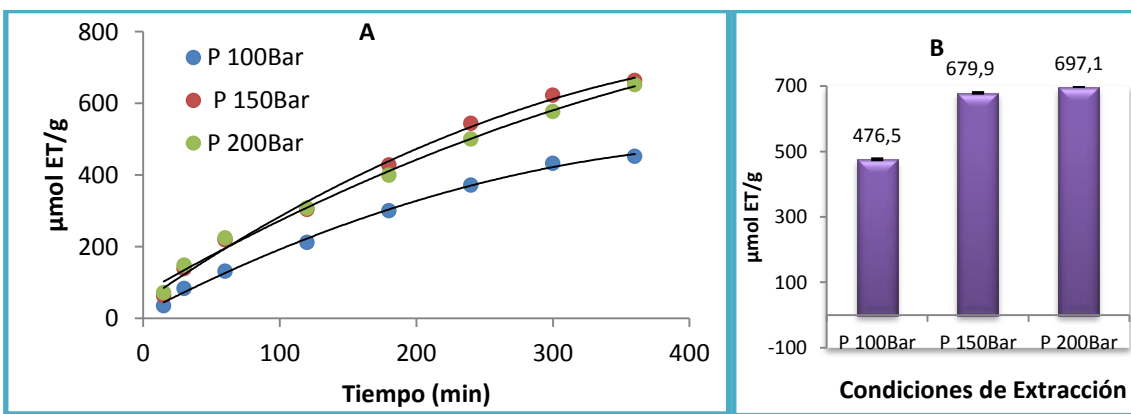


Figura 18. (a) Cinética temperatura constante 60 °C (b) Capacidad antioxidante por ABTS a temperatura constante 60 °C (6 horas).

La tendencia cinética de las diferentes extracciones indica que a mayor presión las curvas se comportan más lineales, significa que el CO₂ en estado supercrítico extrae más compuestos con capacidad antioxidante de la matriz vegetal a diferencia de las extracciones con temperaturas bajas. Los gráficos de barras muestran las mejores condiciones de extracción de 82.11 µmol ET/g subproductos de guayaba, a 200 bar y 35 °C. En este caso se produce mayores resultados de capacidad antioxidante a presiones altas; la misma singularidad presentan datos de 200 bares, 45 °C 78.88 y 150 bares, 45 °C 78.82 µmol ET/g subproductos de guayaba. Los valores son menores al comparar con el resultado obtenido 211 µmol Trolox/g subproductos base seca Rojas Jiménez, (2014) 184 µmol Trolox/g muestra cáscara, Restrepo ánchez, (2009); Espinal, (2010) (249 µmol ETrolox/g BS) en comparación con resultados de fruta de guayaba 6679,92 ± 125,37 umol Trolox Equivalente / 100 g de fruta fresca Zapata et al.,(2013). Mencionar que estos autores usaron solventes prócticos para extracción de compuesto, favoreciendo extraer compuestos lipofílicos de la matriz vegetal, mientras tanto el CO₂ que es empleado como solvente para FSC presenta baja polaridad.

3.3.2 Método DPPH.

De la figura 19 a 25 se muestra la cinética y rendimientos de capacidad antioxidantes a diferentes condiciones de extracción FSC, manteniendo presión constante y variando la temperatura o viceversa. En este método DPPH la cinética tiene tendencia a la misma dirección, debido a los valores obtenidos en cada tiempo estos son muy cercanos, se observa que hubo una trayectoria cinética distinta de extracción a temperatura constante de 60 °C.

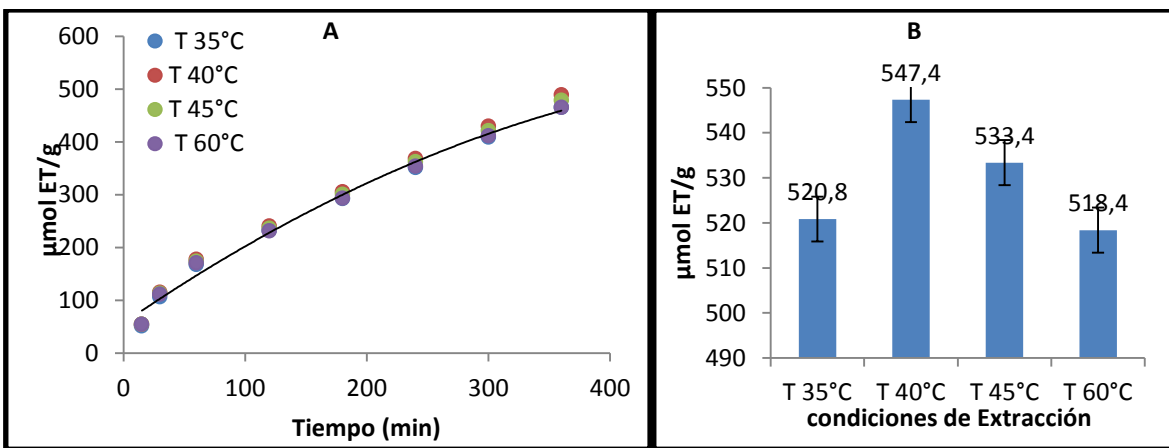


Figura 19. (a) Cinética presión constante 100 bar (b) Capacidad antioxidante por DPPH presión constante 100 bar (6 horas).

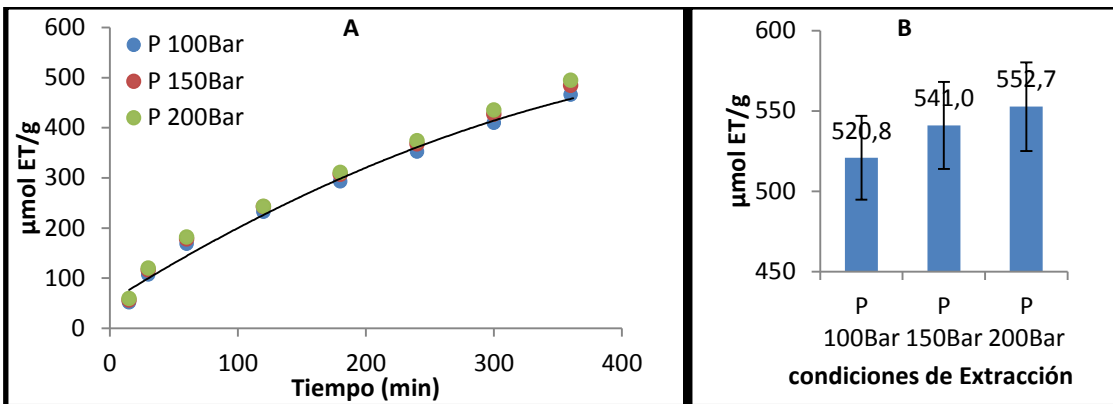


Figura 20. (a) Cinética temperatura constante 35 °C (b) Capacidad antioxidante por DPPH a temperatura constante 35 °C (6 horas).

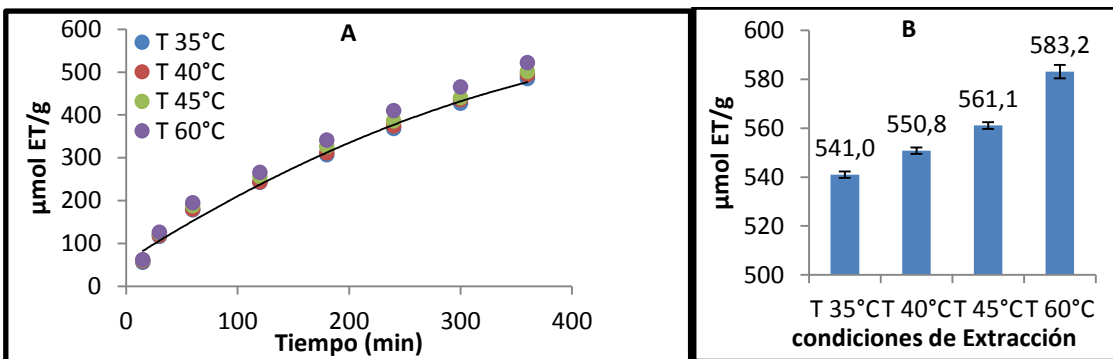


Figura 21. (a) Cinética presión constante 150 bar (b) Capacidad antioxidante por DPPH a presión constante 150 bar (6 horas).

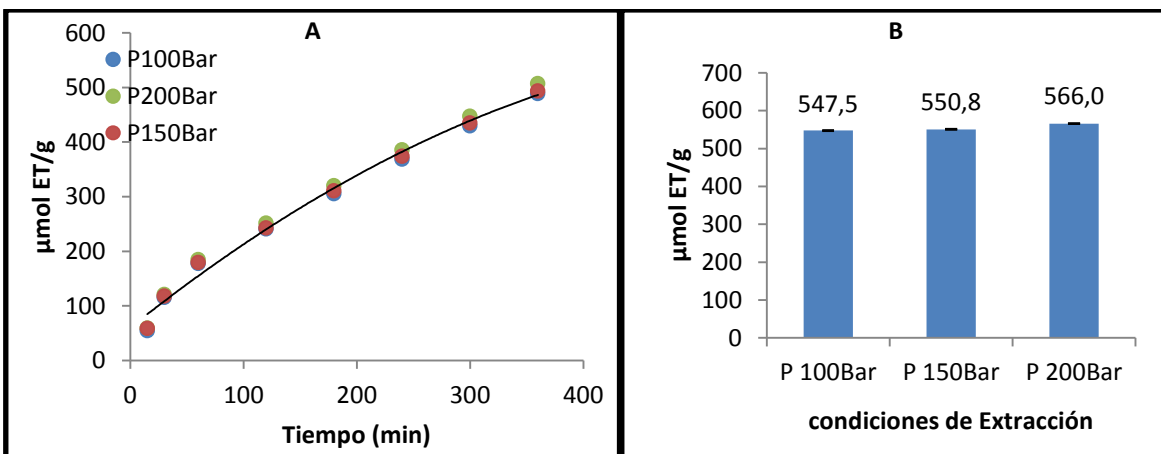


Figura 22. (a) Cinética temperatura constante de 40 °C (b) Capacidad antioxidante por DPPH temperatura constante 40 °C (6 horas).

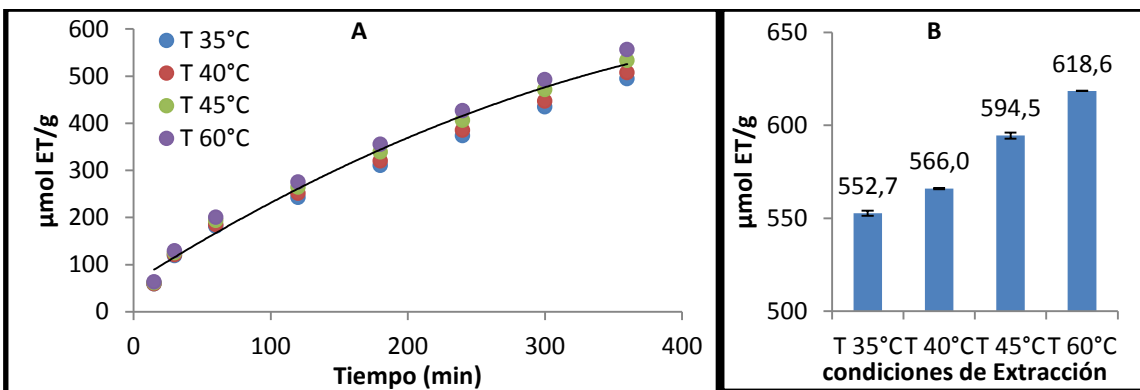


Figura 23. (a) Cinética presión constante de 200 Bar (b) Capacidad antioxidante por DPPH a presión constante 200 Bar (6 horas).

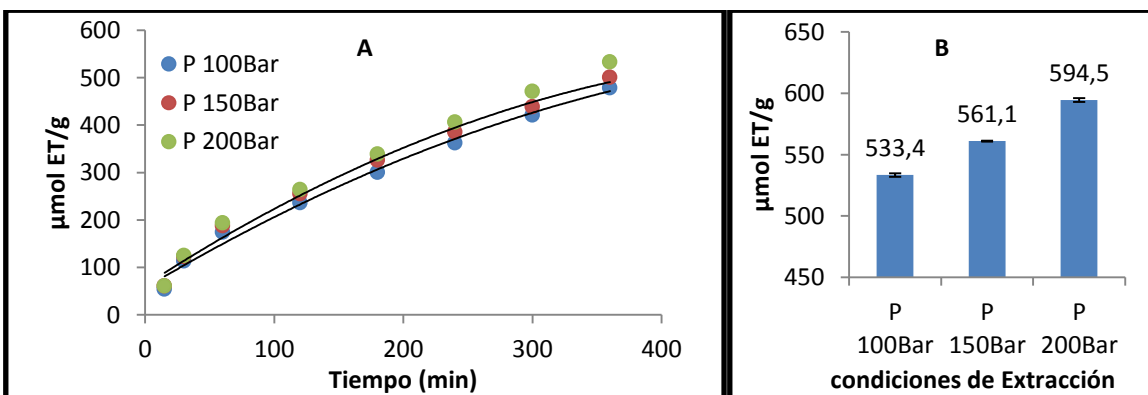


Figura 24. Cinética temperatura constante 45 °C (b) Capacidad antioxidante por DPPH temperatura constante 45 °C (6 horas).

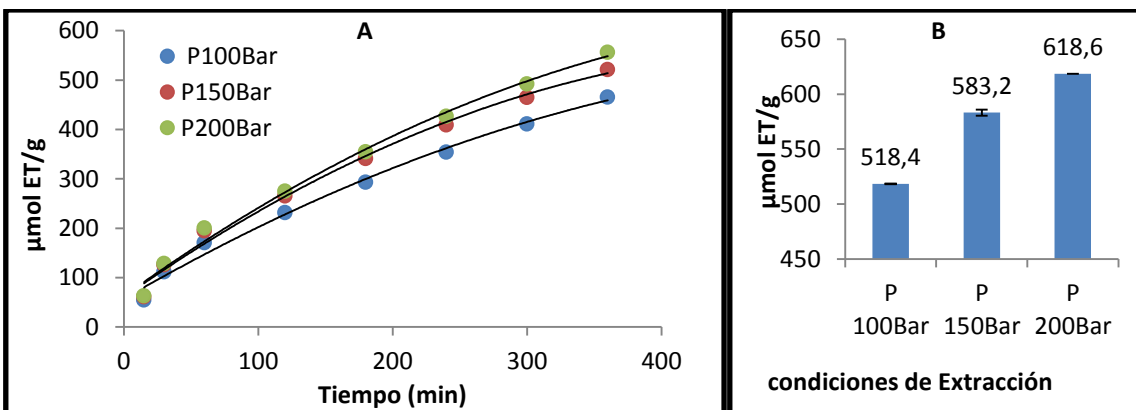


Figura 25. (a) Cinética temperatura constante 60 °C (b) Capacidad antioxidante por DPPH a temperatura constante 60 °C (6 horas).

Al analizar los resultados obtenidos en la técnica DPPH en comparación con los valores de ABTS se observa que fueron menores a pesar de usar las mismas condiciones de extracción. En las gráficas de rendimiento se observó el aumento de capacidad antioxidante entre más altos son los valores de la presión, se pudo apreciar una pequeña incidencia de la presión para el rendimiento final de capacidad antioxidante (Castro-Vargas et al., 2010). El mejor rendimiento fue de 68.7 μmol ET/g subproductos (200 bares, 60°C), el resultado difiere en menor grado a 81±12 μmol Trolox/100g semilla (40°C/10MPa) , 136±3mmol Trolox/100g semilla (60°C/10 MPa) Castro-Vargas et al.,(2010). En comparación con el tamaño de partícula de muestra, es menor a 86,5 μmol Trolox equivalentes/g subproductos base húmeda (μmol TE/g BH) Figueroa et al., (2012) en este resultado se ha empleado solventes para la extracción de extractos.

CONCLUSIONES

El mejor rendimiento de compuestos lipofílicos en subproductos de la guayaba (*Psidium guajava* L.) fue de 3.45 % a condiciones de extracción de 150 bar 45 °C. El tiempo y temperatura tuvieron un efecto positivo en el rendimiento final.

Los resultados de fenoles totales demostraron el mayor contenido de 56,6 mg GAE/100 g subproductos, de guayaba a condiciones de operación supercrítica de 60 °C y 100 bar.

Los mejores resultados de capacidad antioxidante según el método ABTS se obtuvieron a condición de extracción de 200 bar 35 °C, 200 bar, 45°C y 150 bar 45°C 82.11 µmol ET/g subproductos de guayaba.

El mejor resultado de capacidad antioxidante empleando el método DPPH es 68.7 µmol ET/g subproductos de guayaba en condiciones de extracción supercrítica de 200 bar 60 °C.

RECOMENDACIONES

Se recomienda realizar en periodos de tiempo más prolongados la extracción con fluidos supercríticos para mejorar el rendimiento de compuestos lipofílicos en subproductos de la guayaba.

Al culminar esta investigación se recomienda realizar un estudio analítico cuantitativo para identificar compuestos presentes en los extractos lipofílicos obtenidos a diferentes condiciones FSC.

Los subproductos de guayaba son fuentes aprovechables de antioxidantes, siendo importante utilizarlos en la agroindustria.

BIBLIOGRAFÍA

Robles Ozuna, A.; L E.; O. L . . Ultrasonido y sus aplicaciones en el procesamiento de alimentos, 2013, 11.

Agila Bustos, G. K. Diseño en alimentos derivados de La guayaba, empleando procesos simples de conservación. Pontificie Universidad del Ecuador, 2013.

Arias Velanda, A. J. Obtención de extractos con CO₂ supercrítico a escala piloto de Las especies: rosmarinus officinalis, salvia officinalis y psidium guajava. Universidad Industrial de Santander, 2012.

Arnao, Marino B.; Cano, M. A. The hydrophilic and lipophilic contribution to total antioxidant activity. *Food Che* 2001, 73, 239–244.

Azuola, R.; Vargas, P. Extracción de sustancias asistida (EUA) por ultrasonido. *Tecnol. en Marcha* 2007, 20 (4), 11.

Brand-Williams, W.; Cuvelier, M. E.; Berset, C. Use of a free radical method to evaluate antioxidant activity. *Food Sci. Technol* 1995, 28, 25–30.

Cabezas , A. Elaboración y evaluación de galletas con quinua y guayaba deshidratada, Escuela Superior Politécnica de Chimborazo, 2010.

Caldas, A. Optimización escalamiento y diseño de una planta piloto de extracción sólido líquido. 2012, 1–48.

Calero Consuegra, L. D. Estudio de la naturaleza química de los compuestos volátiles de aromas: identificados de aquellos presentes en varias especies frutales endémicas del Ecuador, Universidad Politécnica Salesiana Sede Quito, 2011.

Cano Europa, E.; Blas Valdivia, V.; Rodríguez Sánchez, R.; Torres Manzo, P.; Franco Colín, M.; Hernández García, A.; Ortiz Butrón, R. Uso terapéutico de algunos microorganismos, microalgas, algas y hongos. *Rev. Mex. Ciencias Farm.* 2012, 43 (4), 22–30.

Carrasco, R. De. Determinación de la capacidad antioxidante y determination de capacidada antioxidante y compuestos bioactivos en frutas nativas. 2008, 2, 108–124.

Carvalho, R. N., Moura, L. S., Rosa, P. T., & Meireles, M. A. A. Supercritical fluid extraction from rosemary (*rosmarinus officinalis*): kinetic data, extract's global yield, composition, and antioxidant activity. *J. Supercrit. Fluids* 2005, 35 (3), 197–204.

Castillo Ulloa, D. A. Estudio de factibilidad para la creación de una empresa dedicada a producción y exportación de pulpa de fruta congelada de mango y guayaba, hacia el mercado canadiense, Universidad Internacional del Ecuador, 2011.

Castro-Vargas, H. I.; Rodríguez-Varela, L. I.; Ferreira, S. R. S.; Parada-Alfonso, F. Extraction of phenolic fraction from guava seeds (*Psidium guajava* L.) using supercritical carbon dioxide and co-solvents. *J. Supercrit. Fluids* 2010, 51 (3), 319–324.

Chyau, C., Chen, S., Wu, M. Differences of volatile and non-volatile constituents between mature and ripe guava (*Psidium guajava* L.). *Agric. Food Chem* 1992, 40, 846–849.

Concepción, O.; Nápoles, L.; Pérez, A. T.; Hernández, M.; Peralta, N.; Trujillo, R. Efecto de tres actioxidantes en el cultivo in vitro de apices de guayaba (*Psidium Guajava* L .). relacionados en el oriente del desplante y el contenido de compuestos fenolicos. 2005, 26 (1), 33–39.

Concha Gualla, M. J. Estudio del proceso de rehidratación de la guayaba (*Psidium Guajava* L) deshidratada, Escuela Superior Politécnica de Chimborazo, 2012.

Echavarría, B. Z.; Franco, A. S.; Martínez, A. M. Evaluación de la actividad antioxidante y determinación del contenido de compuestos fenólicos en extractos de macroalgas del caribe colombiano. *Vitae* 2009, 16 (1), 126–131.

Ekundayo, O., Ajani, F., Seppanen-Laakso, T., Laakso, I. Volatile constituents of psidium guajava L. (guava) fruits flavour fragr. 1991, 6, 233–236.

Espinal, M. Capacidad antioxidante y ablandamiento de la guayaba palmira ica (*Psidium guajava* L), Universidad Nacional de Colombia, 2010.

Esquivel, M.; Bernardo-Gil, M. G. El Uso de fluidos supercríticos en la industria de aceites y alimentarios. *Grasas y Aceites* 1993, 44 (1), 1–5.

Fernandez, X.F., Fellous, R., Lizzani-Cuvelier, L., Michel, L., Dompe, V., Cozzolino, F., George, G., Rochard, S., Schippa, C. Identification of thiazolidines in guava: stereochemical studies. *Flavour Fragr* 2001, 16, 274–280.

Figueroa, G.; Alejandra, M.; Piedra, A. Comunicación efecto del tamaño de partícula sobre La capacidad antioxidante de un subproducto de guayaba (*Psidium guajava* L .). 2012, 3 (2), 202–209.

Flores Iturralde, C. J. Elaboracion y evaluacion nutricional comparativa de mermelada de guayaba (*Pisidium guajava* L.) deshidratada frente a mermeladas casera e industria, Escuela Superior Politécnica de Chimborazo, 2012.

Gañaán, N. A. Extracción y fraccionamiento de biocidas de origen natural mediante el uso de fluidos supercríticos, Universidad Nacional del Sur, 2014.

Gao, M.; Liu, C. Z. Comparison of techniques for the extraction of flavonoids from cultured cells of saussurea medusa maxim. *World J. Microbiol. Biotechnol.* 2005, 21 (8-9), 1461–1463.

Gaviria Montoya, C.; Ochoa Ospina, C.; Sánchez Mesa, N.; Medina Cano, C.; Lobo Arias, M.; Galeano García, P.; Mosquera Martínez, A.; Tamayo Tenorio, A.; Lopera Pérez, Y.; Rojano, B. Actividad antioxidante e inhibición de la peroxidación lipídica de extractos de

frutos de mortiño (*vaccinium meridionale* SW). *Bol. Latinoam. y del Caribe Plantas Med. y Aromat.* 2009, 8 (6), 519–528.

Gómez, E. O.; Arévalo, A. L.; Reátegui, D.; Sandoval, M. Cuantificación de polifenoles totales y actividad antioxidante en hojas, corteza, flores y fruto de dos variedades de guayaba (*Psidium guajava* L.). *Investig. y Amaz.* 2011, 1 (2), 48–52.

Google Maps. ubicacion de la provincia de guyaquil https://www.google.com/maps/d/viewer?mid=zMa3UEemTCP4.k_-7CeD2Pm7k&hl=en_US.htm (accessed sep 18, 2013)

Idstein, H.; Schreier, P. Volatile Constituents from guava (*Psidium guajava* L.) fruit. *agric. Food Chem.* 1985, 33, 138–143.

Illera, G. Fracionamiento y aplicaciones de extractos supercríticos de romero (*rosmarinus officinalis*), Universidad Autónoma de Madrid, 2012.

INEC. Encuesta de superficie y producción agropecuaria continua <http://anda.inec.gob.ec/anda/index.php/catalog/266/variable/V3079>. (accessed sep 18, 2013)

J. A. Mendiola, P. J. Martín-Álvarez, F. J. Señoráns, G. Reglero, A. Capodicasa, F. Nazzaro, A. Sada, A. C. y E. I. Diseño de nuevos antioxidantes de origen vegetal para la industria cárnica empleando métodos quíométricos. 2009, 1–6.

Kong, K-W; Ismail, AR; Tan, S-T; Nagendra Prasad, KM; Ismail, A. Response surface optimisation for the extraction of phenolics and flavonoids from a pink guava puree industrial by product. *Int. journal food Tecnol.* 45 (8), 1739–1745.

Kuskoski, E. M.; Asuero, A. G.; Troncoso, A. M.; Mancini-Filho, J.; Fett, R. Aplicación de diversos métodos químicos para determinar actividad antioxidante en pulpa de frutos. *ciêncie e Tecnol. Aliment.* 2005, 25 (4), 726–732.

León Sinuco, D. L. Estudio químico del aroma de la guayaba (*Psidium guajava* L.) genotipos regional roja blanca proveniente de la Hoya del río suarez, Universidad Nacional de Colombia, 2009.

Li, S., & Hartland, S. A. New industrial process for extracting cocoa butter and xanthines with supercritical carbon dioxide. *J. Am. Oil Chem. Soc.* 1996, 73 (4), 423–429.

Lopez M.; Crespi, M. Revisión de los métodos de extracción de pesticidas de muestras con alto contenido de materia grasa. *Grasas y Aceites.* 2000, 51(3), 183- 189.

Marquina, V.; Araujo, L.; Ruiz, J.; Rodríguez-Malaver, a.; Vit, P. Composición química y capacidad antioxidante en fruta, pulpa y mermelada de guayaba (*Psidium guajava* L.). *Arch. Latinoam. Nutr.* 2008, 58 (1), 98–102.

Mendiola, J. Extracción de compuestos bioactivos de microalgas mediante fluidos supercríticos. 2008.

Michielin, E. M., Bresciani, L. F., Danielski, L., Yunes, R. A., & Ferreira, S. R. Composition profile of horsetail (*equisetum giganteum* L.) oleoresin: comparing SFE and organic solvents extraction. *J. Supercrit. Fluids* 2005, 33 (2), 131–138.

Morillo, O.; Castillo, G. Extracción de Aceite de palma africana utilizando fluidos supercríticos. 2010, 22 (2), 89–94.

Mosquera, D.; Díaz, R.; Cardona, J.; Gutierrez, R.; Hernandez, M. Obtención de aceites vegetales provenientes de especies amazónicas mediante la técnica de extracción asistida por microondas (Eam). *Vitae* 2012, 19 (1), S57–S59.

Muñoz, M. A. B.; Gómez, A. M.; Martínez, E.; Ossa, D. Optimizacón del proceso de extracción de tocoferol de germen de trigo con dióxido de carbono líquido y supercrítico. 1999, 50, 275–279.

Narváez-Cuenca, C.-E. Determinacion de vitamina C, compuestos fenòlicos totales actividad antioxidante de frutas de guayaba (*Psidium guajava* L.) cultivada en Colombia. *Quim. Nov.* 2009, 32 (9), 2336–2340.

Nishimura, O., Yamaguchi, K.; Mihara, S., Shibamoto, T. Volatile constituents of guava fruits (*Psidium guajava* L.) and canned puree. *Agric. Food Chem* 1989, 37, 139–142.

Nivia, A.; Castro, H.; Parada, F.; Rodríguez, I.; Restrepo, P. Aprovechamiento integral de guayaba(*Psidium guajava* L .): y obtención de extractos utilizando como solvente CO₂ supercítico. *Sci. Tech.* 2007, No. 33, 79–82.

Ovejero, G. Propiedades de los fluidos supercríticos. 2008, 15–23.

Paniandy, J.C., Chane-Ming, J., Pieribattesti, J. Chemical composition of the essential oil and headspace solid-phase microextraction of the guava fruit (*Psidium guajava* L.). *Essent. Oil Res* 2000, 12, 153–158.

Peredo, H.; García, E.; López, A. Aceites esenciales: métodos de extracción. *Temas Sel. Ing. Aliment.* 2009, 3 (1), 24–32.

Pérez- Jiménez, J; Saura-Calixto, F. Effect of solvent and certain food constituents on diffent antioxidant capacity assays. *Food Res. Int.* 2006, 39 (7), 791–800.

Pino Estévez, V. Extracción y preconcentración micelar. Aplicación a la determinación de hidrocarburos aromáticos policíclicos en muestras de interés medioambiental, Universidad de la Laguna, 2004.

PubChem. National Center for Biotechnology Information
<http://www.ncbi.nlm.nih.gov/pccompound/?term=%22sodium+carbonate%22> (accessed Sep 16, 2015).

Quijano, C., Suarez, M., Duque, C. Volatile constituents of two guava (*Psidium guajava* L) varieties: palmira ICA and glum sali. *Rev. Col. Quim* 1999, 28, 55–63.

Ramirez, A.; Pacheco, E. Composición química y compuestos bioactivos presentes en pulpas de piña, guayaba y guanábana. *Interciencia* 2011, 36, 71–75.

Restrepo ánchez, D. Extracción de compuestos con actividad antioxidante de frutos de guayaba cultivada en Vélez-Sabtander, Colombia. *Quim. Nov.* 2009, 32 (6), 1517–1522.

Rodríguez, E. A.; Árias, A. J.; Vásquez, E. G.; Martínez, J. R.; Stashenko, E. E. Rendimiento y capacidad antioxidante de extractos de *rosmarinus officinalis*, *salvia officinalis* y *psidium guajava* obtenidos con CO₂ supercrítico. 2004, 7.

Rodríguez-riera, Z.; Robaina-mesa, M.; Jáuregui-haza, U.; Rodríguez-chanfrau, G. J. E.; Blanco-, A. Empleo de la radiación ultrasónica para la extracción de compuestos bioactivos provenientes de fuentes naturales . Estado actual y perspectivas. 2014, 45, 139–147.

Rojas Jiménez, X. A. Valoración de los subproductos de mango (*mangifera indica* L.) y guayaba (*Psidium guajava* L.) como fuente de fibra dietaria y antioxidante, Universidad Técnica Particular de Loja, 2014.

Rufino, Maria do Socorro M; Pérez-Jiménez, Jara; Arranz, Sara; Alves, Ricardo Elesbão; de Brito, Edy S; Oliveira, Maria S. P; Saura-Calixto, F. Açaí. A tropical fruit source of antioxidant dietary fiber and high antioxidant capacity oil. *Food Res. Int.* 2011, 44 (7), 2100–2106.

Soares, F.D., Pereira, T., Maio M.O., Monteiro, A.R. Volatile and non-volatile chemical composition of the white guava fruit (*Psidium Guajava*) at different stages of maturity. *Food Chem* 2007, 15–21.

Thaipong, K.; Boonprakob, U.; Crosby, K.; Cisneros-Zevallos, L.; Hawkins Byrne, D. Comparison of ABTS, DPPH, FRAP, and ORAC assays for estimating antioxidant activity from guava fruit extracts. *Food Compos.* 2006, 19, 669–675.

Toth-Markus, M., Siddiqui, S., Kovacs, E., Roth, E., Nemeth-Szerdahelyi, E. Changes in flavour, cell wall degrading enzymes and ultrastructure of guava (*Psidium guajava* L.) during ripening. *Acta Aliment.* 2005, 34, 259–266.

Valverde, A. Extracción con fluidos supercríticos: principios y aplicaciones al análisis de residuos de plaguicidas. 2002, 78, 141–154.

Vernin, G., Vernin, E., Vernin, C., Metzger, J., Soliman, A. Extraction and GC-MS-specma data bank analysis of the aroma of (*Psidium guajava* L). fruit from egypt. *Flavour Fragr.* 1991, 6, 143–148.

Vinatoru, M. An overview of the ultrasonically assisted extraction of bioactive principles from herbs. *Ultrason. Sonochem.* 2001, 8 (3), 303–313.

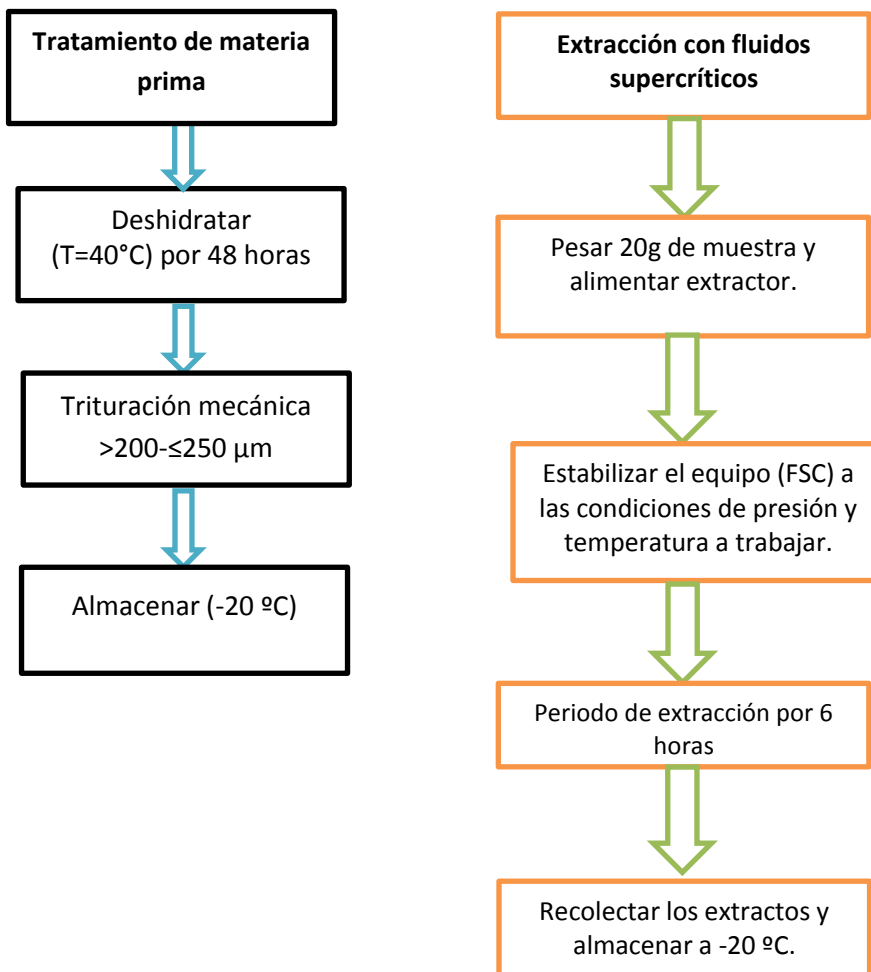
Yam Tzec, J. A.; Villaseñor Perea, C. A.; Kriuchkova, E. R.; Soto Escobar, M.; Peña Peralta, M. Á. Una revisión sobre la importancia del fruto de guayaba (*Psidium guajava* L.) y sus principales características en la postcosecha. *Rev. Ciencias Técnicas Agropecu.* 2010, 19 (4).

Zapata, K.; Cortes, F. B.; Rojano, B. a. Polifenoles y actividad antioxidante del fruto de guayaba agria (*psidium araca*). *Inf. Tecnol.* 2013, 24 (5), 103–112.

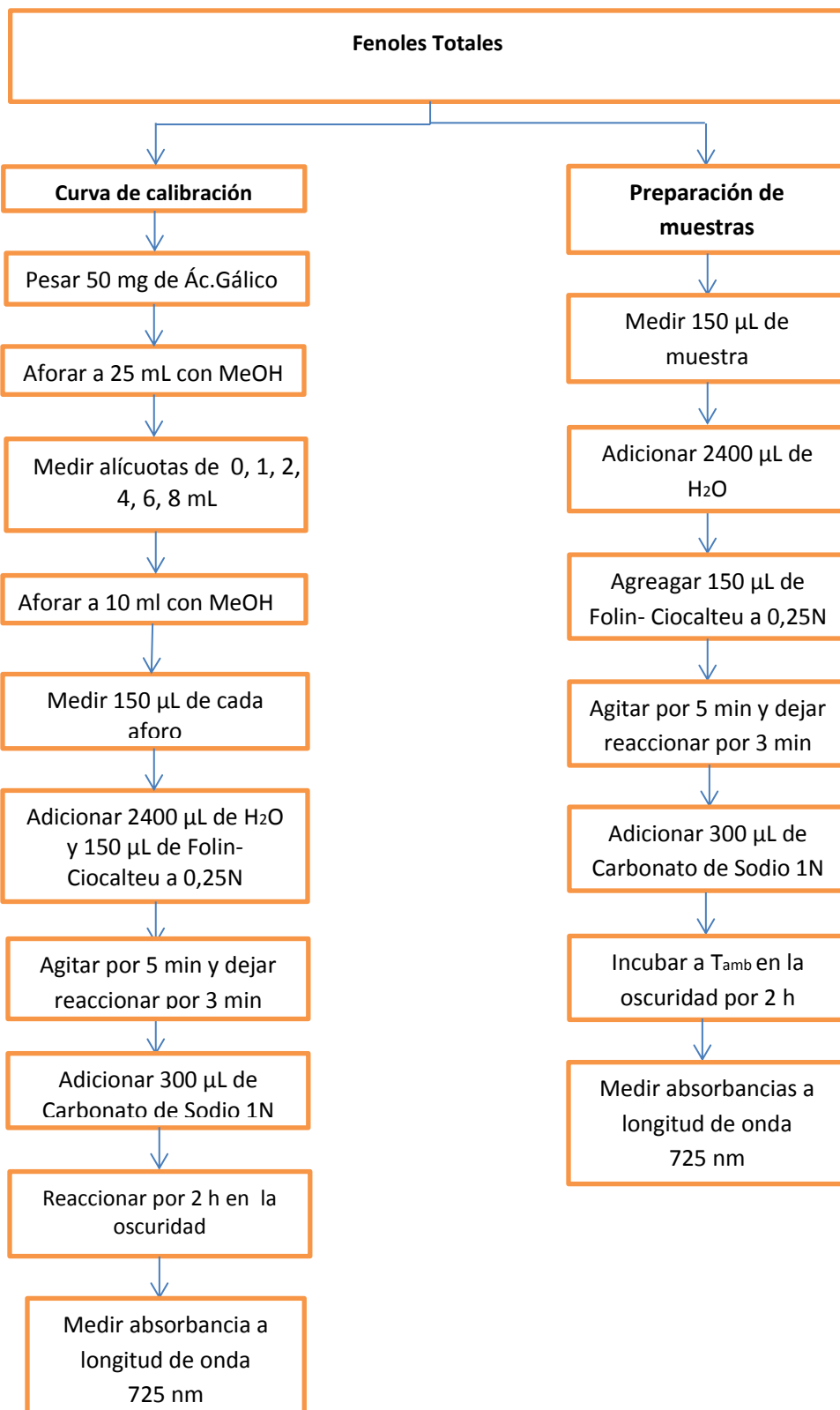
Folin-Marenzi reagent | H130O62P2W18 PubChem
<http://pubchem.ncbi.nlm.nih.gov/compound/452323#section=Top> (accessed Sep 16, 2015).

ANEXOS

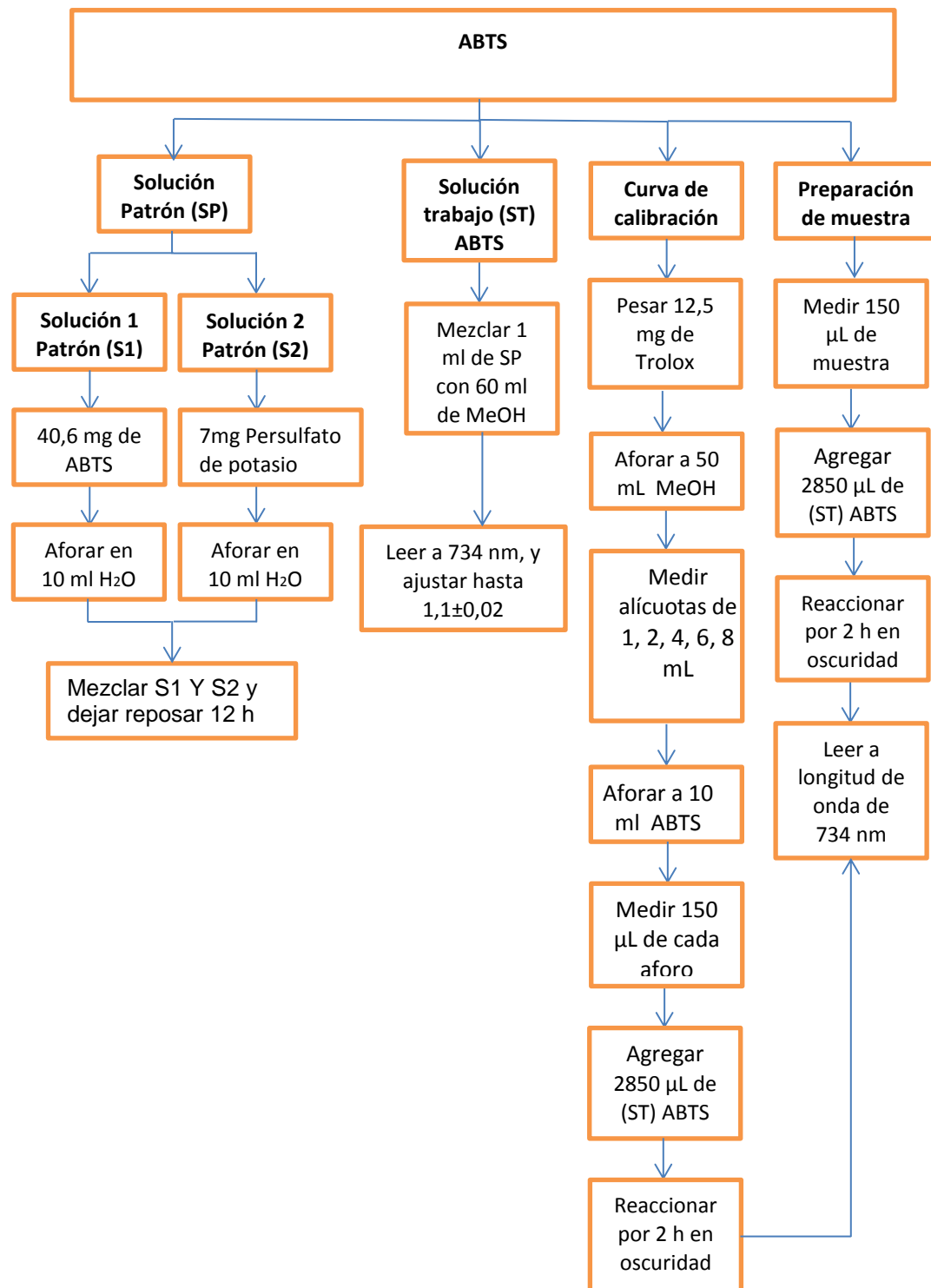
Anexo A. Esquema metodológico del tratamiento de muestra y FSC.



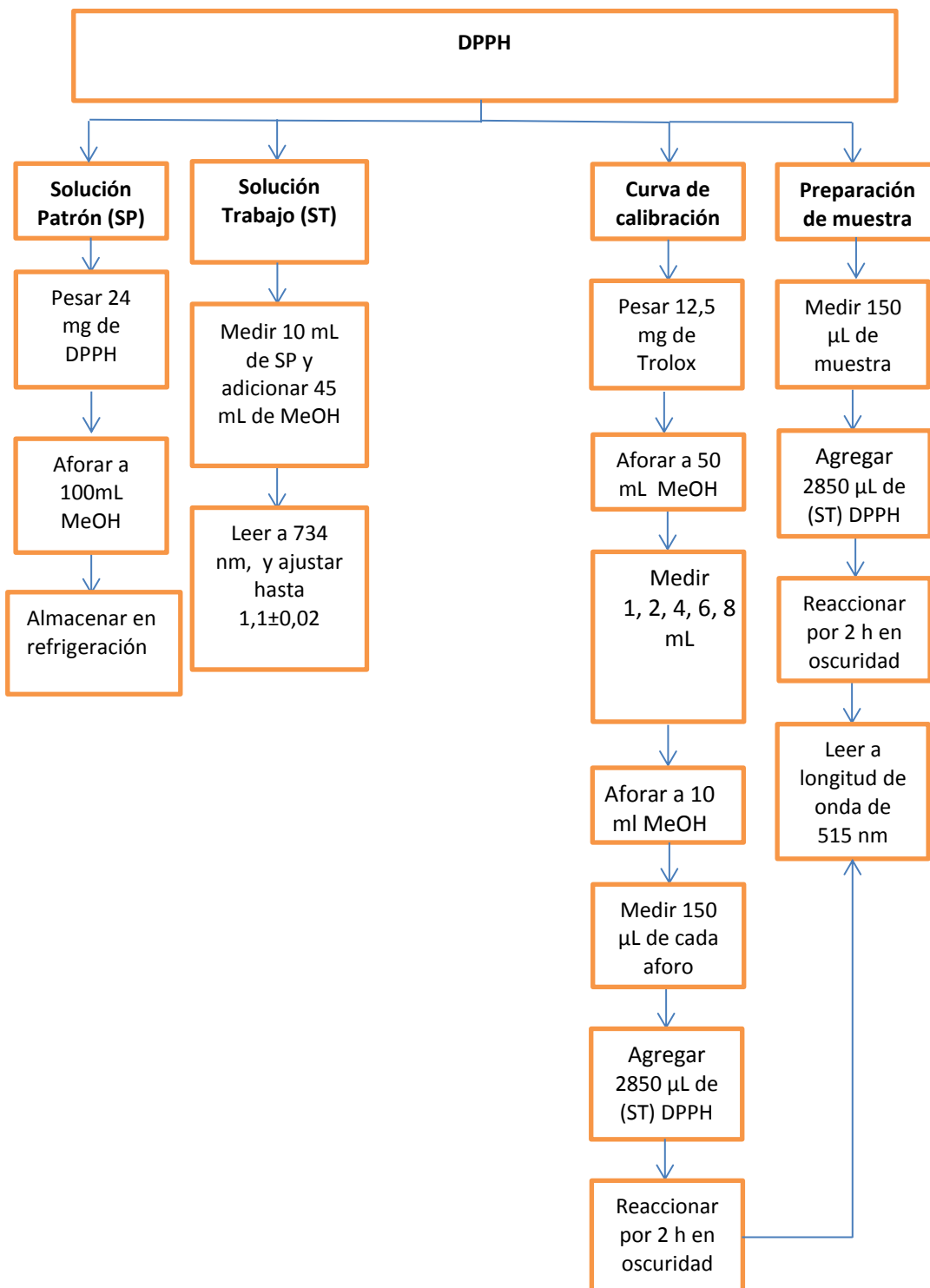
Anexo B. Esquema de procedimiento de fenoles totales.



Anexo C. Esquema de procedimiento del método ABTS.



Anexo D. Esquema de procedimiento del método DPPH.



Resultados de extracción con fluidos supercríticos.

Tabla 3. Rendimientos de extracción de fluidos supercríticos en un tiempo de seis horas.

| Condiciones | | Muestra inicial (g) | Extracto obtenido (g) | Rendi Miento % | media | Desviación | Coef. Variacion |
|-------------|------------|---------------------------|-----------------------------|----------------------|-------|------------|--------------------|
| T (°C) | P (bar) | | | | | | |
| 35 | 100 | 20.04989 | 0.46995 | 2.34 | 2.23 | 0.15 | 6.97 |
| 35 | 100 | 20.07840 | 0.42606 | 2.12 | | | |
| 35 | 150 | 20.04664 | 0.34188 | 1.70 | 1.85 | 0.19 | 10.40 |
| 35 | 150 | 20.02250 | 0.39397 | 1.97 | | | |
| 35 | 200 | 20.01295 | 0.31473 | 1.57 | 1.62 | 0.07 | 4.78 |
| 35 | 200 | 20.01410 | 0.33693 | 1.68 | | | |
| 40 | 100 | 2001357 | 0.46498 | 2.32 | 2.20 | 0.17 | 7.71 |
| 40 | 100 | 20.03572 | 0.41838 | 2.08 | | | |
| 40 | 150 | 20.01357 | 0.47134 | 2.36 | 2.38 | 0.02 | 1.18 |
| 40 | 150 | 20.00750 | 0.47968 | 2.40 | | | |
| 40 | 200 | 20.01499 | 0.60794 | 3.04 | 2.97 | 0.09 | 3.09 |
| 40 | 200 | 20.05730 | 0.58381 | 2.91 | | | |
| 45 | 100 | 20.06853 | 0.37366 | 1.86 | 1.85 | 0.01 | 0.76 |
| 45 | 100 | 20.07860 | 0.37082 | 1.84 | | | |
| 45 | 150 | 20.04118 | 0.67823 | 3.38 | 3.45 | 0.09 | 2.86 |
| 45 | 150 | 20.04435 | 0.70530 | 3.52 | | | |
| 45 | 200 | 20.05680 | 0.42970 | 2.14 | 2.28 | 0.19 | 8.68 |
| 45 | 200 | 20.04743 | 0.48524 | 2.42 | | | |
| 60 | 100 | 20.05963 | 0.52586 | 2.62 | 2.65 | 0.4 | 1.86 |
| 60 | 100 | 20.04248 | 0.54034 | 2.69 | | | |
| 60 | 150 | 20.02740 | 0.49786 | 2.49 | 2.52 | 0.04 | 1.68 |
| 60 | 150 | 20.03273 | 0.51014 | 2.55 | | | |
| 60 | 200 | 20.08624 | 0.37794 | 1.88 | 1.89 | 0.02 | 1.11 |
| 60 | 200 | 20.08980 | 0.38275 | 1.91 | | | |

Calculo de rendimiento de extractos.

$$R(\%) = \frac{\text{peso extracto obtenido}}{\text{peso de muestra inicial alimentada}} \times 100 \rightarrow R(\%) = \frac{0.46995}{20.04989} \times 100 = 2.34$$

Anexo E. Cuantificación de fenoles totales.

Tabla 4. Datos de curva de calibración de fenoles totales.

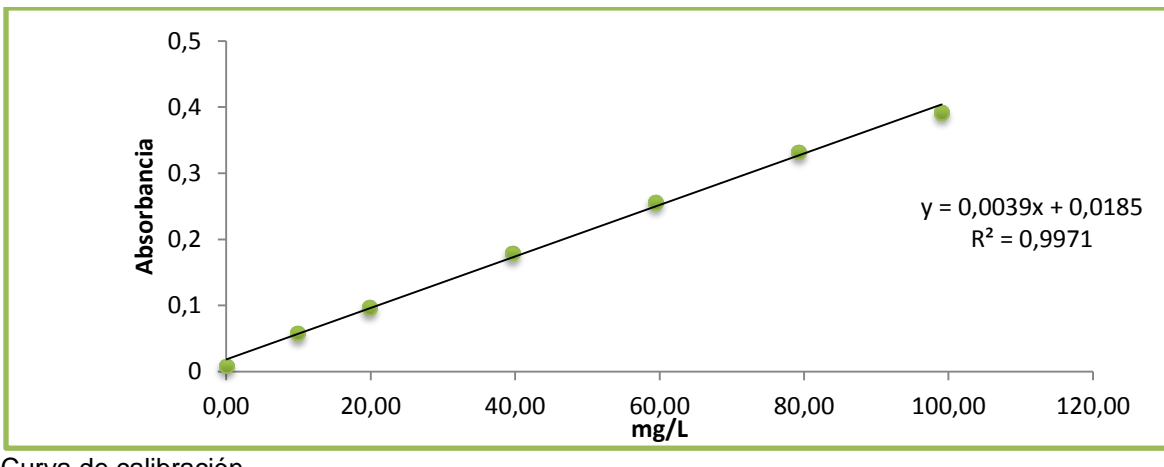
| P. ácido gálico (g) | | PM (g/mol) | Riqueza (%) | Aforo (ml) | C. Solución patrón (mg/L) | |
|---------------------|---------------|---------------|----------------|---------------|------------------------------|----------|
| 0.5002 | | 170 | 99 | 25 | 1980.792 | |
| Alícuota (ml) | Aforo (ml) | AG (mg/L) | Señal 1 | Señal2 | Señal3 | Promedio |
| 0 | 10 | 0.00 | 0.008 | 0.008 | 0.009 | 0.0083 |
| 0.05 | 10 | 9.90 | 0.058 | 0.059 | 0.058 | 0.0583 |
| 0.1 | 10 | 19.81 | 0.097 | 0.097 | 0.097 | 0.0970 |
| 0.2 | 10 | 39.62 | 0.179 | 0.179 | 0.180 | 0.1793 |
| 0.3 | 10 | 59.42 | 0.264 | 0.265 | 0.264 | 0.2643 |
| 0.4 | 10 | 79.23 | 0.352 | 0.353 | 0.352 | 0.3523 |
| 0.5 | 10 | 99.04 | 0.393 | 0.392 | 0.392 | 0.3923 |

Concentración de solución patrón

$$C = \left(\frac{0.05002 \times 0.99}{25} \right) \times \left(\frac{1000 \text{ ml}}{1 \text{ L}} \right) \times \frac{1000 \text{ mg}}{1 \text{ g}} = 1980.792 \text{ mg/L}$$

Determinación de concentración de estándares de curva de calibración

$$C_1 V_1 = C_2 V_2 \rightarrow C_2 = \frac{C_1 V_1}{V_2} \rightarrow \text{determinación de estándar } 0.05 \text{ C}_2 = \frac{1980.792 \text{ mg/L} \times 0.05 \text{ mL}}{10 \text{ mL}} \\ = 9.90 \text{ mg/L}$$



Curva de calibración

Determinación de concentración de fenoles totales en los extractos obtenidos de guayaba.

$$17.596 \text{ } \mu\text{mol/Lsol} \rightarrow \frac{1 \text{ L sol}}{1000 \text{ mL sol}} \times \frac{4.7 \text{ mL sol} + 0.00039}{0.0047 \text{ g ext}} = 17.596 \frac{\mu\text{mol}}{\text{g}} \text{ ext}$$

$$17.596 \frac{\mu\text{mol}}{\text{g}} \text{ ext} \times \frac{0.8373 \text{ g ext}}{20.04985 \text{ gMS}} = 17.596 \text{ mg GAE/ 100 g} \text{ Contenido fenólico en extracto.}$$

Tabla 4. Ensayo 1 cuantificación de Fenoles Totales.

| Condiciones | | | Absorbancia | | | Promedio | Concentración mg/L | Extracto obtenido g | V.de MeOH 1000 ppm(ml) | P.extracto 1000 ppm g | Concentración mgGAE/100 g muestra seca |
|---------------------|---------|----------|-------------|------------|------------|----------|-----------------------|------------------------|---------------------------|--------------------------|--|
| Tiem po (min) | T °C | P Bar | Señal 1 | Señal 2 | Señal 3 | | | | | | |
| 15 | 35 | 100 | 0.045 | 0.058 | 0.047 | 0.050 | 17.596 | 0.08371 | 0.00470 | 4.7 | 17.596 |
| 30 | 35 | 100 | 0.033 | 0.038 | 0.034 | 0.035 | 13.742 | 0.04089 | 0.00430 | 4.3 | 13.742 |
| 60 | 35 | 100 | 0.045 | 0.043 | 0.047 | 0.045 | 16.311 | 0.06355 | 0.00280 | 2.8 | 16.311 |
| 120 | 35 | 100 | 0.073 | 0.075 | 0.081 | 0.076 | 24.364 | 0.02512 | 0.00272 | 2.72 | 24.364 |
| 180 | 35 | 100 | 0.078 | 0.087 | 0.097 | 0.087 | 27.191 | 0.03417 | 0.00191 | 1.91 | 27.191 |
| 240 | 35 | 100 | 0.087 | 0.081 | 0.084 | 0.084 | 26.334 | 0.04468 | 0.00280 | 2.8 | 26.334 |
| 300 | 35 | 100 | 0.098 | 0.094 | 0.095 | 0.096 | 29.332 | 0.0376 | 0.00238 | 2.38 | 29.332 |
| 360 | 35 | 100 | 0.055 | 0.048 | 0.061 | 0.055 | 18.796 | 0.03984 | 0.00322 | 3.22 | 18.796 |
| R | 35 | 100 | 0.033 | 0.036 | 0.041 | 0.037 | 14.170 | 0.0049 | 0.00490 | 4.9 | 14.17 |
| 15 | 40 | 100 | 0.053 | 0.05 | 0.049 | 0.051 | 17.768 | 0.0494 | 0.00430 | 4.3 | 17.768 |
| 30 | 40 | 100 | 0.047 | 0.049 | 0.044 | 0.047 | 16.740 | 0.01783 | 0.00153 | 1.53 | 16.74 |
| 60 | 40 | 100 | 0.087 | 0.084 | 0.084 | 0.085 | 26.591 | 0.0462 | 0.0043 | 4.3 | 26.591 |
| 120 | 40 | 100 | 0.123 | 0.117 | 0.118 | 0.119 | 35.414 | 0.01587 | 0.002 | 2 | 35.414 |
| 180 | 40 | 100 | 0.155 | 0.151 | 0.153 | 0.153 | 44.066 | 0.01192 | 0.0013 | 1.3 | 44.066 |
| 240 | 40 | 100 | 0.107 | 0.114 | 0.107 | 0.109 | 32.844 | 0.00934 | 0.00434 | 4.34 | 32.844 |
| 300 | 40 | 100 | 0.085 | 0.066 | 0.067 | 0.073 | 23.421 | 0.00532 | 0.00135 | 1.35 | 23.421 |
| 360 | 40 | 100 | 0.039 | 0.043 | 0.047 | 0.043 | 15.797 | 0.01488 | 0.00135 | 1.35 | 15.797 |

| R | 40 | 100 | 0.021 | 0.018 | 0.021 | 0.02 | 9.887 | 0.00422 | 0.00422 | 4.22 | 9.887 |
|-----|----|-----|-------|-------|-------|-------|--------|---------|---------|------|--------|
| 15 | 45 | 100 | 0.039 | 0.037 | 0.03 | 0.035 | 13.827 | 0.01474 | 0.00185 | 1.85 | 13.827 |
| 30 | 45 | 100 | 0.057 | 0.054 | 0.053 | 0.055 | 18.796 | 0.01151 | 0.00182 | 1.82 | 18.796 |
| 60 | 45 | 100 | 0.068 | 0.067 | 0.064 | 0.066 | 21.794 | 0.05426 | 0.00425 | 4.25 | 21.794 |
| 120 | 45 | 100 | 0.075 | 0.071 | 0.073 | 0.073 | 23.507 | 0.04346 | 0.00381 | 3.81 | 23.507 |
| 180 | 45 | 100 | 0.094 | 0.097 | 0.093 | 0.095 | 29.075 | 0.03092 | 0.00275 | 2.75 | 29.075 |
| 240 | 45 | 100 | 0.088 | 0.095 | 0.092 | 0.092 | 28.304 | 0.01884 | 0.00138 | 1.38 | 28.304 |
| 300 | 45 | 100 | 0.063 | 0.067 | 0.069 | 0.066 | 21.794 | 0.04024 | 0.0033 | 3.3 | 21.794 |
| 360 | 45 | 100 | 0.025 | 0.027 | 0.029 | 0.027 | 11.686 | 0.02181 | 0.0016 | 1.6 | 11.686 |
| R | 45 | 100 | 0.022 | 0.021 | 0.015 | 0.019 | 9.715 | 0.01188 | 0.00194 | 1.94 | 9.715 |
| 15 | 60 | 100 | 0.053 | 0.059 | 0.056 | 0.056 | 19.138 | 0.00996 | 0.00496 | 4.96 | 19.138 |
| 30 | 60 | 100 | 0.083 | 0.087 | 0.081 | 0.084 | 26.248 | 0.00477 | 0.00477 | 4.77 | 26.248 |
| 60 | 60 | 100 | 0.091 | 0.094 | 0.094 | 0.093 | 28.647 | 0.00485 | 0.00485 | 4.85 | 28.647 |
| 120 | 60 | 100 | 0.15 | 0.145 | 0.146 | 0.147 | 42.524 | 0.02919 | 0.00355 | 3.55 | 42.524 |
| 180 | 60 | 100 | 0.167 | 0.157 | 0.153 | 0.159 | 45.608 | 0.05541 | 0.00315 | 3.15 | 45.608 |
| 240 | 60 | 100 | 0.135 | 0.138 | 0.133 | 0.135 | 39.552 | 0.06177 | 0.00298 | 2.98 | 39.552 |
| 300 | 60 | 100 | 0.114 | 0.114 | 0.117 | 0.115 | 34.301 | 0.02254 | 0.00346 | 3.46 | 34.301 |
| 360 | 60 | 100 | 0.085 | 0.079 | 0.085 | 0.083 | 26.077 | 0.01195 | 0.00295 | 2.95 | 26.077 |
| R | 60 | 100 | 0.034 | 0.036 | 0.034 | 0.035 | 13.656 | 0.02542 | 0.00255 | 2.55 | 13.656 |
| 15 | 35 | 150 | 0.037 | 0.033 | 0.037 | 0.036 | 13.913 | 0.01674 | 0.005 | 5 | 13.913 |
| 30 | 35 | 150 | 0.067 | 0.063 | 0.066 | 0.065 | 21.537 | 0.0577 | 0.00419 | 4.19 | 21.537 |
| 60 | 35 | 150 | 0.073 | 0.086 | 0.087 | 0.082 | 25.82 | 0.03849 | 0.00321 | 3.21 | 25.82 |
| 120 | 35 | 150 | 0.087 | 0.1 | 0.098 | 0.095 | 29.161 | 0.019 | 0.00174 | 1.74 | 29.161 |
| 180 | 35 | 150 | 0.137 | 0.156 | 0.15 | 0.148 | 42.695 | 0.02781 | 0.00276 | 2.76 | 42.695 |
| 240 | 35 | 150 | 0.157 | 0.152 | 0.157 | 0.155 | 44.666 | 0.0458 | 0.00387 | 3.87 | 44.666 |
| 300 | 35 | 150 | 0.115 | 0.117 | 0.118 | 0.117 | 34.729 | 0.03179 | 0.002 | 2 | 34.729 |
| 360 | 35 | 150 | 0.048 | 0.046 | 0.047 | 0.047 | 16.825 | 0.05162 | 0.00353 | 3.53 | 16.825 |
| R | 35 | 150 | 0.024 | 0.032 | 0.029 | 0.028 | 12.028 | 0.05293 | 0.00233 | 2.33 | 12.028 |
| 15 | 40 | 150 | 0.028 | 0.026 | 0.029 | 0.028 | 11.857 | 0.05549 | 0.00481 | 4.81 | 11.857 |
| 30 | 40 | 150 | 0.054 | 0.059 | 0.067 | 0.06 | 20.166 | 0.05677 | 0.00315 | 3.15 | 20.166 |
| 60 | 40 | 150 | 0.069 | 0.065 | 0.067 | 0.067 | 21.965 | 0.07344 | 0.00432 | 4.32 | 21.965 |
| 120 | 40 | 150 | 0.071 | 0.073 | 0.071 | 0.072 | 23.164 | 0.0684 | 0.00316 | 3.16 | 23.164 |
| 180 | 40 | 150 | 0.088 | 0.084 | 0.086 | 0.086 | 26.848 | 0.03823 | 0.00236 | 2.36 | 26.848 |
| 240 | 40 | 150 | 0.083 | 0.081 | 0.085 | 0.083 | 26.077 | 0.03049 | 0.00201 | 2.01 | 26.077 |
| 300 | 40 | 150 | 0.051 | 0.055 | 0.053 | 0.053 | 18.367 | 0.07849 | 0.0042 | 4.2 | 18.367 |
| 360 | 40 | 150 | 0.034 | 0.035 | 0.038 | 0.036 | 13.913 | 0.06066 | 0.00361 | 3.61 | 13.913 |
| R | 40 | 150 | 0.027 | 0.022 | 0.024 | 0.024 | 11 | 0.00937 | 0.00121 | 1.21 | 11 |
| 15 | 45 | 150 | 0.071 | 0.072 | 0.071 | 0.071 | 23.079 | 0.02591 | 0.00277 | 2.77 | 23.079 |
| 30 | 45 | 150 | 0.082 | 0.082 | 0.084 | 0.083 | 25.991 | 0.02 | 0.00219 | 2.19 | 25.991 |
| 60 | 45 | 150 | 0.093 | 0.093 | 0.097 | 0.094 | 28.989 | 0.03483 | 0.0032 | 3.2 | 28.989 |
| 120 | 45 | 150 | 0.103 | 0.105 | 0.107 | 0.105 | 31.731 | 0.09426 | 0.0048 | 4.8 | 31.731 |
| 180 | 45 | 150 | 0.117 | 0.118 | 0.119 | 0.118 | 35.071 | 0.06284 | 0.00426 | 4.26 | 35.071 |
| 240 | 45 | 150 | 0.097 | 0.098 | 0.095 | 0.097 | 29.589 | 0.05019 | 0.00325 | 3.25 | 29.589 |
| 300 | 45 | 150 | 0.073 | 0.074 | 0.073 | 0.073 | 23.593 | 0.0326 | 0.0041 | 4.1 | 23.593 |
| 360 | 45 | 150 | 0.037 | 0.037 | 0.035 | 0.036 | 14.084 | 0.04322 | 0.00254 | 2.54 | 14.084 |
| R | 45 | 150 | 0.029 | 0.027 | 0.029 | 0.028 | 12.028 | 0.01438 | 0.002 | 2 | 12.028 |
| 15 | 60 | 150 | 0.083 | 0.087 | 0.085 | 0.085 | 26.591 | 0.00802 | 0.005 | 5 | 26.591 |
| 30 | 60 | 150 | 0.093 | 0.095 | 0.096 | 0.095 | 29.075 | 0.00791 | 0.00491 | 4.91 | 29.075 |
| 60 | 60 | 150 | 0.105 | 0.107 | 0.105 | 0.106 | 31.902 | 0.04561 | 0.004 | 4 | 31.902 |
| 120 | 60 | 150 | 0.113 | 0.117 | 0.115 | 0.115 | 34.301 | 0.06936 | 0.00333 | 3.33 | 34.301 |
| 180 | 60 | 150 | 0.132 | 0.129 | 0.127 | 0.129 | 37.984 | 0.08097 | 0.00222 | 2.22 | 37.984 |
| 240 | 60 | 150 | 0.135 | 0.135 | 0.136 | 0.135 | 39.526 | 0.04823 | 0.00392 | 3.92 | 39.526 |
| 300 | 60 | 150 | 0.105 | 0.107 | 0.103 | 0.105 | 31.731 | 0.01999 | 0.00307 | 3.07 | 31.731 |
| 360 | 60 | 150 | 0.083 | 0.085 | 0.087 | 0.085 | 26.591 | 0.0217 | 0.0021 | 2.1 | 26.591 |
| R | 60 | 150 | 0.078 | 0.077 | 0.071 | 0.075 | 24.107 | 0.03607 | 0.00403 | 4.03 | 24.107 |
| 15 | 35 | 200 | 0.038 | 0.037 | 0.038 | 0.038 | 14.427 | 0.00412 | 0.00402 | 4.02 | 14.427 |
| 30 | 35 | 200 | 0.053 | 0.055 | 0.047 | 0.052 | 18.025 | 0.03393 | 0.005 | 5 | 18.025 |
| 60 | 35 | 200 | 0.065 | 0.062 | 0.068 | 0.065 | 21.451 | 0.03319 | 0.0048 | 4.8 | 21.451 |
| 120 | 35 | 200 | 0.087 | 0.083 | 0.085 | 0.085 | 26.591 | 0.04964 | 0.00173 | 1.73 | 26.591 |

| | | | | | | | | | | | |
|-----|----|-----|-------|-------|-------|-------|--------|---------|---------|------|--------|
| 180 | 35 | 200 | 0.093 | 0.095 | 0.092 | 0.093 | 28.732 | 0.05067 | 0.0011 | 1.1 | 28.732 |
| 240 | 35 | 200 | 0.073 | 0.075 | 0.077 | 0.075 | 24.021 | 0.03755 | 0.0043 | 4.3 | 24.021 |
| 300 | 35 | 200 | 0.067 | 0.066 | 0.063 | 0.065 | 21.537 | 0.02826 | 0.00248 | 2.48 | 21.537 |
| 360 | 35 | 200 | 0.037 | 0.033 | 0.033 | 0.034 | 13.57 | 0.06385 | 0.00385 | 3.85 | 13.57 |
| R | 35 | 200 | 0.018 | 0.015 | 0.014 | 0.016 | 8.773 | 0.01352 | 0.00438 | 4.38 | 8.773 |
| 15 | 40 | 200 | 0.047 | 0.047 | 0.043 | 0.046 | 16.483 | 0.00278 | 0.0024 | 2.4 | 16.483 |
| 30 | 40 | 200 | 0.052 | 0.053 | 0.057 | 0.054 | 18.624 | 0.00739 | 0.004 | 4 | 18.624 |
| 60 | 40 | 200 | 0.068 | 0.07 | 0.073 | 0.07 | 22.822 | 0.07048 | 0.0032 | 3.2 | 22.822 |
| 120 | 40 | 200 | 0.089 | 0.085 | 0.087 | 0.087 | 27.105 | 0.09123 | 0.00217 | 2.17 | 27.105 |
| 180 | 40 | 200 | 0.098 | 0.097 | 0.095 | 0.097 | 29.589 | 0.10224 | 0.0031 | 3.1 | 29.589 |
| 240 | 40 | 200 | 0.112 | 0.101 | 0.103 | 0.105 | 31.816 | 0.19 | 0.00479 | 4.79 | 31.816 |
| 300 | 40 | 200 | 0.087 | 0.085 | 0.087 | 0.086 | 26.934 | 0.06131 | 0.0031 | 3.1 | 26.934 |
| 360 | 40 | 200 | 0.037 | 0.031 | 0.038 | 0.035 | 13.827 | 0.0757 | 0.0037 | 3.7 | 13.827 |
| R | 40 | 200 | 0.027 | 0.027 | 0.026 | 0.027 | 11.6 | 0.00681 | 0.00387 | 3.87 | 11.6 |
| 15 | 45 | 200 | 0.047 | 0.042 | 0.041 | 0.043 | 15.883 | 0.00279 | 0.002 | 2 | 15.883 |
| 30 | 45 | 200 | 0.055 | 0.056 | 0.058 | 0.056 | 19.224 | 0.01698 | 0.00267 | 2.67 | 19.224 |
| 60 | 45 | 200 | 0.067 | 0.063 | 0.064 | 0.065 | 21.365 | 0.03754 | 0.0029 | 2.9 | 21.365 |
| 120 | 45 | 200 | 0.085 | 0.087 | 0.088 | 0.087 | 27.019 | 0.08155 | 0.00403 | 4.03 | 27.019 |
| 180 | 45 | 200 | 0.098 | 0.097 | 0.095 | 0.097 | 29.589 | 0.11329 | 0.00281 | 2.81 | 29.589 |
| 240 | 45 | 200 | 0.08 | 0.082 | 0.087 | 0.083 | 26.077 | 0.07366 | 0.0045 | 4.5 | 26.077 |
| 300 | 45 | 200 | 0.062 | 0.059 | 0.058 | 0.06 | 20.081 | 0.04678 | 0.0037 | 3.7 | 20.081 |
| 360 | 45 | 200 | 0.038 | 0.037 | 0.035 | 0.037 | 14.17 | 0.05094 | 0.00492 | 4.92 | 14.17 |
| R | 45 | 200 | 0.018 | 0.022 | 0.019 | 0.02 | 9.801 | 0.00617 | 0.00412 | 4.12 | 9.801 |
| 15 | 60 | 200 | 0.037 | 0.033 | 0.032 | 0.034 | 13.485 | 0.00128 | 0.00275 | 2.75 | 13.485 |
| 30 | 60 | 200 | 0.041 | 0.044 | 0.045 | 0.043 | 15.883 | 0.00434 | 0.0033 | 3.3 | 15.883 |
| 60 | 60 | 200 | 0.058 | 0.058 | 0.059 | 0.058 | 19.738 | 0.01788 | 0.00255 | 2.55 | 19.738 |
| 120 | 60 | 200 | 0.074 | 0.077 | 0.078 | 0.076 | 24.364 | 0.07842 | 0.00484 | 4.84 | 24.364 |
| 180 | 60 | 200 | 0.098 | 0.091 | 0.088 | 0.092 | 28.475 | 0.1007 | 0.00452 | 4.52 | 28.475 |
| 240 | 60 | 200 | 0.08 | 0.081 | 0.084 | 0.082 | 25.734 | 0.06299 | 0.00451 | 4.51 | 25.734 |
| 300 | 60 | 200 | 0.052 | 0.049 | 0.052 | 0.051 | 17.853 | 0.04073 | 0.00256 | 2.56 | 17.853 |
| 360 | 60 | 200 | 0.033 | 0.037 | 0.038 | 0.036 | 13.999 | 0.03677 | 0.0031 | 3.1 | 13.999 |
| R | 60 | 200 | 0.028 | 0.026 | 0.022 | 0.025 | 11.257 | 0.03483 | 0.00275 | 2.75 | 11.257 |

Tabla 5 Ensayo 2 Cuantificación de fenoles totales.

| Condiciones | | | Absorbancia | | | Promedio | Concentración mg/L | Extracto obtenido g | V.de MeOH 1000 ppm ml | P.extracto 1000 ppm g | Concentración mgGAE/100 g muestra seca |
|--------------|------|-------|-------------|---------|---------|----------|--------------------|---------------------|-----------------------|-----------------------|--|
| Tiempo (min) | T °C | P Bar | Señal 1 | Señal 2 | Señal 3 | | | | | | |
| 15 | 35 | 100 | 0.037 | 0.033 | 0.037 | 0.036 | 4.42 | 0.08371 | 0.0037 | 3.7 | 13.9 |
| 30 | 35 | 100 | 0.038 | 0.036 | 0.036 | 0.037 | 4.68 | 0.04089 | 0.00468 | 4.68 | 14.2 |
| 60 | 35 | 100 | 0.047 | 0.045 | 0.047 | 0.046 | 7.16 | 0.06355 | 0.005 | 5 | 16.7 |
| 120 | 35 | 100 | 0.08 | 0.078 | 0.081 | 0.08 | 15.73 | 0.02512 | 0.00422 | 4.22 | 25.2 |
| 180 | 35 | 100 | 0.095 | 0.093 | 0.097 | 0.095 | 19.67 | 0.03417 | 0.0024 | 2.4 | 29.2 |
| 240 | 35 | 100 | 0.083 | 0.083 | 0.084 | 0.083 | 16.67 | 0.04468 | 0.00474 | 4.74 | 26.2 |
| 300 | 35 | 100 | 0.094 | 0.094 | 0.095 | 0.094 | 19.5 | 0.0376 | 0.00344 | 3.44 | 29.4 |
| 360 | 35 | 100 | 0.066 | 0.066 | 0.061 | 0.064 | 11.79 | 0.03984 | 0.00322 | 3.22 | 21.3 |
| R | 35 | 100 | 0.046 | 0.046 | 0.041 | 0.044 | 6.65 | 0.0049 | 0.003 | 3 | 16.1 |
| 15 | 40 | 100 | 0.043 | 0.05 | 0.049 | 0.047 | 7.42 | 0.0494 | 0.0025 | 2.5 | 16.9 |
| 30 | 40 | 100 | 0.044 | 0.04 | 0.044 | 0.043 | 6.22 | 0.01783 | 0.00105 | 1.05 | 15.7 |
| 60 | 40 | 100 | 0.085 | 0.084 | 0.084 | 0.084 | 16.93 | 0.0462 | 0.0045 | 4.5 | 26.4 |
| 120 | 40 | 100 | 0.107 | 0.103 | 0.108 | 0.106 | 22.49 | 0.01587 | 0.0049 | 4.9 | 32.1 |

| | | | | | | | | | | | |
|-----|----|-----|-------|-------|-------|-------|-------|---------|---------|------|------|
| 180 | 40 | 100 | 0.156 | 0.151 | 0.153 | 0.153 | 34.66 | 0.01192 | 0.0027 | 2.7 | 44.2 |
| 240 | 40 | 100 | 0.118 | 0.114 | 0.107 | 0.113 | 24.29 | 0.00934 | 0.003 | 3 | 33.8 |
| 300 | 40 | 100 | 0.057 | 0.066 | 0.067 | 0.063 | 11.53 | 0.00532 | 0.005 | 5 | 21.4 |
| 360 | 40 | 100 | 0.046 | 0.043 | 0.047 | 0.045 | 6.9 | 0.01488 | 0.005 | 5 | 16.4 |
| R | 40 | 100 | 0.022 | 0.018 | 0.021 | 0.02 | 0.48 | 0.00422 | 0.0021 | 2.1 | 9.97 |
| 15 | 45 | 100 | 0.033 | 0.029 | 0.03 | 0.031 | 12.63 | 0.01474 | 0.00215 | 2.15 | 12.6 |
| 30 | 45 | 100 | 0.049 | 0.054 | 0.053 | 0.052 | 18.11 | 0.01151 | 0.00155 | 1.55 | 18.1 |
| 60 | 45 | 100 | 0.062 | 0.062 | 0.064 | 0.063 | 20.85 | 0.054 | 0.0033 | 3.3 | 20.9 |
| 120 | 45 | 100 | 0.072 | 0.073 | 0.073 | 0.073 | 23.42 | 0.04346 | 0.0036 | 3.6 | 23.4 |
| 180 | 45 | 100 | 0.089 | 0.091 | 0.093 | 0.091 | 28.13 | 0.03092 | 0.0041 | 4.1 | 28.1 |
| 240 | 45 | 100 | 0.091 | 0.093 | 0.092 | 0.092 | 28.39 | 0.01884 | 0.0039 | 3.9 | 28.4 |
| 300 | 45 | 100 | 0.074 | 0.075 | 0.069 | 0.073 | 23.42 | 0.04024 | 0.00465 | 4.65 | 23.4 |
| 360 | 45 | 100 | 0.035 | 0.037 | 0.035 | 0.036 | 13.91 | 0.02181 | 0.0037 | 3.7 | 13.9 |
| R | 45 | 100 | 0.026 | 0.027 | 0.015 | 0.023 | 10.57 | 0.01188 | 0.004 | 4 | 10.6 |
| 15 | 60 | 100 | 0.057 | 0.059 | 0.056 | 0.057 | 19.48 | 0.00996 | 0.0027 | 2.7 | 19.5 |
| 30 | 60 | 100 | 0.078 | 0.077 | 0.071 | 0.075 | 24.11 | 0.00477 | 0.0022 | 2.2 | 24.1 |
| 60 | 60 | 100 | 0.099 | 0.094 | 0.094 | 0.096 | 29.33 | 0.00485 | 0.0018 | 1.8 | 29.3 |
| 120 | 60 | 100 | 0.144 | 0.145 | 0.146 | 0.145 | 42.01 | 0.02919 | 0.00215 | 2.15 | 42.1 |
| 180 | 60 | 100 | 0.151 | 0.151 | 0.153 | 0.152 | 43.72 | 0.05541 | 0.00385 | 3.85 | 43.7 |
| 240 | 60 | 100 | 0.155 | 0.155 | 0.154 | 0.155 | 44.49 | 0.06177 | 0.0048 | 4.8 | 44.5 |
| 300 | 60 | 100 | 0.165 | 0.164 | 0.164 | 0.164 | 46.98 | 0.02254 | 0.0048 | 4.8 | 47.1 |
| 360 | 60 | 100 | 0.185 | 0.185 | 0.195 | 0.188 | 53.15 | 0.01195 | 0.0023 | 2.3 | 53.1 |
| R | 60 | 100 | 0.044 | 0.046 | 0.044 | 0.045 | 16.23 | 0.02542 | 0.0042 | 4.2 | 16.2 |
| 15 | 35 | 150 | 0.05 | 0.053 | 0.057 | 0.053 | 18.45 | 0.01674 | 0.001 | 1 | 18.5 |
| 30 | 35 | 150 | 0.078 | 0.073 | 0.076 | 0.076 | 24.19 | 0.0577 | 0.005 | 5 | 24.2 |
| 60 | 35 | 150 | 0.085 | 0.086 | 0.087 | 0.086 | 26.85 | 0.03849 | 0.0045 | 4.5 | 26.8 |
| 120 | 35 | 150 | 0.098 | 0.1 | 0.098 | 0.099 | 30.1 | 0.019 | 0.004 | 4 | 30.1 |
| 180 | 35 | 150 | 0.155 | 0.156 | 0.15 | 0.154 | 44.24 | 0.02781 | 0.003 | 3 | 44.2 |
| 240 | 35 | 150 | 0.169 | 0.172 | 0.17 | 0.17 | 48.52 | 0.0458 | 0.0023 | 2.3 | 48.5 |
| 300 | 35 | 150 | 0.099 | 0.097 | 0.098 | 0.098 | 29.93 | 0.03179 | 0.00345 | 3.45 | 29.9 |
| 360 | 35 | 150 | 0.068 | 0.066 | 0.067 | 0.067 | 21.97 | 0.05162 | 0.00471 | 4.71 | 22.1 |
| R | 35 | 150 | 0.034 | 0.032 | 0.029 | 0.032 | 12.88 | 0.05293 | 0.00285 | 2.85 | 12.9 |
| 15 | 40 | 150 | 0.038 | 0.036 | 0.039 | 0.038 | 14.43 | 0.05549 | 0.0023 | 2.3 | 14.4 |
| 30 | 40 | 150 | 0.064 | 0.069 | 0.067 | 0.067 | 21.88 | 0.05677 | 0.00189 | 1.89 | 21.9 |
| 60 | 40 | 150 | 0.079 | 0.075 | 0.077 | 0.077 | 24.53 | 0.07344 | 0.004 | 4 | 24.5 |
| 120 | 40 | 150 | 0.081 | 0.083 | 0.081 | 0.082 | 25.73 | 0.0684 | 0.004 | 4 | 25.7 |
| 180 | 40 | 150 | 0.098 | 0.094 | 0.096 | 0.096 | 29.42 | 0.03823 | 0.0042 | 4.2 | 29.4 |
| 240 | 40 | 150 | 0.098 | 0.093 | 0.097 | 0.096 | 29.42 | 0.03049 | 0.0036 | 3.6 | 29.4 |
| 300 | 40 | 150 | 0.071 | 0.075 | 0.073 | 0.073 | 23.51 | 0.07849 | 0.0038 | 3.8 | 23.5 |
| 360 | 40 | 150 | 0.034 | 0.035 | 0.038 | 0.036 | 13.91 | 0.06066 | 0.0035 | 3.5 | 13.9 |
| R | 40 | 150 | 0.019 | 0.022 | 0.024 | 0.022 | 10.32 | 0.00937 | 0.005 | 5 | 10.3 |
| 15 | 45 | 150 | 0.061 | 0.062 | 0.061 | 0.061 | 20.51 | 0.02591 | 0.005 | 5 | 20.5 |
| 30 | 45 | 150 | 0.062 | 0.062 | 0.064 | 0.063 | 20.85 | 0.02 | 0.0015 | 1.5 | 20.9 |
| 60 | 45 | 150 | 0.073 | 0.075 | 0.073 | 0.074 | 23.68 | 0.03483 | 0.0024 | 2.4 | 23.7 |
| 120 | 45 | 150 | 0.083 | 0.081 | 0.082 | 0.082 | 25.82 | 0.09426 | 0.0045 | 4.5 | 25.8 |
| 180 | 45 | 150 | 0.102 | 0.098 | 0.101 | 0.1 | 30.53 | 0.06284 | 0.0045 | 4.5 | 30.5 |
| 240 | 45 | 150 | 0.087 | 0.086 | 0.086 | 0.086 | 26.93 | 0.05019 | 0.005 | 5 | 26.9 |
| 300 | 45 | 150 | 0.063 | 0.064 | 0.063 | 0.063 | 21.02 | 0.0326 | 0.004 | 4 | 21.1 |
| 360 | 45 | 150 | 0.047 | 0.047 | 0.045 | 0.046 | 16.65 | 0.04322 | 0.005 | 5 | 16.7 |
| R | 45 | 150 | 0.019 | 0.017 | 0.019 | 0.018 | 9.46 | 0.01438 | 0.003 | 3 | 9.46 |
| 15 | 60 | 150 | 0.073 | 0.069 | 0.072 | 0.071 | 23.08 | 0.00802 | 0.0016 | 1.6 | 23.1 |
| 30 | 60 | 150 | 0.089 | 0.085 | 0.087 | 0.087 | 27.1 | 0.00791 | 0.004 | 4 | 27.1 |
| 60 | 60 | 150 | 0.1 | 0.099 | 0.098 | 0.099 | 30.19 | 0.04561 | 0.0045 | 4.5 | 30.2 |
| 120 | 60 | 150 | 0.095 | 0.094 | 0.094 | 0.094 | 28.99 | 0.06936 | 0.0045 | 4.5 | 29.1 |
| 180 | 60 | 150 | 0.112 | 0.105 | 0.107 | 0.108 | 32.5 | 0.08097 | 0.0049 | 4.9 | 32.5 |
| 240 | 60 | 150 | 0.135 | 0.125 | 0.136 | 0.132 | 38.67 | 0.04823 | 0.0035 | 3.5 | 38.7 |
| 300 | 60 | 150 | 0.102 | 0.101 | 0.102 | 0.102 | 30.87 | 0.01999 | 0.0028 | 2.8 | 30.9 |
| 360 | 60 | 150 | 0.097 | 0.098 | 0.099 | 0.098 | 29.93 | 0.0217 | 0.003 | 3 | 29.9 |
| R | 60 | 150 | 0.07 | 0.071 | 0.071 | 0.071 | 22.91 | 0.03607 | 0.004 | 4 | 22.9 |

| | | | | | | | | | | | |
|-----|----|-----|-------|-------|-------|-------|-------|---------|---------|------|-------|
| 15 | 35 | 200 | 0.028 | 0.028 | 0.029 | 0.028 | 12.03 | 0.00412 | 0.005 | 5 | 12.1 |
| 30 | 35 | 200 | 0.055 | 0.055 | 0.058 | 0.056 | 19.14 | 0.03393 | 0.0014 | 1.4 | 19.1 |
| 60 | 35 | 200 | 0.067 | 0.066 | 0.067 | 0.067 | 21.88 | 0.03319 | 0.005 | 5 | 21.9 |
| 120 | 35 | 200 | 0.074 | 0.074 | 0.075 | 0.074 | 23.85 | 0.04964 | 0.005 | 5 | 23.8 |
| 180 | 35 | 200 | 0.098 | 0.097 | 0.097 | 0.097 | 29.76 | 0.05067 | 0.004 | 4 | 29.8 |
| 240 | 35 | 200 | 0.088 | 0.086 | 0.087 | 0.087 | 27.1 | 0.03755 | 0.005 | 5 | 27.1 |
| 300 | 35 | 200 | 0.078 | 0.079 | 0.078 | 0.078 | 24.88 | 0.02826 | 0.0015 | 1.5 | 24.9 |
| 360 | 35 | 200 | 0.046 | 0.046 | 0.044 | 0.045 | 16.4 | 0.06385 | 0.0035 | 3.5 | 16.4 |
| R | 35 | 200 | 0.012 | 0.011 | 0.11 | 0.044 | 16.14 | 0.01352 | 0.0035 | 3.5 | 16.1 |
| 15 | 40 | 200 | 0.034 | 0.034 | 0.031 | 0.033 | 13.23 | 0.00278 | 0.005 | 5 | 13.2 |
| 30 | 40 | 200 | 0.058 | 0.058 | 0.061 | 0.059 | 19.91 | 0.00739 | 0.005 | 5 | 19.9 |
| 60 | 40 | 200 | 0.065 | 0.065 | 0.064 | 0.065 | 21.37 | 0.07048 | 0.0033 | 3.3 | 21.4 |
| 120 | 40 | 200 | 0.078 | 0.078 | 0.081 | 0.079 | 25.05 | 0.09123 | 0.0032 | 3.2 | 25.01 |
| 180 | 40 | 200 | 0.088 | 0.088 | 0.087 | 0.088 | 27.28 | 0.10224 | 0.004 | 4 | 27.3 |
| 240 | 40 | 200 | 0.11 | 0.108 | 0.107 | 0.108 | 32.59 | 0.19 | 0.00215 | 2.15 | 32.6 |
| 300 | 40 | 200 | 0.133 | 0.133 | 0.135 | 0.134 | 39.1 | 0.06131 | 0.0005 | 0.5 | 39.1 |
| 360 | 40 | 200 | 0.067 | 0.071 | 0.068 | 0.069 | 22.39 | 0.0757 | 0.005 | 5 | 22.4 |
| R | 40 | 200 | 0.047 | 0.047 | 0.046 | 0.047 | 16.74 | 0.00681 | 0.0038 | 3.8 | 16.7 |
| 15 | 45 | 200 | 0.067 | 0.067 | 0.066 | 0.067 | 21.88 | 0.00279 | 0.005 | 5 | 21.9 |
| 30 | 45 | 200 | 0.071 | 0.071 | 0.07 | 0.071 | 22.91 | 0.01698 | 0.005 | 5 | 22.9 |
| 60 | 45 | 200 | 0.078 | 0.078 | 0.076 | 0.077 | 24.62 | 0.03754 | 0.003 | 3 | 24.6 |
| 120 | 45 | 200 | 0.093 | 0.093 | 0.092 | 0.093 | 28.56 | 0.08155 | 0.0044 | 4.4 | 28.6 |
| 180 | 45 | 200 | 0.111 | 0.111 | 0.113 | 0.112 | 33.44 | 0.11329 | 0.0044 | 4.4 | 33.4 |
| 240 | 45 | 200 | 0.105 | 0.105 | 0.104 | 0.105 | 31.64 | 0.07366 | 0.005 | 5 | 31.6 |
| 300 | 45 | 200 | 0.086 | 0.087 | 0.086 | 0.086 | 26.93 | 0.04678 | 0.0022 | 2.2 | 26.9 |
| 360 | 45 | 200 | 0.056 | 0.056 | 0.058 | 0.057 | 19.31 | 0.05094 | 0.00185 | 1.85 | 19.3 |
| R | 45 | 200 | 0.043 | 0.043 | 0.042 | 0.043 | 15.71 | 0.00617 | 0.0045 | 4.5 | 15.7 |
| 15 | 60 | 200 | 0.053 | 0.053 | 0.052 | 0.053 | 18.28 | 0.00128 | 0.005 | 5 | 18.3 |
| 30 | 60 | 200 | 0.057 | 0.057 | 0.058 | 0.057 | 19.48 | 0.00434 | 0.0022 | 2.2 | 19.5 |
| 60 | 60 | 200 | 0.062 | 0.064 | 0.064 | 0.063 | 21.02 | 0.01788 | 0.00415 | 4.15 | 21.5 |
| 120 | 60 | 200 | 0.087 | 0.087 | 0.086 | 0.087 | 27.02 | 0.07842 | 0.0048 | 4.8 | 27.4 |
| 180 | 60 | 200 | 0.096 | 0.095 | 0.096 | 0.096 | 29.33 | 0.1007 | 0.005 | 5 | 29.3 |
| 240 | 60 | 200 | 0.1 | 0.102 | 0.102 | 0.101 | 30.79 | 0.06299 | 0.002 | 2 | 30.8 |
| 300 | 60 | 200 | 0.077 | 0.079 | 0.078 | 0.078 | 24.79 | 0.04073 | 0.0004 | 0.4 | 24.8 |
| 360 | 60 | 200 | 0.073 | 0.072 | 0.073 | 0.073 | 23.42 | 0.03677 | 0.0025 | 2.5 | 23.4 |
| R | 60 | 200 | 0.025 | 0.025 | 0.027 | 0.026 | 11.34 | 0.03483 | 0.0036 | 3.6 | 11.3 |

Anexo F. Determinación de capacidad antioxidante por el método ABTS.

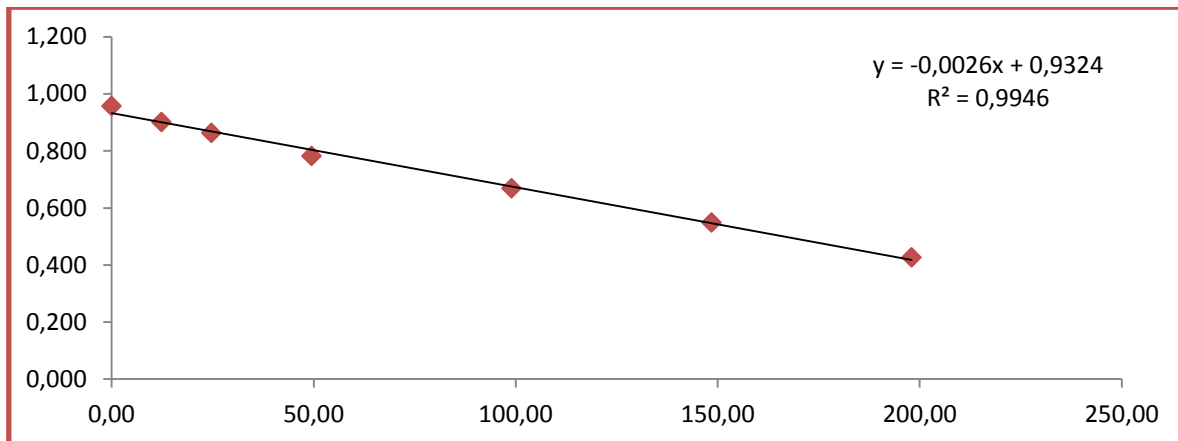
Tabla 7. Datos de curva de calibración del método ABTS.

| P. Trolox g | P. M (g/mol) | Riqueza (%) | Aforo (ml) | C. Solución patrón (μM) | | |
|---------------|--------------|------------------|------------|-------------------------|---------|----------|
| 0.0125 | 250.3 | 97 | 50 | 968.8761 | | |
| Alícuota (ml) | Aforo (ml) | C. Trolox (μmol) | Señal 1 | Señal 2 | Señal 3 | Promedio |
| 0 | 10 | 0 | 0.957 | 0.955 | 0.958 | 0.957 |
| 0.5 | 10 | 12.38 | 0.902 | 0.901 | 0.900 | 0.901 |
| 1 | 10 | 24.75 | 0.863 | 0.861 | 0.862 | 0.862 |
| 2 | 10 | 49.5 | 0.783 | 0.781 | 0.782 | 0.782 |

| | | | | | | |
|---|----|-------|-------|-------|-------|-------|
| 4 | 10 | 99 | 0.668 | 0.667 | 0.669 | 0.668 |
| 6 | 10 | 148.5 | 0.547 | 0.548 | 0.549 | 0.548 |
| 8 | 10 | 198 | 0.425 | 0.428 | 0.427 | 0.427 |

Determinación de concentración de estándares de curva de calibración

$$C1V1=C2V2 \rightarrow C2 = \frac{C1V1}{V2} \rightarrow \text{determinación estándar } 0.05 \quad C_2 = \frac{968.88 \mu\text{mol ET} \times 0.05 \text{ mL}}{10 \text{ mL}} = 12.38 \mu\text{mol ET}$$



Curva de calibración

Determinación de concentración de capacidad antioxidante en los extractos obtenidos por el método ABTS

$$\text{Ecuación de la curva. } y = -0.0026x + 0.9324 \rightarrow X = \frac{0.09324 - y}{0.0026} \rightarrow X = \frac{0.09324 - 0.863}{0.0026} = 26.84 \mu\text{mol ET/L}$$

$$26.84 \mu\text{mol/L sol} \rightarrow \frac{1 \text{ L sol}}{1000 \text{ mL sol}} \times \frac{4.7 \text{ mL sol}}{0.0047 \text{ g ext}} = 26.85 \mu\text{mol ET}$$

$$\text{gramos de muestra seca}$$

Tabla 8. Ensayo 1. Determinación de capacidad antioxidante por método ABTS.

| Condiciones | | | Absorbancia | | | Promedio | Concentración mg/L | Extracto obtenido g | V.de MeOH 1000 ppm(ml) | P.extracto 1000 ppm g | $\mu\text{mol Eq. trolox/g ext}$ |
|--------------|------|-------|-------------|---------|---------|----------|--------------------|---------------------|------------------------|-----------------------|----------------------------------|
| Tiempo (min) | T °C | P Bar | Señal 1 | Señal 2 | Señal 3 | | | | | | |
| 15 | 35 | 100 | 0.861 | 0.864 | 0.863 | 0.863 | 26.85 | 0.08371 | 0.0047 | 4.7 | 26.845 |

| | | | | | | | | | | | |
|-----|----|-----|-------|-------|-------|-------|--------|---------|---------|------|---------|
| 300 | 45 | 150 | 0.614 | 0.621 | 0.615 | 0.617 | 121.53 | 0.0326 | 0.0041 | 4.1 | 121.525 |
| 360 | 45 | 150 | 0.643 | 0.637 | 0.639 | 0.64 | 112.67 | 0.04322 | 0.00254 | 2.54 | 112.673 |
| R | 45 | 150 | 0.845 | 0.847 | 0.843 | 0.845 | 33.64 | 0.01438 | 0.002 | 2 | 33.645 |
| 15 | 60 | 150 | 0.776 | 0.779 | 0.775 | 0.777 | 59.94 | 0.00802 | 0.005 | 5 | 59.945 |
| 30 | 60 | 150 | 0.743 | 0.739 | 0.74 | 0.741 | 73.80 | 0.00791 | 0.00491 | 4.91 | 73.8 |
| 60 | 60 | 150 | 0.729 | 0.727 | 0.725 | 0.727 | 79.06 | 0.04561 | 0.004 | 4 | 79.06 |
| 120 | 60 | 150 | 0.713 | 0.713 | 0.709 | 0.712 | 84.96 | 0.06936 | 0.00333 | 3.33 | 84.962 |
| 180 | 60 | 150 | 0.606 | 0.606 | 0.607 | 0.606 | 125.50 | 0.08097 | 0.00222 | 2.22 | 125.502 |
| 240 | 60 | 150 | 0.627 | 0.643 | 0.656 | 0.642 | 111.77 | 0.04823 | 0.00392 | 3.92 | 111.775 |
| 300 | 60 | 150 | 0.76 | 0.648 | 0.765 | 0.724 | 80.09 | 0.01999 | 0.00307 | 3.07 | 80.087 |
| 360 | 60 | 150 | 0.818 | 0.815 | 0.817 | 0.817 | 44.55 | 0.0217 | 0.0021 | 2.1 | 44.55 |
| R | 60 | 150 | 0.884 | 0.883 | 0.885 | 0.884 | 18.63 | 0.03607 | 0.00403 | 4.03 | 18.634 |
| 15 | 35 | 200 | 0.775 | 0.765 | 0.776 | 0.772 | 61.74 | 0.00412 | 0.00402 | 4.02 | 61.741 |
| 30 | 35 | 200 | 0.705 | 0.707 | 0.705 | 0.706 | 87.27 | 0.03393 | 0.005 | 5 | 87.271 |
| 60 | 35 | 200 | 0.666 | 0.665 | 0.665 | 0.665 | 102.79 | 0.03319 | 0.0048 | 4.8 | 102.794 |
| 120 | 35 | 200 | 0.605 | 0.602 | 0.603 | 0.603 | 126.66 | 0.04964 | 0.00173 | 1.73 | 126.657 |
| 180 | 35 | 200 | 0.639 | 0.637 | 0.641 | 0.639 | 112.93 | 0.05067 | 0.0011 | 1.1 | 112.929 |
| 240 | 35 | 200 | 0.671 | 0.668 | 0.667 | 0.669 | 101.51 | 0.03755 | 0.0043 | 4.3 | 101.511 |
| 300 | 35 | 200 | 0.767 | 0.769 | 0.768 | 0.768 | 63.28 | 0.02826 | 0.00248 | 2.48 | 63.28 |
| 360 | 35 | 200 | 0.783 | 0.788 | 0.787 | 0.786 | 56.35 | 0.06385 | 0.00385 | 3.85 | 56.352 |
| R | 35 | 200 | 0.811 | 0.813 | 0.814 | 0.813 | 46.09 | 0.01352 | 0.00438 | 4.38 | 46.089 |
| 15 | 40 | 200 | 0.715 | 0.722 | 0.714 | 0.717 | 82.91 | 0.00278 | 0.0024 | 2.4 | 82.909 |
| 30 | 40 | 200 | 0.706 | 0.708 | 0.703 | 0.706 | 87.27 | 0.00739 | 0.004 | 4 | 87.271 |
| 60 | 40 | 200 | 0.701 | 0.702 | 0.702 | 0.702 | 88.81 | 0.07048 | 0.0032 | 3.2 | 88.81 |
| 120 | 40 | 200 | 0.671 | 0.682 | 0.679 | 0.677 | 98.18 | 0.09123 | 0.00217 | 2.17 | 98.176 |
| 180 | 40 | 200 | 0.665 | 0.668 | 0.667 | 0.667 | 102.28 | 0.10224 | 0.0031 | 3.1 | 102.281 |
| 240 | 40 | 200 | 0.723 | 0.716 | 0.716 | 0.718 | 82.40 | 0.19 | 0.00479 | 4.79 | 82.396 |
| 300 | 40 | 200 | 0.729 | 0.729 | 0.733 | 0.73 | 77.78 | 0.06131 | 0.0031 | 3.1 | 77.777 |
| 360 | 40 | 200 | 0.831 | 0.833 | 0.827 | 0.83 | 39.29 | 0.0757 | 0.0037 | 3.7 | 39.29 |
| R | 40 | 200 | 0.869 | 0.866 | 0.863 | 0.866 | 25.56 | 0.00681 | 0.00387 | 3.87 | 25.562 |
| 15 | 45 | 200 | 0.711 | 0.716 | 0.715 | 0.714 | 84.06 | 0.00279 | 0.002 | 2 | 84.064 |
| 30 | 45 | 200 | 0.708 | 0.705 | 0.704 | 0.706 | 87.27 | 0.01698 | 0.00267 | 2.67 | 87.271 |
| 60 | 45 | 200 | 0.699 | 0.691 | 0.688 | 0.693 | 92.27 | 0.03754 | 0.0029 | 2.9 | 92.274 |
| 120 | 45 | 200 | 0.667 | 0.665 | 0.663 | 0.665 | 102.92 | 0.08155 | 0.00403 | 4.03 | 102.923 |
| 180 | 45 | 200 | 0.607 | 0.606 | 0.606 | 0.606 | 125.50 | 0.11329 | 0.00281 | 2.81 | 125.502 |
| 240 | 45 | 200 | 0.738 | 0.741 | 0.743 | 0.741 | 73.80 | 0.07366 | 0.0045 | 4.5 | 73.8 |
| 300 | 45 | 200 | 0.785 | 0.783 | 0.782 | 0.783 | 57.38 | 0.04678 | 0.0037 | 3.7 | 57.379 |
| 360 | 45 | 200 | 0.786 | 0.781 | 0.787 | 0.785 | 56.87 | 0.05094 | 0.00492 | 4.92 | 56.866 |
| R | 45 | 200 | 0.879 | 0.867 | 0.883 | 0.876 | 21.59 | 0.00617 | 0.00412 | 4.12 | 21.585 |
| 15 | 60 | 200 | 0.768 | 0.769 | 0.7 | 0.746 | 71.88 | 0.00128 | 0.00275 | 2.75 | 71.876 |
| 30 | 60 | 200 | 0.73 | 0.735 | 0.733 | 0.733 | 76.88 | 0.00434 | 0.0033 | 3.3 | 76.879 |
| 60 | 60 | 200 | 0.731 | 0.737 | 0.734 | 0.734 | 76.37 | 0.01788 | 0.00255 | 2.55 | 76.366 |
| 120 | 60 | 200 | 0.713 | 0.722 | 0.719 | 0.718 | 82.52 | 0.07842 | 0.00484 | 4.84 | 82.524 |
| 180 | 60 | 200 | 0.693 | 0.689 | 0.699 | 0.694 | 91.89 | 0.1007 | 0.00452 | 4.52 | 91.889 |
| 240 | 60 | 200 | 0.671 | 0.671 | 0.668 | 0.67 | 101.00 | 0.06299 | 0.00451 | 4.51 | 100.998 |
| 300 | 60 | 200 | 0.737 | 0.727 | 0.734 | 0.733 | 76.88 | 0.04073 | 0.00256 | 2.56 | 76.879 |
| 360 | 60 | 200 | 0.732 | 0.739 | 0.739 | 0.737 | 75.34 | 0.03677 | 0.0031 | 3.1 | 75.34 |
| R | 60 | 200 | 0.818 | 0.817 | 0.816 | 0.817 | 44.42 | 0.03483 | 0.00275 | 2.75 | 44.421 |

Tabla 9. Ensayo 2. Determinación de capacidad antioxidante por método ABTS.

| Condiciones | | | Absorbancia | | | Promedio | Concentración mg/L | Extracto obtenido g | V.de MeOH 1000 ppm(ml) | P.extracto 1000 ppm g | μmol Eq. trolox/g ext |
|--------------|------|-------|-------------|---------|---------|----------|--------------------|---------------------|------------------------|-----------------------|-----------------------|
| Tiempo (min) | T °C | P Bar | Señal 1 | Señal 2 | Señal 3 | | | | | | |
| 15 | 35 | 100 | 0.867 | 0.872 | 0.861 | 0.867 | 253.056.576 | 0.01502 | 0.0037 | 3.7 | 25.306 |
| 30 | 35 | 100 | 0.865 | 0.863 | 0.86 | 0.863 | 268.451.678 | 0.01619 | 0.00468 | 4.68 | 26.845 |
| 60 | 35 | 100 | 0.733 | 0.738 | 0.737 | 0.736 | 755.963.246 | 0.03116 | 0.005 | 5 | 75.596 |
| 120 | 35 | 100 | 0.725 | 0.722 | 0.728 | 0.725 | 798.299.777 | 0.05568 | 0.00422 | 4.22 | 79.83 |
| 180 | 35 | 100 | 0.789 | 0.781 | 0.783 | 0.784 | 569.939.095 | 0.07514 | 0.0024 | 2.4 | 56.994 |
| 240 | 35 | 100 | 0.671 | 0.675 | 0.678 | 0.675 | 992.021.478 | 0.10916 | 0.00474 | 4.74 | 99.202 |
| 300 | 35 | 100 | 0.632 | 0.633 | 0.636 | 0.634 | 114.982.128 | 0.05763 | 0.00344 | 3.44 | 114.982 |
| 360 | 35 | 100 | 0.801 | 0.805 | 0.809 | 0.805 | 490.397.734 | 0.03984 | 0.00322 | 3.22 | 49.04 |
| R | 35 | 100 | 0.829 | 0.828 | 0.825 | 0.827 | 404.441.747 | 0.02624 | 0.003 | 3 | 40.444 |
| 15 | 40 | 100 | 0.851 | 0.847 | 0.845 | 0.848 | 326.183.311 | 0.01396 | 0.0025 | 2.5 | 32.618 |
| 30 | 40 | 100 | 0.837 | 0.839 | 0.831 | 0.836 | 372.368.618 | 0.02386 | 0.00105 | 1.05 | 37.237 |
| 60 | 40 | 100 | 0.765 | 0.767 | 0.763 | 0.765 | 644.348.755 | 0.03577 | 0.0045 | 4.5 | 64.435 |
| 120 | 40 | 100 | 0.721 | 0.719 | 0.723 | 0.721 | 813.694.879 | 0.04437 | 0.0049 | 4.9 | 81.369 |
| 180 | 40 | 100 | 0.715 | 0.718 | 0.717 | 0.717 | 830.372.906 | 0.04114 | 0.0027 | 2.7 | 83.037 |
| 240 | 40 | 100 | 0.711 | 0.71 | 0.717 | 0.713 | 845.768.008 | 0.07405 | 0.003 | 3 | 84.577 |
| 300 | 40 | 100 | 0.755 | 0.753 | 0.75 | 0.753 | 691.816.987 | 0.09357 | 0.005 | 5 | 69.182 |
| 360 | 40 | 100 | 0.792 | 0.795 | 0.798 | 0.795 | 528.885.489 | 0.03155 | 0.005 | 5 | 52.889 |
| R | 40 | 100 | 0.878 | 0.881 | 0.877 | 0.879 | 20.687.127 | 0.06011 | 0.0021 | 2.1 | 20.687 |
| 15 | 45 | 100 | 0.825 | 0.823 | 0.821 | 0.823 | 421.119.775 | 0.01309 | 0.00215 | 2.15 | 42.112 |
| 30 | 45 | 100 | 0.807 | 0.803 | 0.805 | 0.805 | 490.397.734 | 0.0133 | 0.00155 | 1.55 | 49.04 |
| 60 | 45 | 100 | 0.789 | 0.785 | 0.787 | 0.787 | 559.675.694 | 0.0338 | 0.0033 | 3.3 | 55.968 |
| 120 | 45 | 100 | 0.735 | 0.737 | 0.733 | 0.735 | 759.812.021 | 0.03086 | 0.0036 | 3.6 | 75.981 |
| 180 | 45 | 100 | 0.672 | 0.673 | 0.671 | 0.672 | 100.228.488 | 0.03817 | 0.0041 | 4.1 | 100.228 |
| 240 | 45 | 100 | 0.701 | 0.707 | 0.703 | 0.704 | 880.406.988 | 0.06376 | 0.0039 | 3.9 | 88.041 |
| 300 | 45 | 100 | 0.794 | 0.797 | 0.793 | 0.795 | 530.168.415 | 0.04538 | 0.00465 | 4.65 | 53.017 |
| 360 | 45 | 100 | 0.844 | 0.843 | 0.841 | 0.843 | 345.427.189 | 0.07764 | 0.0037 | 3.7 | 34.543 |
| R | 45 | 100 | 0.879 | 0.877 | 0.875 | 0.877 | 213.285.896 | 0.05482 | 0.004 | 4 | 21.329 |
| 15 | 60 | 100 | 0.843 | 0.845 | 0.847 | 0.845 | 336.446.713 | 0.0185 | 0.0027 | 2.7 | 33.645 |
| 30 | 60 | 100 | 0.805 | 0.805 | 0.802 | 0.804 | 49.424.651 | 0.01928 | 0.0022 | 2.2 | 49.425 |
| 60 | 60 | 100 | 0.801 | 0.803 | 0.801 | 0.802 | 503.226.986 | 0.01672 | 0.0018 | 1.8 | 50.323 |
| 120 | 60 | 100 | 0.742 | 0.747 | 0.745 | 0.745 | 722.607.191 | 0.02103 | 0.00215 | 2.15 | 72.261 |
| 180 | 60 | 100 | 0.701 | 0.703 | 0.702 | 0.702 | 886.821.614 | 0.143 | 0.00385 | 3.85 | 88.682 |
| 240 | 60 | 100 | 0.737 | 0.736 | 0.738 | 0.737 | 75.211.447 | 0.21579 | 0.0048 | 4.8 | 75.211 |
| 300 | 60 | 100 | 0.787 | 0.778 | 0.722 | 0.762 | 654.612.157 | 0.05336 | 0.0048 | 4.8 | 65.461 |
| 360 | 60 | 100 | 0.879 | 0.883 | 0.881 | 0.881 | 197.890.794 | 0.02239 | 0.0023 | 2.3 | 19.789 |
| R | 60 | 100 | 0.876 | 0.873 | 0.873 | 0.874 | 224.832.222 | 0.03027 | 0.0042 | 4.2 | 22.483 |
| 15 | 35 | 150 | 0.815 | 0.812 | 0.811 | 0.813 | 460.890.455 | 0.01304 | 0.001 | 1 | 46.089 |
| 30 | 35 | 150 | 0.807 | 0.806 | 0.805 | 0.806 | 486.548.959 | 0.01128 | 0.005 | 5 | 48.655 |
| 60 | 35 | 150 | 0.801 | 0.803 | 0.801 | 0.802 | 503.226.986 | 0.05335 | 0.0045 | 4.5 | 50.323 |
| 120 | 35 | 150 | 0.762 | 0.763 | 0.765 | 0.763 | 650.763.381 | 0.04512 | 0.004 | 4 | 65.076 |
| 180 | 35 | 150 | 0.743 | 0.741 | 0.745 | 0.743 | 729.021.817 | 0.11065 | 0.003 | 3 | 72.902 |
| 240 | 35 | 150 | 0.689 | 0.683 | 0.685 | 0.686 | 949.684.948 | 0.12377 | 0.0023 | 2.3 | 94.968 |
| 300 | 35 | 150 | 0.787 | 0.777 | 0.785 | 0.783 | 575.070.796 | 0.02124 | 0.00345 | 3.45 | 57.507 |
| 360 | 35 | 150 | 0.905 | 0.901 | 0.903 | 0.903 | 113.217.732 | 0.01075 | 0.00471 | 4.71 | 11.322 |

| | | | | | | | | | | | |
|-----|----|-----|-------|-------|-------|-------|-------------|---------|--------|-----|---------|
| 180 | 60 | 200 | 0.601 | 0.608 | 0.604 | 0.604 | 126.271.869 | 0.13595 | 0.005 | 5 | 91.889 |
| 240 | 60 | 200 | 0.689 | 0.686 | 0.685 | 0.687 | 945.836.172 | 0.07454 | 0.002 | 2 | 100.998 |
| 300 | 60 | 200 | 0.742 | 0.745 | 0.746 | 0.744 | 723.890.116 | 0.02677 | 0.0004 | 0.4 | 76.879 |
| 360 | 60 | 200 | 0.779 | 0.78 | 0.781 | 0.78 | 586.617.122 | 0.01969 | 0.0025 | 2.5 | 75.34 |
| R | 60 | 200 | 0.825 | 0.823 | 0.829 | 0.826 | 410.856.373 | 0.00266 | 0.0036 | 3.6 | 44.421 |

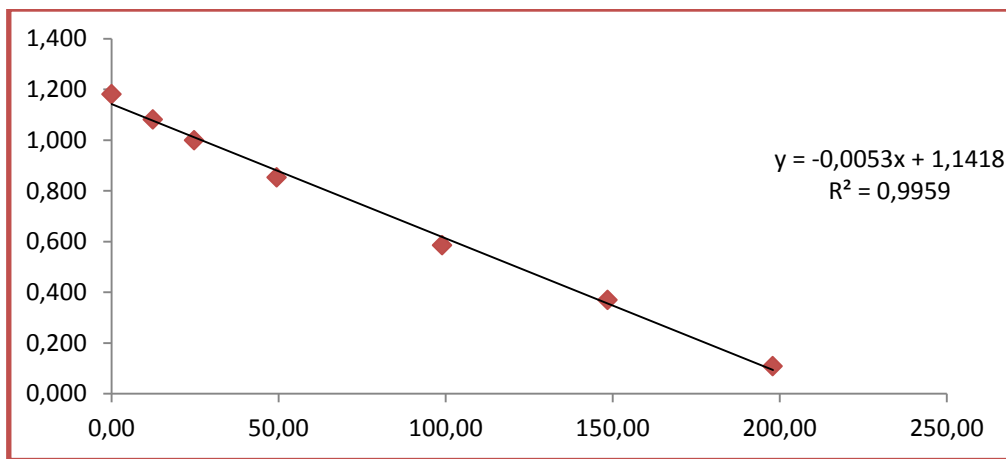
Anexo G. Determinación de capacidad antioxidante por el método DPPH.

Tabla 10. Datos de curva de calibración del método DPPH.

| P. Trolox g | | P. M (g/mol) | Riqueza (%) | Aforo (ml) | C. Solución patrón (μM) | |
|--------------|------------|---------------------|-------------|------------|-------------------------|----------|
| 0.0250 | | 250.3 | 97 | 100 | 968.87 | |
| Alícuota (m) | Aforo (ml) | C. Trolox (μmol/ET) | Señal 1 | Señal 2 | Señal 3 | Promedio |
| 0 | 10 | 0.00 | 1.180 | 1.182 | 1.181 | 1.181 |
| 0.5 | 10 | 12.38 | 1.082 | 1.081 | 1.080 | 1.081 |
| 1 | 10 | 24.75 | 0.999 | 0.998 | 1.000 | 0.999 |
| 2 | 10 | 49.50 | 0.854 | 0.851 | 0.853 | 0.853 |
| 4 | 10 | 99.00 | 0.627 | 0.500 | 0.629 | 0.585 |
| 6 | 10 | 148.50 | 0.393 | 0.345 | 0.371 | 0.370 |
| 8 | 10 | 198.00 | 0.108 | 0.107 | 0.109 | 0.108 |

Determinación de concentración de estándares de curva de calibración

$$C1V1 = C2V2 \rightarrow C2 = \frac{C1V1}{V2} \rightarrow \text{determinación estándar } 0.05 \text{ } C_2 = \frac{968.88 \mu\text{mol ET} \times 0.05 \text{ mL}}{10 \text{ mL}} = 12.38 \mu\text{mol ET}$$



Determinación de concentración de capacidad antioxidante en los extractos obtenidos por el método DPPH

$$\text{Ecuación de la curva. } y = -0,0053x + 1,1418 \rightarrow x = \frac{1,1141 - y}{0,0053} \rightarrow x = \frac{1,1141 - 0,863}{0,0053} = 52,74 \mu\text{mol ET/L}$$

$$52.74 \mu\text{mol} \frac{\text{ET}}{L} \frac{1 \text{ L sol}}{1000 \text{ mL sol}} \times \frac{4.7 \text{ mL sol}}{0.0047 \text{ g ext}} = 52.7 \mu\text{mol} \frac{\text{ET}}{\text{gramos de muestra seca}}$$

Tabla 11. Ensayo 1. Determinación de capacidad antioxidante por método DPPH.

| Condiciones | | | Absorbancia | | | Promedio | Concentración mg/L | Extracto obtenido g | V de MeOH 1000 ppm(ml) | P.extracto 1000 ppm g | $\mu\text{mol Eq. trolox/g ext}$ |
|--------------|------|-------|-------------|---------|---------|----------|--------------------|---------------------|------------------------|-----------------------|----------------------------------|
| Tiempo (min) | T °C | P Bar | Señal 1 | Señal 2 | Señal 3 | | | | | | |
| 15 | 35 | 100 | 0.86 | 0.863 | 0.865 | 0.863 | 52.748 | 0.08371 | 0.0047 | 4.7 | 52.748 |
| 30 | 35 | 100 | 0.841 | 0.845 | 0.843 | 0.843 | 56.464 | 0.04089 | 0.0043 | 4.3 | 56.464 |
| 60 | 35 | 100 | 0.815 | 0.811 | 0.813 | 0.813 | 62.133 | 0.06355 | 0.0028 | 2.8 | 62.133 |
| 120 | 35 | 100 | 0.807 | 0.805 | 0.808 | 0.807 | 63.33 | 0.02512 | 0.00272 | 2.72 | 63.33 |
| 180 | 35 | 100 | 0.827 | 0.823 | 0.822 | 0.824 | 60.054 | 0.03417 | 0.00191 | 1.91 | 60.054 |
| 240 | 35 | 100 | 0.833 | 0.835 | 0.833 | 0.834 | 58.228 | 0.04468 | 0.0028 | 2.8 | 58.228 |
| 300 | 35 | 100 | 0.837 | 0.834 | 0.837 | 0.836 | 57.787 | 0.0376 | 0.00238 | 2.38 | 57.787 |
| 360 | 35 | 100 | 0.843 | 0.841 | 0.84 | 0.841 | 56.779 | 0.03984 | 0.00322 | 3.22 | 56.779 |
| R | 35 | 100 | 0.845 | 0.841 | 0.842 | 0.843 | 56.527 | 0.0049 | 0.0049 | 4.9 | 56.527 |
| 15 | 40 | 100 | 0.833 | 0.833 | 0.829 | 0.832 | 58.606 | 0.0494 | 0.0043 | 4.3 | 58.606 |
| 30 | 40 | 100 | 0.825 | 0.824 | 0.823 | 0.824 | 60.054 | 0.01783 | 0.00153 | 1.53 | 60.054 |
| 60 | 40 | 100 | 0.819 | 0.817 | 0.818 | 0.818 | 61.188 | 0.0462 | 0.0043 | 4.3 | 61.188 |
| 120 | 40 | 100 | 0.811 | 0.811 | 0.811 | 0.811 | 62.511 | 0.01587 | 0.002 | 2 | 62.511 |
| 180 | 40 | 100 | 0.8 | 0.802 | 0.8 | 0.801 | 64.464 | 0.01192 | 0.0013 | 1.3 | 64.464 |
| 240 | 40 | 100 | 0.81 | 0.811 | 0.813 | 0.811 | 62.448 | 0.00934 | 0.00434 | 4.34 | 62.448 |
| 300 | 40 | 100 | 0.822 | 0.824 | 0.822 | 0.823 | 60.306 | 0.00532 | 0.00135 | 1.35 | 60.306 |
| 360 | 40 | 100 | 0.825 | 0.825 | 0.826 | 0.825 | 59.802 | 0.01488 | 0.00135 | 1.35 | 59.802 |
| R | 40 | 100 | 0.829 | 0.829 | 0.833 | 0.83 | 58.858 | 0.00422 | 0.00422 | 4.22 | 58.858 |
| 15 | 45 | 100 | 0.816 | 0.817 | 0.823 | 0.819 | 61.062 | 0.01474 | 0.00185 | 1.85 | 61.062 |
| 30 | 45 | 100 | 0.819 | 0.821 | 0.817 | 0.819 | 60.999 | 0.01151 | 0.00182 | 1.82 | 60.999 |
| 60 | 45 | 100 | 0.817 | 0.813 | 0.815 | 0.815 | 61.755 | 0.05426 | 0.00425 | 4.25 | 61.755 |
| 120 | 45 | 100 | 0.813 | 0.812 | 0.81 | 0.812 | 62.385 | 0.04346 | 0.00381 | 3.81 | 62.385 |
| 180 | 45 | 100 | 0.8 | 0.803 | 0.8 | 0.801 | 64.401 | 0.03092 | 0.00275 | 2.75 | 64.401 |
| 240 | 45 | 100 | 0.811 | 0.815 | 0.813 | 0.813 | 62.133 | 0.01884 | 0.00138 | 1.38 | 62.133 |
| 300 | 45 | 100 | 0.829 | 0.825 | 0.827 | 0.827 | 59.487 | 0.04024 | 0.0033 | 3.3 | 59.487 |
| 360 | 45 | 100 | 0.834 | 0.833 | 0.838 | 0.835 | 57.976 | 0.02181 | 0.0016 | 1.6 | 57.976 |
| R | 45 | 100 | 0.846 | 0.849 | 0.846 | 0.847 | 55.708 | 0.01188 | 0.00194 | 1.94 | 55.708 |
| 15 | 60 | 100 | 0.833 | 0.827 | 0.823 | 0.828 | 59.362 | 0.00996 | 0.00496 | 4.96 | 59.362 |
| 30 | 60 | 100 | 0.82 | 0.821 | 0.822 | 0.821 | 60.621 | 0.00477 | 0.00477 | 4.77 | 60.621 |
| 60 | 60 | 100 | 0.823 | 0.819 | 0.818 | 0.82 | 60.81 | 0.00485 | 0.00485 | 4.85 | 60.81 |
| 120 | 60 | 100 | 0.816 | 0.817 | 0.815 | 0.816 | 61.566 | 0.02919 | 0.00355 | 3.55 | 61.566 |
| 180 | 60 | 100 | 0.815 | 0.813 | 0.811 | 0.813 | 62.133 | 0.05541 | 0.00315 | 3.15 | 62.133 |
| 240 | 60 | 100 | 0.818 | 0.817 | 0.817 | 0.817 | 61.314 | 0.06177 | 0.00298 | 2.98 | 61.314 |
| 300 | 60 | 100 | 0.835 | 0.837 | 0.838 | 0.837 | 57.661 | 0.02254 | 0.00346 | 3.46 | 57.661 |
| 360 | 60 | 100 | 0.851 | 0.859 | 0.853 | 0.854 | 54.322 | 0.01195 | 0.00295 | 2.95 | 54.322 |
| R | 60 | 100 | 0.864 | 0.863 | 0.861 | 0.863 | 52.748 | 0.02542 | 0.00255 | 2.55 | 52.748 |
| 15 | 35 | 150 | 0.818 | 0.816 | 0.817 | 0.817 | 61.377 | 0.01674 | 0.005 | 5 | 61.377 |
| 30 | 35 | 150 | 0.812 | 0.813 | 0.812 | 0.812 | 62.259 | 0.0577 | 0.00419 | 4.19 | 62.259 |
| 60 | 35 | 150 | 0.809 | 0.809 | 0.807 | 0.808 | 63.015 | 0.03849 | 0.00321 | 3.21 | 63.015 |
| 120 | 35 | 150 | 0.8 | 0.802 | 0.801 | 0.801 | 64.401 | 0.019 | 0.00174 | 1.74 | 64.401 |
| 180 | 35 | 150 | 0.797 | 0.799 | 0.796 | 0.797 | 65.094 | 0.02781 | 0.00276 | 2.76 | 65.094 |
| 240 | 35 | 150 | 0.814 | 0.816 | 0.814 | 0.815 | 61.818 | 0.0458 | 0.00387 | 3.87 | 61.818 |
| 300 | 35 | 150 | 0.825 | 0.825 | 0.828 | 0.826 | 59.676 | 0.03179 | 0.002 | 2 | 59.676 |
| 360 | 35 | 150 | 0.833 | 0.835 | 0.833 | 0.834 | 58.228 | 0.05162 | 0.00353 | 3.53 | 58.228 |
| R | 35 | 150 | 0.837 | 0.837 | 0.839 | 0.838 | 57.472 | 0.05293 | 0.00233 | 2.33 | 57.472 |

| | | | | | | | | | | | |
|-----|----|-----|-------|-------|-------|-------|--------|---------|---------|------|--------|
| 240 | 60 | 200 | 0.781 | 0.783 | 0.78 | 0.781 | 68.117 | 0.06299 | 0.00451 | 4.51 | 68.117 |
| 300 | 60 | 200 | 0.799 | 0.799 | 0.795 | 0.798 | 65.031 | 0.04073 | 0.00256 | 2.56 | 65.031 |
| 360 | 60 | 200 | 0.801 | 0.803 | 0.804 | 0.803 | 64.086 | 0.03677 | 0.0031 | 3.1 | 64.086 |
| R | 60 | 200 | 0.809 | 0.812 | 0.813 | 0.811 | 62.448 | 0.03483 | 0.00275 | 2.75 | 62.448 |

Tabla 2. Ensayo 2. Determinación de capacidad antioxidante por método DPPH.

| Condiciones | | | Absorbancia | | | Promedio | Concentración mg/L | Extracto obtenido g | V.de MeOH 1000 ppm(ml) | P.extracto 1000 ppm g | μmol Eq. troloxg ext |
|--------------|------|-------|-------------|---------|---------|----------|--------------------|---------------------|------------------------|-----------------------|----------------------|
| Tiempo (min) | T °C | P Bar | Señal 1 | Señal 2 | Señal 3 | | | | | | |
| 15 | 35 | 100 | 0.876 | 0.876 | 0.875 | 0.876 | 50.291 | 0.01502 | 0.0037 | 3.7 | 50.291 |
| 30 | 35 | 100 | 0.851 | 0.857 | 0.851 | 0.853 | 54.574 | 0.01619 | 0.00468 | 4.68 | 54.574 |
| 60 | 35 | 100 | 0.825 | 0.821 | 0.823 | 0.823 | 60.243 | 0.03116 | 0.005 | 5 | 60.243 |
| 120 | 35 | 100 | 0.801 | 0.801 | 0.803 | 0.802 | 64.275 | 0.05568 | 0.00422 | 4.22 | 64.275 |
| 180 | 35 | 100 | 0.817 | 0.815 | 0.816 | 0.816 | 61.566 | 0.07514 | 0.0024 | 2.4 | 61.566 |
| 240 | 35 | 100 | 0.823 | 0.827 | 0.828 | 0.826 | 59.676 | 0.10916 | 0.00474 | 4.74 | 59.676 |
| 300 | 35 | 100 | 0.839 | 0.84 | 0.839 | 0.839 | 57.157 | 0.05763 | 0.00344 | 3.44 | 57.157 |
| 360 | 35 | 100 | 0.849 | 0.847 | 0.846 | 0.847 | 55.645 | 0.03984 | 0.00322 | 3.22 | 55.645 |
| R | 35 | 100 | 0.857 | 0.853 | 0.855 | 0.855 | 54.196 | 0.02624 | 0.003 | 3 | 54.196 |
| 15 | 40 | 100 | 0.873 | 0.871 | 0.872 | 0.872 | 50.984 | 0.01396 | 0.0025 | 2.5 | 50.984 |
| 30 | 40 | 100 | 0.815 | 0.817 | 0.816 | 0.816 | 61.566 | 0.02386 | 0.00105 | 1.05 | 61.566 |
| 60 | 40 | 100 | 0.811 | 0.81 | 0.807 | 0.809 | 62.826 | 0.03577 | 0.0045 | 4.5 | 62.826 |
| 120 | 40 | 100 | 0.803 | 0.801 | 0.803 | 0.802 | 64.149 | 0.04437 | 0.0049 | 4.9 | 64.149 |
| 180 | 40 | 100 | 0.798 | 0.796 | 0.799 | 0.798 | 65.031 | 0.04114 | 0.0027 | 2.7 | 65.031 |
| 240 | 40 | 100 | 0.801 | 0.804 | 0.806 | 0.804 | 63.897 | 0.07405 | 0.003 | 3 | 63.897 |
| 300 | 40 | 100 | 0.812 | 0.818 | 0.816 | 0.815 | 61.692 | 0.09357 | 0.005 | 5 | 61.692 |
| 360 | 40 | 100 | 0.83 | 0.83 | 0.833 | 0.831 | 58.732 | 0.03155 | 0.005 | 5 | 58.732 |
| R | 40 | 100 | 0.839 | 0.835 | 0.837 | 0.837 | 57.598 | 0.06011 | 0.0021 | 2.1 | 57.598 |
| 15 | 45 | 100 | 0.886 | 0.889 | 0.887 | 0.887 | 48.086 | 0.01309 | 0.00215 | 2.15 | 48.086 |
| 30 | 45 | 100 | 0.839 | 0.84 | 0.84 | 0.84 | 57.094 | 0.0133 | 0.00155 | 1.55 | 57.094 |
| 60 | 45 | 100 | 0.827 | 0.823 | 0.827 | 0.826 | 59.739 | 0.0338 | 0.0033 | 3.3 | 59.739 |
| 120 | 45 | 100 | 0.817 | 0.814 | 0.815 | 0.815 | 61.692 | 0.03086 | 0.0036 | 3.6 | 61.692 |
| 180 | 45 | 100 | 0.8 | 0.803 | 0.801 | 0.801 | 64.338 | 0.03817 | 0.0041 | 4.1 | 64.338 |
| 240 | 45 | 100 | 0.815 | 0.812 | 0.813 | 0.813 | 62.07 | 0.06376 | 0.0039 | 3.9 | 62.07 |
| 300 | 45 | 100 | 0.839 | 0.837 | 0.836 | 0.837 | 57.535 | 0.04538 | 0.00465 | 4.65 | 57.535 |
| 360 | 45 | 100 | 0.844 | 0.841 | 0.84 | 0.842 | 56.716 | 0.07764 | 0.0037 | 3.7 | 56.716 |
| R | 45 | 100 | 0.856 | 0.86 | 0.859 | 0.858 | 53.566 | 0.05482 | 0.004 | 4 | 53.566 |
| 15 | 60 | 100 | 0.873 | 0.877 | 0.873 | 0.874 | 50.543 | 0.0185 | 0.0027 | 2.7 | 50.543 |
| 30 | 60 | 100 | 0.862 | 0.862 | 0.86 | 0.861 | 53 | 0.01928 | 0.0022 | 2.2 | 53 |
| 60 | 60 | 100 | 0.833 | 0.837 | 0.834 | 0.835 | 58.039 | 0.01672 | 0.0018 | 1.8 | 58.039 |
| 120 | 60 | 100 | 0.826 | 0.826 | 0.824 | 0.825 | 59.802 | 0.02103 | 0.00215 | 2.15 | 59.802 |
| 180 | 60 | 100 | 0.816 | 0.819 | 0.816 | 0.817 | 61.377 | 0.143 | 0.00385 | 3.85 | 61.377 |
| 240 | 60 | 100 | 0.825 | 0.822 | 0.827 | 0.825 | 59.928 | 0.21579 | 0.0048 | 4.8 | 59.928 |
| 300 | 60 | 100 | 0.845 | 0.84 | 0.838 | 0.841 | 56.842 | 0.05336 | 0.0048 | 4.8 | 56.842 |
| 360 | 60 | 100 | 0.853 | 0.854 | 0.857 | 0.855 | 54.259 | 0.02239 | 0.0023 | 2.3 | 54.259 |
| R | 60 | 100 | 0.867 | 0.865 | 0.861 | 0.864 | 52.433 | 0.03027 | 0.0042 | 4.2 | 52.433 |
| 15 | 35 | 150 | 0.878 | 0.879 | 0.877 | 0.878 | 49.85 | 0.01304 | 0.001 | 1 | 49.85 |
| 30 | 35 | 150 | 0.832 | 0.836 | 0.832 | 0.833 | 58.291 | 0.01128 | 0.005 | 5 | 58.291 |
| 60 | 35 | 150 | 0.819 | 0.819 | 0.817 | 0.818 | 61.125 | 0.05335 | 0.0045 | 4.5 | 61.125 |

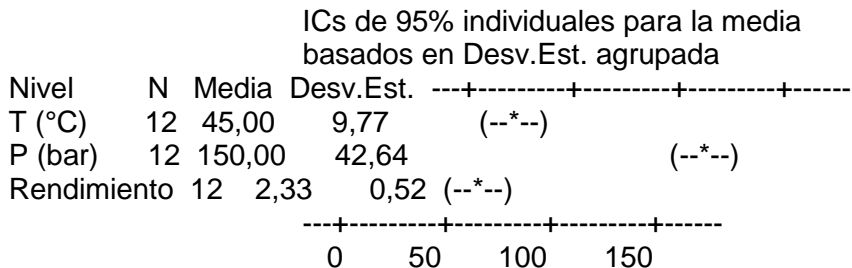
| | | | | | | | | | | | |
|-----|----|-----|-------|-------|-------|-------|--------|---------|---------|------|--------|
| R | 45 | 200 | 0.812 | 0.811 | 0.814 | 0.812 | 62.259 | 0.03116 | 0.0045 | 4.5 | 62.259 |
| 15 | 60 | 200 | 0.801 | 0.801 | 0.803 | 0.802 | 64.275 | 0.01019 | 0.005 | 5 | 64.275 |
| 30 | 60 | 200 | 0.785 | 0.785 | 0.787 | 0.786 | 67.298 | 0.01112 | 0.0022 | 2.2 | 67.298 |
| 60 | 60 | 200 | 0.745 | 0.745 | 0.748 | 0.746 | 74.794 | 0.03281 | 0.00415 | 4.15 | 74.794 |
| 120 | 60 | 200 | 0.729 | 0.729 | 0.727 | 0.728 | 78.133 | 0.06902 | 0.0048 | 4.8 | 78.133 |
| 180 | 60 | 200 | 0.701 | 0.701 | 0.703 | 0.702 | 83.172 | 0.13595 | 0.005 | 5 | 83.172 |
| 240 | 60 | 200 | 0.741 | 0.741 | 0.748 | 0.743 | 75.298 | 0.07454 | 0.002 | 2 | 75.298 |
| 300 | 60 | 200 | 0.789 | 0.799 | 0.795 | 0.794 | 65.661 | 0.02677 | 0.0004 | 0.4 | 65.661 |
| 360 | 60 | 200 | 0.805 | 0.803 | 0.804 | 0.804 | 63.834 | 0.01969 | 0.0025 | 2.5 | 63.834 |
| R | 60 | 200 | 0.811 | 0.812 | 0.813 | 0.812 | 62.322 | 0.00266 | 0.0036 | 3.6 | 62.322 |

Anexo H. Análisis estadístico

ANOVA unidireccional: Rendimiento vs. Tiempo

| Fuente | GL | SC | MC | F | P |
|--------|----|--------|-------|--------|-------|
| Factor | 2 | 138606 | 69303 | 108,63 | 0,000 |
| Error | 33 | 21053 | 638 | | |
| Total | 35 | 159659 | | | |

S = 25,26 R-cuad. = 86,81% R-cuad.(ajustado) = 86,01%



Desv.Est. agrupada = 25,26

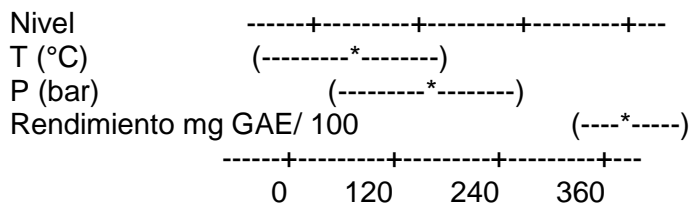
ANOVA unidireccional: Contenido de Fenoles Totales vs. Presión y Temperatura

| Fuente | GL | SC | MC | F | P |
|--------|----|---------|--------|------|-------|
| Factor | 2 | 474721 | 237360 | 6,01 | 0,004 |
| Error | 55 | 2171124 | 39475 | | |
| Total | 57 | 2645845 | | | |

S = 198,7 R-cuad. = 17,94% R-cuad.(ajustado) = 14,96%

| Nivel | N | Media | Desv.Est. |
|------------------------|----|-------|-----------|
| T (°C) | 12 | 45,0 | 9,8 |
| P (bar) | 12 | 150,0 | 42,6 |
| Rendimiento mg GAE/100 | 34 | 267,9 | 255,3 |

ICs de 95% individuales para la media
basados en Desv.Est. agrupada



Desv.Est. agrupada = 198,7

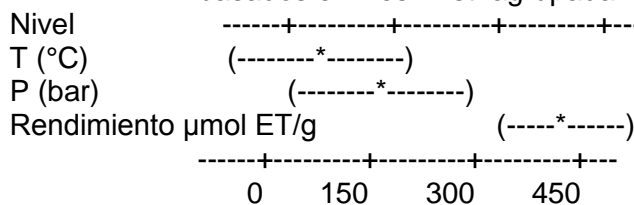
ANOVA unidireccional: Capacidad antioxidante por método ABTS vs. Presión y Temperatura

| Fuente | GL | SC | MC | F | P |
|--------|----|---------|--------|------|-------|
| Factor | 2 | 571124 | 285562 | 5,77 | 0,006 |
| Error | 44 | 2176331 | 49462 | | |
| Total | 46 | 2747456 | | | |

S = 222,4 R-cuad. = 20,79% R-cuad.(ajustado) = 17,19%

| Nivel | N | Media | Desv.Est. |
|-----------------------|----|-------|-----------|
| T (°C) | 12 | 45,0 | 9,8 |
| P (bar) | 12 | 150,0 | 42,6 |
| Rendimiento µmol ET/g | 23 | 304,9 | 313,0 |

ICs de 95% individuales para la media
basados en Desv.Est. agrupada



Desv.Est. agrupada = 222,4

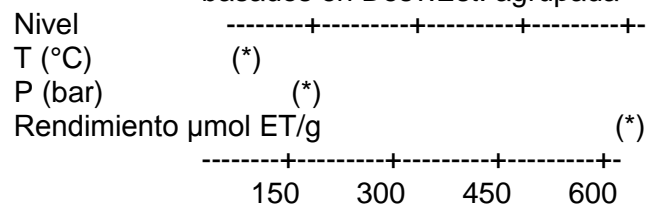
ANOVA unidireccional: Capacidad antioxidante por método DPPH vs. Presión y Temperatura

| Fuente | GL | SC | MC | F | P |
|--------|----|---------|--------|--------|-------|
| Factor | 2 | 1757629 | 878815 | 941,57 | 0,000 |
| Error | 33 | 30801 | 933 | | |
| Total | 35 | 1788430 | | | |

S = 30,55 R-cuad. = 98,28% R-cuad.(ajustado) = 98,17%

| Nivel | N | Media | Desv.Est. |
|-----------------------|----|--------|-----------|
| T (°C) | 12 | 45,00 | 9,77 |
| P (bar) | 12 | 150,00 | 42,64 |
| Rendimiento µmol ET/g | 12 | 557,32 | 29,77 |

ICs de 95% individuales para la media
basados en Desv.Est. agrupada



Desv.Est. agrupada = 30,55